

โครงการที่ 18/2562 (วศบ.อุตสาหการ)



การออกแบบและติดตั้งอุปกรณ์เสริม เพื่อการทดลองการเชื่อม  
แบบแก๊สทั้งสeten อาร์คด้วยแขนกลของเหล็กกล้าไร้สนิมเกรด AISI 316L

นายกัญจน์สิทธิ์	โภศัย	รหัสนักศึกษา 590610254
นายณัฐวัฒน์	อยู่อ่อน	รหัสนักศึกษา 590610276

โครงการนี้เป็นส่วนหนึ่งของการศึกษาตามหลักสูตรปริญญาวิศวกรรมศาสตรบัณฑิต  
ภาควิชาวิศวกรรมอุตสาหการ  
คณะวิศวกรรมศาสตร์ มหาวิทยาลัยเชียงใหม่  
ปีการศึกษา 2562

หัวข้อโครงการ	การออกแบบและติดตั้งอุปกรณ์เสริม เพื่อการทดลองการเชื่อมแบบแก๊ส		
	ทั้งสแตนเลอร์คด้วยแขนกลของเหล็กกล้าไร้สนิมเกรด AISI 316L		
ผู้เขียน	นายกัญจน์สิทธิ์ โภศัย	รหัสนักศึกษา	590610254
	นายณัฐวัฒน์ ออยู่อ่อน	รหัสนักศึกษา	590610276
ภาควิชา	วิศวกรรมอุตสาหการ คณะวิศวกรรมศาสตร์ มหาวิทยาลัยเชียงใหม่		
อาจารย์ที่ปรึกษา	ผศ.ดร.วสวัชร นาคเขียว		
ปีการศึกษา	2562		

---

ภาควิชาวิศวกรรมอุตสาหการ คณะวิศวกรรมศาสตร์ มหาวิทยาลัยเชียงใหม่ อนุมัติให้นับ  
โครงการนี้ เป็นส่วนหนึ่งของการศึกษาตามหลักสูตรปริญญาวิศวกรรมศาสตรบัณฑิต

#### กรรมการสอบโครงการ

..... ประธานกรรมการ

(ผศ.ดร.วสวัชร นาคเขียว)

..... กรรมการ

(ผศ.ดร.วริษยา วิสิทธิพานิช)

..... กรรมการ

(อาจารย์ณรงค์ เพชรชาติ)

## กิตติกรรมประกาศ

โครงการวิจัยนี้สามารถสำเร็จไปได้ด้วยดีโดยได้รับคำปรึกษาจากผศ.ดร.วสวัชร นาคเขียว อาจารย์ที่ปรึกษาโครงการซึ่งเป็นผู้มีความรู้จำแนกแนวทางการศึกษาตลอดจนให้ความกรุณาในการตรวจทานแก่ไขโครงการวิจัยนี้จนทำให้ประสบความสำเร็จอย่างสมบูรณ์ทางผู้ทำโครงการจึงต้องขอขอบพระคุณเป็นอย่างสูงมา ณ โอกาสนี้

นอกจากนี้ต้องขอขอบพระคุณคณาจารย์ในภาควิชาวิศวกรรมอุตสาหการคณะวิศวกรรมศาสตร์มหาวิทยาลัยเชียงใหม่ทุกท่านโดยเฉพาะอย่างยิ่ง อาจารย์ผ่องศรี เพชรชาติ รศ.ดร.วิมลิน เหล่าศิริถาวร และ ผศ.ดร.วิริชา วิสิทธิพานิช ที่ได้ให้ความรู้จากการเรียนแก่ผู้วิจัยและตลอดจนบุคลากรเจ้าหน้าที่ในภาควิชาวิศวกรรมอุตสาหการทุกท่านที่ให้คำแนะนำเสนอแนวทางและให้ความช่วยเหลือในการทำโครงการด้วยดีตลอดมา

ขอขอบพระคุณคุณอดิเรก ใบสุขันธ์ นักศึกษาปริญญาเอกที่เคยช่วยเหลือและให้ความรู้ด้านการออกแบบอุปกรณ์เสริมเพื่อใช้ในการเชื่อมแบบแก๊สทังสเตโนอาร์ค (Gas Tungsten Arc) ตลอดจนให้คำแนะนำแก่ไขซึ่งทำให้โครงการนี้ประสบความสำเร็จสมบูรณ์

ขอขอบพระคุณคุณณัฐรุณิ รินโน พนักงานปฏิบัติงานช่วยสอน โรงประลองภาควิชาวิศวกรรมอุตสาหการที่สละเวลาให้คำแนะนำและให้ยืมอุปกรณ์ที่จำเป็นต่อการวิจัย

ขอขอบพระคุณคุณวินทร ธนาภูวนะ นักศึกษาปริญญาโทที่ค่อยช่วยเหลือและให้ความรู้ด้านการเชื่อมแบบแก๊สทังสเตโนอาร์ค (Gas Tungsten Arc) การติดตั้งระบบการเชื่อม การทำ 3D Printing การออกแบบการทดลอง ตลอดจนให้ความรู้ในเชิงทฤษฎีกับผู้วิจัย

ขอขอบพระคุณบิดามารดาญาติพี่น้องตลอดจนรุ่นพี่รุ่นน้องและเพื่อนๆในภาควิชาวิศวกรรมอุตสาหการทุกท่านที่ได้เป็นกำลังใจและให้การสนับสนุนในด้านการศึกษาและการดำเนินชีวิตตลอดมา

สุดท้ายนี้ทางผู้วิจัยทำหวังเป็นอย่างยิ่งว่าความรู้จากโครงการเล่มนี้จะสามารถเป็นประโยชน์ต่อผู้ที่สนใจด้านการเชื่อมแบบแก๊สทังสเตโนอาร์ค (Gas Tungsten Arc) และผู้ที่ศึกษาเหล็กกล้าเรสินิมเกรด AISI 316L หากมีส่วนใดที่บกพร่องหรือมีความผิดพลาดประการใดทางผู้จัดทำต้องขออภัยเป็นอย่างสูงและขอน้อมรับคำเสนอแนะอันเป็นประโยชน์ทุกประการ

กัญจน์สิทธิ์ โภศัย<sup>๑</sup>  
ณัฐรุณิ อุย่อ่อน<sup>๒</sup>

หัวข้อโครงการ	การออกแบบและติดตั้งอุปกรณ์เสริม เพื่อการทดลองการเชื่อมแบบแก๊สทั้งส텐อาร์คด้วยแขนกลของเหล็กกล้าไร้สนิมเกรด AISI 316L		
ผู้เขียน	นายกัญจน์สิทธิ์ โภศัย	รหัสนักศึกษา	590610254
	นายณัฐวัฒน์ อุยู่อ่อน	รหัสนักศึกษา	590610276
ภาควิชา	วิศวกรรมอุตสาหการ คณะวิศวกรรมศาสตร์ มหาวิทยาลัยเชียงใหม่		
อาจารย์ที่ปรึกษา	ผศ.ดร.วสวัชร นาคเขียว		
ปีการศึกษา	2562		

## บทคัดย่อ

โครงการฉบับนี้มีวัตถุประสงค์เพื่อออกแบบอุปกรณ์เสริมและติดตั้งเข้ากับแขนกลยี่ห้อ KUKA รุ่น KR16 เพื่อให้สามารถทำการเชื่อมแก๊สทั้งส텐อาร์คแบบอัตโนมัติ และการใช้งานแขนกลร่วมกับโปรแกรม KUKA HMI 2.0 เพื่อช่วยในด้านการออกแบบการเคลื่อนไหวของแขนกลสามารถช่วยให้การเชื่อมแก๊สทั้งส텐อาร์คอัตโนมัติมีประสิทธิภาพมากขึ้น เช่น ลดระยะเวลาการทดลอง และลดการเกิดความเสียหายของชิ้นงานเนื่องจากความผิดพลาดของระบบหรือตำแหน่งในการเชื่อม จากการออกแบบและนำไปติดตั้งเข้ากับแขนกล พบร่วมแขนกลสามารถติดตั้งระบบเชื่อมแบบแก๊สทั้งส텐อาร์คได้ โดยอุปกรณ์มีความแข็งแรง สามารถนำไปใช้ในงานเชื่อมแก๊สทั้งส텐อาร์คแบบอัตโนมัติได้เป็นอย่างดี ทั้งนี้ได้มีการออกแบบการทดลองแบบเต็มรูปแบบ (Full Factorial) ของการเชื่อมแก๊สทั้งส텐อาร์คแบบอัตโนมัติบนแผ่นชิ้นงานเหล็กกล้าไร้สนิมเกรด 316L แบบรอยต่อชน (Butt Joint) เพื่อศึกษาปัจจัยที่มีผลต่อความแข็งแรงต่อแรงดึงของรอยเชื่อมซึ่งนำเข้า 3 ปัจจัย คือ อัตราการไหลงแก๊ส กระแสไฟฟ้า และความเร็วในการเชื่อม กำหนดให้แต่ละปัจจัยมี 2 ระดับ คือ ระดับสูงและระดับต่ำ ที่ระดับนัยสำคัญ  $\alpha = 0.05$  พบร่วมปัจจัยที่มีผลอย่างมีนัยสำคัญต่อค่าความแข็งแรงต่อแรงดึง คือ อัตราการไหลงแก๊ส กระแสไฟฟ้า ความเร็วของการเชื่อม อันตรกิริยาของอัตราการไหลงแก๊ส และกระแสไฟฟ้า อันตรกิริยาของอัตราการไหลงแก๊สและความเร็วของการเชื่อม อันตรกิริยาของกระแสไฟฟ้าและความเร็วของการเชื่อม หลังจากการหาค่าความแข็งแรงต่อแรงดึงของรอยเชื่อมที่เกิดจากการเชื่อมแก๊สทั้งส텐อาร์คแบบอัตโนมัติที่เหมาะสมที่สุด พบร่วมกระแสไฟฟ้าคราวใช้ค่า 100 แอมป์ และความเร็วในการเชื่อมคราวใช้ค่า 1.5 มิลลิเมตรต่อวินาที เพื่อให้ได้ค่าความแข็งแรงต่อแรงดึงคือ 417.459 เมกะปาสคัล โดยมีค่าความพึงพอใจ (Desirability) อยู่ที่ 0.945873

Project Title	Accessories Design and Installation for Experiment of Gas Tungsten Arc Welding by Robotic Arm on AISI 316L Stainless Steel	
Name	Mr. Kunsit Kosai	Code 590610254
	Mr. Nattawat Yooaon	Code 590610276
Department	Industrial Engineering, Faculty of Engineering, Chiang Mai University	
Project Advisor	Assistant Professor Wasawat Nakkiew, Ph.D.	
Academic	2019	

---

## ABSTRACT

This project aims to design accessory and attach it to the KUKA KR16 robotic arm to be able to automate gas tungsten arc welding using the KUKA HMI 2.0 program to design the movement of the robotic arm, for example, to shorten the experiment time and reduce the damage of workpieces due to errors in arc length or welding position. After designed and attached the accessory to the robotic arm, found that the robotic arm can be equipped with gas tungsten arc welding system. The accessory is strong, durable and can be used in automatic gas tungsten arc welding. In this regard, a full factorial design of experiment of automatic gas tungsten arc butt joint welding is performed on 316L stainless steel to study factors affecting the tensile strength of welded seams. Including gas flow rate, electric current and welding speed. Specify that each factor has 2 levels which are high level and low level. At the significant level  $\alpha = 0.05$ , found factors that have a significant effect on the tensile strength are gas flow rate, electric current, welding speed, interaction of gas flow rate and electric current, interaction of gas flow rate and welding speed and interaction of electric current and welding speed. After determining of the most suitable tensile strength of the welding. It is found that the electric current should be 100 amperes and the

welding speed should be 1.5 millimeters per second to get the 417.459 MPa of tensile strength with desirability value at 0.945873

# สารบัญ

หน้า

กิตติกรรมประกาศ	ค
บทคัดย่อภาษาไทย	ง
บทคัดยาอภาษาอังกฤษ	จ
สารบัญตาราง	ฉ
สารบัญภาพ	ช
<b>บทที่ 1 บทนำ</b>	
1.1 ความสำคัญ และที่มาของปัญหาที่ทำโครงการ	1
1.2 วัตถุประสงค์	2
1.3 ขอบเขตการศึกษา	2
1.4 ประโยชน์ที่คาดว่าจะได้รับ	3
<b>บทที่ 2 หลักการและทฤษฎีที่เกี่ยวข้อง</b>	
2.1 หลักการและทฤษฎีการเชื่อมโลหะแบบหั้งสเตนเลส	4
2.2 การออกแบบการทดลอง	6
2.3 การทดสอบแรงดึง	8
2.4 การทดสอบแรงดึงแนวเชื่อม	8
2.5 มอก. 2172 เล่ม 1-2556	11
2.6 การออกแบบเครื่องมือ	16
2.7 ชนิดของรอยต่อในงานเชื่อมโลหะ (Type of Joint)	17
2.8 การตรวจสอบรอยเชื่อม	20
2.9 การยศาสตร์	20
2.10 หลักการพื้นฐานของหุ่นยนต์	22
2.11 เหล็กกล้าไร้สนิม	32
2.12 แขนกล KUKA KR16	34
2.13 งานวิจัยที่เกี่ยวข้อง	36

## สารบัญ (ต่อ)

	หน้า
บทที่ 3 ระเบียบวิธีการทำวิจัย	
3.1 วิธีการและขั้นตอนในการทำงานวิจัย	39
3.2 เครื่องมือที่ใช้ในงานวิจัย	40
3.3 ออกแบบอุปกรณ์เสริมสำหรับติดตั้งแขนกล	47
3.4 ทำการสั่งผลิตอุปกรณ์เสริม	50
3.5 ทำการเตรียมอุปกรณ์ที่ใช้ในการเชื่อม	50
3.6 ศึกษาวิธีการควบคุมหุ่นยนต์แขนกลในการทำงานแบบอัตโนมัติ	51
3.7 เตรียมแผ่นเหล็กกล้าไร้สนิมโดยใช้เครื่อง Waterjet	53
3.8 ศึกษาปัจจัยของการเชื่อมที่มีผลต่อความแข็งแรง	54
3.9 การออกแบบการทดลองแบบฟูลแฟคทอเรียล	55
3.10 ทำการเชื่อมแผ่นเหล็กกล้าไร้สนิม	55
3.11 ทำการทดสอบแรงดึง	56
3.12 สรุปผลและจัดทำรายงาน	56
บทที่ 4 ผลการทำวิจัย	
4.1 ผลการออกแบบอุปกรณ์เสริม	57
4.2 ผลการขึ้นรูปชิ้นส่วนตัวอย่างด้วย 3D Printer	58
4.3 ผลการผลิตชิ้นงาน	59
4.4 ประกอบตัวจับยึดชิ้นงานเข้ากับโต๊ะ	60
4.5 เขียนโปรแกรมควบคุมหุ่นยนต์	61
4.6 ผลการเชื่อมชิ้นงานจริง	62
4.7 เตรียมการก่อนการทดสอบแรงดึง	64
4.8 ผลการทดสอบแรงดึง	65
4.9 ผลการออกแบบการทดลองแบบฟูลแฟคทอเรียล	66
4.10 การหาค่าที่เหมาะสมที่สุด	71
บทที่ 5 สรุปผล และข้อเสนอแนะ	
5.1 การสรุปผล	73

## สารบัญ (ต่อ)

	หน้า
บทที่ 5 สรุปผล และข้อเสนอแนะ	
5.2 ปัญหาที่ส่งผลในการดำเนินการวิจัย	74
5.3 ข้อเสนอแนะ	74
บรรณานุกรม	76
ภาคผนวก	
ภาคผนวก ก ขั้นงานที่ขึ้นรูปสำเร็จแล้ว	77
ภาคผนวก ข ขั้นงานที่ผลิตสำเร็จแล้ว	81
ภาคผนวก ค ขั้นทดสอบที่เข้มแล้ว	86
ภาคผนวก ง ขั้นทดสอบที่ลดรูปแล้ว	93
ภาคผนวก จ ผลการทดสอบแรงดึง	100
ประวัติผู้เขียน	117

## สารบัญตาราง

ตาราง	หน้า
2.1 พารามิเตอร์ที่นำมาศึกษา	36
3.1 ส่วนประกอบทางเคมีของสแตนเลส 304 และ 316	48
3.2 ปัจจัย ระดับ ขอบเขต และสัญลักษณ์ ที่ใช้ในการออกแบบการทดลองแบบฟูลแฟคทอเรียล	54
3.3 ตารางการออกแบบการทดลองแบบฟูลแฟคทอเรียล จำนวน 2 ชั้น	55
4.1 ผลทดสอบแรงดึงที่จะได้จากการออกแบบการทดลองแบบฟูลแฟคทอเรียล	65

## สารบัญภาพ

ภาพ	หน้า
2.1 แบบจำลองทัวไปสำหรับกระบวนการหรือระบบ	7
2.2 กราฟแสดงความสัมพันธ์ระหว่างความเค้นกับความเครียดของวัสดุที่ปราภูมิจุดครากตัว	9
2.3 กราฟแสดงความสัมพันธ์ระหว่างความเค้นกับความเครียดของวัสดุที่ไม่ปราภูมิจุดครากตัว	9
2.4 จุดต่าง ๆ บนกราฟแสดงความสัมพันธ์ระหว่างความเค้น-ความเครียดของวัสดุที่ปราภูมิ บนจุดคราก	10
2.5 ส่วนประกอบของเครื่องทดสอบอเนกประสงค์ (Universal Testing Machine)	11
2.6 แบบหลักของชิ้นทดสอบ	12
2.7 การจำแนกชิ้นทดสอบ	13
2.8 การแบ่งการใช้งานของชิ้นงานทดสอบ	13
2.9 มิติของชิ้นงานทดสอบ	14
2.10 ค่าความคลาดเคลื่อนสำคัญระหว่างความกว้างของชิ้นทดสอบ	15
2.11 ตัวอย่างมิติของชิ้นทดสอบ	15
2.12 รอยต่อชน (BUTT JOINT)	17
2.13 รอยต่อมุม (CORNER JOINT)	18
2.14 รอยต่อขอบ (EDGE JOINT)	18
2.15 รอยต่อเกย (LAP JOINT)	19
2.16 รอยต่อรูปตัวที (T-JOINT)	19
2.17 การเข้มแบบยืน	21
2.18 การเข้มแบบนั่ง	22
2.19 ภาพเปรียบเทียบร่างกายของมนุษย์กับแขนกลของหุ่นยนต์อุตสาหกรรม	23
2.20 เครื่อง CNC ที่ทำงานแบบคาร์ทีเซียน	25
2.21 หุ่นยนต์ที่มีพื้นที่การทำงานมีลักษณะเป็นทรงกลม	25
2.22 หุ่นยนต์ที่มีพื้นที่การทำงานเป็นลักษณะทรงกระบอก	26
2.23 หุ่นยนต์ KUKA ที่แกนขานานกัน 2 แกน ควบคุมด้วยพีแอลซี (PLC)	26
2.24 การเคลื่อนแบบเลื่อน	28

## สารบัญภาพ (ต่อ)

ภาพ	หน้า
2.25 การเคลื่อนแบบหมุน	28
2.26 รอยต่อ 1 ลำดับขั้นความเป็นอิสระ	28
2.27 ลำดับขั้นความเป็นอิสระ	28
2.28 การเคลื่อนที่ที่มี 3 ลำดับขั้นความเป็นอิสระ แบบเลื่อน	29
2.29 การเคลื่อนที่ที่มี 3 ลำดับขั้นความเป็นอิสระ แบบหมุน	29
2.30 ก้านต่อแบบต่างๆ	30
2.31 ก้านต่อกลไกของเครื่องยนต์	31
2.32 โซ่กลไกแบบเปิดภาพ	31
2.33 โซ่กลไกแบบปิด	31
2.34 โซ่กลไก 4 ก้านต่อแบบต่างๆ	32
2.35 ข้อมูลทางเทคนิคของ KUKA KR16	35
2.36 ข้อมูลทางเทคนิคของ KUKA KR16 (ต่อ)	35
3.1 วิธีและขั้นตอนในการทำวิจัย	39
3.2 เครื่อง 3D Printer	40
3.3 เครื่องมิลลิ่ง (Milling Machine)	40
3.4 เครื่องกลึง	41
3.5 เวอร์เนียร์คลิปเปอร์	41
3.6 ไขควงแบบต่างๆ	42
3.7 ไม้บรรทัดวัดมม	42
3.8 ไม้วัดระดับน้ำ	43
3.9 แอลกอยอล์	43
3.10 หน้ากากเชื่อม	44
3.11 มอเตอร์หินเจียร	44
3.12 เครื่อง Waterjet	45
3.13 เครื่องเชื่อม	45

## สารบัญภาพ (ต่อ)

ภาพ	หน้า
3.14 หุ่นยนต์ KUKA	46
3.15 เครื่องทดสอบแรงดึง	46
3.16 แบบร่างอุปกรณ์เสริม	47
3.17 3D Print ชิ้นงาน	47
3.18 ข้อมูลทางเทคนิคของ PEEK	49
3.19 เตรียมอุปกรณ์ที่ใช้ในการเชื่อม	50
3.20 Teach Pendant	51
3.21 แผ่นเหล็กกล้าไร้สนิมขนาด 600X800X3 มิลลิเมตร	51
3.22 แผ่นเหล็กกล้าไร้สนิมขนาด 100X150X3 มิลลิเมตร	52
3.23 ตัดแผ่นเหล็กกล้าไร้สนิมด้วยเครื่อง Waterjet	52
3.24 ขนาดของชิ้นงานสำหรับการทดสอบแรงดึง	56
4.1 ผลการออกแบบอุปกรณ์เสริม	57
4.2 แปลงโค้ดโดยโปรแกรม Prusa3D	58
4.3 ขึ้นรูปชิ้นส่วนโดยเครื่อง 3D Printer	58
4.4 ชิ้นส่วนที่ได้จากการขึ้นรูป	59
4.5 ปรับแก้ไขชิ้นส่วนอุปกรณ์เสริม	59
4.6 ประกอบชิ้นส่วนเข้ากับหุ่นยนต์	60
4.7 ประกอบตัวจับยึดชิ้นงาน	60
4.8 โปรแกรมอัตโนมัติ	61
4.9 การเคลื่อนที่ของหัวเชื่อม	62
4.10 ชิ้นงานที่ผ่านการเชื่อมแล้ว	63
4.11 ชิ้นงานที่ผ่านการเชื่อมแล้วทั้งหมด	63
4.12 ชิ้นทดสอบที่ผ่านการลดรูปแล้ว	64
4.13 ชิ้นทดสอบที่ผ่านการลดรูปแล้วทั้งหมด	64

## สารบัญภาพ (ต่อ)

ภาพ	หน้า
4.14 ขั้นทดสอบที่ผ่านการทดสอบแรงดึง	66
4.15 กราฟ Pareto Chart of the Standardized Effects	67
4.16 ผลการวิเคราะห์ Factorial Fit	68
4.17 กราฟ Normal Probability Plot	69
4.18 กราฟ Histogram	69
4.19 กราฟ Versus Fit	70
4.20 กราฟ Versus Order	70
4.21 ผลการวิเคราะห์ค่าที่เหมาะสมที่สุด	71
4.22 ค่าที่เหมาะสมที่สุดของแต่ละปัจจัย	72

## บทที่ 1

### บทนำ

#### 1.1 ความสำคัญ และที่มาของปัญหาที่ทำโครงการ

ปัจจุบันเหล็กกล้าไร้สนิมเป็นวัสดุที่สามารถพับเห็นได้ทั่วไปในรูปแบบของผลิตภัณฑ์และยังสามารถนำประยุกต์ใช้งานได้หลากหลาย เนื่องด้วยเหล็กกล้าไร้สนิมนั้นมีคุณสมบัติเด่นในด้านการต้านทานการกัดกร่อน มีความทนทานต่อการใช้งานอุณหภูมิสูง ง่ายต่อการขึ้นรูปและการนำไปเชื่อม จึงทำให้เหล็กกล้าไร้สนิมเป็นวัสดุที่ได้รับความนิยมในภาคอุตสาหกรรมทั่วไปและต่างประเทศ โดยเหล็กกล้าไร้สนิมเกรด 316L นั้น เป็นเหล็กกล้าไร้สนิมที่มีประสิทธิภาพด้านต้านทานการกัดกร่อนที่ดีเยี่ยม มีความเหนียว (Ductility) ทำให่ง่ายต่อการขึ้นรูปและสามารถทนต่อแรงกระแทกที่อุณหภูมิต่ำ (Toughness) นอกจากนี้ยังได้รับการวิจัยแล้วว่าไม่เป็นอันตรายต่อร่างกายมนุษย์เมื่อนำไปใช้งาน

การเชื่อมเหล็กกล้าไร้สนิมโดยมุขย์นั้นเป็นการเชื่อมที่มีอยู่ทั่วไปและมีความยืดหยุ่นสูง เพราะสามารถทำงานได้หลากหลาย แต่ในบางงานของอุตสาหกรรม หากใช้มุขย์ในการเชื่อมอาจก่อให้เกิดอันตรายต่อตัวผู้เชื่อมเอง เช่น การเชื่อมบนที่สูง หรือในสภาพแวดล้อมที่ไม่เอื้ออำนวย ดังนั้นหากเราสามารถใช้แขนกลแทนตัวมนุษย์ในงานเชื่อมที่ไม่ปลอดภัย เรา ก็จะสามารถลดความเสี่ยงที่จะเกิดอันตรายต่อมนุษย์ได้

โดยภาควิชาวิศวกรรมอุตสาหกรรม คณะวิศวกรรมศาสตร์ มหาวิทยาลัยเชียงใหม่ มีหุ้นยนต์แขนกลที่สามารถประยุกต์ใช้ในการทำงานได้หลากหลาย แต่เนื่องจากตัวหุ้นยนต์ยังขาดแคลน อุปกรณ์เสริมที่จะมาช่วยในส่วนของการเชื่อมแบบอัตโนมัติ จึงยังไม่สามารถนำหุ้นยนต์ตัวนี้นำมาใช้กับงานเชื่อมได้ และหุ้นยนต์ที่ออกแบบมาเพื่อใช้ในงานเชื่อมโดยเฉพาะมีราคาสูงเป็นอย่างมาก การออกแบบและติดตั้งอุปกรณ์เสริมเพื่อให้หุ้นยนต์แขนกลที่มีอยู่สามารถใช้ในการทำงานเชื่อมได้นั้น

จึงเป็นทางเลือกที่ดีสามารถประยัดค่าใช้จ่ายได้เป็นอย่างมากโดยที่ไม่จำเป็นต้องซื้อหุ่นยนต์แขนกลตัวใหม่ และหุ่นยนต์แขนกลยังสามารถใช้งานในด้านอื่นได้อย่างหลากหลายตามเดิมเพียงแค่ถอดอุปกรณ์เสริมออก นอกจากนั้นการเชื่อมแบบอัตโนมัติจะมีความเที่ยงตรง (Accuracy) มากกว่าการเชื่อมด้วยมือที่ทำกันอยู่ทั่วไป เมื่อสามารถออกแบบและติดตั้งอุปกรณ์เสริมให้กับหุ่นยนต์แขนกล เสร็จสิ้น จะสามารถเชื่อมเหล็กกล้าไร้สนิมอุบัติภัยรูปแบบและประสิทธิภาพที่ใกล้เคียงกัน เพื่อนำชิ้นงานที่เชื่อมเสร็จแล้วไปใช้ในการทดสอบความแข็งแรงของรอยเชื่อมโดยการทดลองแบบฟูลแฟคทอร์เรียลต่อไปได้

## 1.2 วัตถุประสงค์

- 1.2.1 เพื่อออกแบบอุปกรณ์เสริมและติดตั้งเข้ากับหุ่นยนต์แขนกลให้สามารถเชื่อมอัตโนมัติได้
- 1.2.2 เพื่อให้แขนกลสามารถเชื่อมชิ้นงานอัตโนมัติได้ตามมาตรฐานการทดสอบความแข็งแรงต่อแรงดึงของรอยเชื่อม (มอก. 2172 เล่ม 1-2556)

## 1.3 ขอบเขตการศึกษา

- 1.3.1 เก็บข้อมูลและทำการทดลองด้วยแขนกล KUKA รุ่น KR16 ณ ภาควิชาวิศวกรรมอุตสาหกรรม คณะวิศวกรรมศาสตร์ มหาวิทยาลัยเชียงใหม่
- 1.3.2 ประยุกต์ใช้เทคนิคการออกแบบการทดลองในการหาปัจจัยที่มีผลต่อประสิทธิภาพของรอยเชื่อมแบบฟูลแฟคทอร์เรียล โดยมี 3 ตัวแปร 2 ระดับ และทำการทดลอง 2 ชุด (รวม 16 การทดลอง)
- 1.3.3 ทำการทดลองด้วยหุ่นยนต์แขนกลที่ติดตั้งอุปกรณ์เสริมสำหรับการเชื่อมแบบ TIG และทำการเชื่อมบนแผ่นเหล็กกล้าไร้สนิมเกรด AISI 316L เท่านั้น
- 1.3.4 อุปกรณ์เสริมประกอบด้วยตัวจับยึดหัวเชื่อมเข้ากับหุ่นยนต์และตัวจับแผ่นชิ้นงานยึดเข้ากับตัวเชื่อม

## 1.4 ประโยชน์ที่คาดว่าจะได้รับ

- 1.4.1 ได้ระบบเชื่อมอัตโนมัติแบบ GTAW (หรือในอีกชื่อหนึ่งว่า TIG)
- 1.4.2 ทราบความแข็งแรงของรอยเชื่อมเหล็กกล้าไร้สนิมเกรด AISI 316L จากการเชื่อมอัตโนมัติด้วยหุนยนต์แขนกล KUKA รุ่น KR16
- 1.4.3 สามารถนำไปขยายผลต่อในการเชื่อมแบบอื่นได้ เช่นการเชื่อมแบบ MIG

## บทที่ 2

### หลักการและทฤษฎีที่เกี่ยวข้อง

#### 2.1 หลักการและทฤษฎีการเชื่อมโลหะแบบทั้งสแตนอาร์ค

การเชื่อมโลหะแบบทั้งสแตนอาร์ค (Gas Tungsten Arc Welding) หรือ การเชื่อมแบบ TIG (Tungsten Inert Gas Arc Welding) เป็นกรรมวิธีเชื่อมโลหะด้วยการอาร์คชนิดหนึ่งที่ใช้แท่งอิเล็กโตรดเป็นทั้งสแตนในการเชื่อม บริเวณบ่อหลอมจะมีแก๊สปกคลุมเพื่อป้องกันบ่อหลอมจากการปนเปื้อนหรือการทำปฏิกิริยากับอากาศรอบข้าง

##### 2.1.1 กรรมวิธีการเชื่อมโลหะแบบทั้งสแตนอาร์ค

ความร้อนที่ทำให้โลหะหลอมละลายนั้นเกิดจากการอาร์คระหว่างทั้งสแตโนิเล็กโตรด (Tungsten Electrode) กับชิ้นงาน ขณะเดียวกันบริเวณที่เกิดการอาร์คจะมีแก๊สเฉี่ยวด้วยกัน (Inert Gas) ปกคลุมรอบบริเวณนั้น เพื่อป้องกันออกซิเจน ใน空気 และความชื้นในอากาศ เข้ามาร่วมกับโลหะที่กำลังหลอมละลาย เรียกว่า การเติมออกซิเจน (Oxidation) จะกระตุ้นความร้อนจากอาร์คหลอมละลายโลหะชิ้นงาน เกิดบ่อหลอมละลาย (Puddle) เมื่อบ่อหลอมละลายเกิดขึ้น ณ บริเวณรอยต่อ จึงทำให้ขอบของชิ้นงานติดกัน แต่เนื่องจากทั้งสแตโนิเล็กโตรดเป็นวัสดุที่ไม่ละลายในการเติมเป็นเนื้อโลหะเชื่อมและไม่สิ้นเปลือง (Non Consumable Electrode) จึงจำเป็นต้องเติมเนื้อโลหะเชื่อม (Filler Metal) ลงในบ่อหลอมละลายด้วย ในกรณีที่เชื่อมโลหะแผ่นบางๆ ไม่จำเป็นต้องเติมลดเชื่อมลงในบ่อหลอมละลายก็ได้ การเชื่อมแบบทั้งสแตโนิลสามารถเชื่อมเหล็กที่มีความหนาตั้งแต่ 0.79 มิลลิเมตร ถึง 4 มิลลิเมตรได้ ได้

##### 2.1.2 เครื่องเชื่อม

เครื่องเชื่อม (Power Source) ควรเป็นเครื่องเชื่อมที่มีการออกแบบเป็นพิเศษ ซึ่งต้องมีระบบความถี่สูง (H.F) และสวิตช์อัตโนมัติ (Solinoil Valve) สำหรับการควบคุมการไหลของแก๊สและน้ำ เพื่อทำให้สมบูรณ์ในการหลอมละลาย

การเชื่อมและมีการระบายน้ำร้อนของหัวเชื่อมรวมอยู่ในเครื่องด้วย โดยทั่วไปเครื่องเชื่อมจะเป็นแบบทรานฟอร์เมอร์ – เรคติไฟร์เออร์ (Transformer - Rectifier) หรือเครื่องแบบเจนเนอเรเตอร์ขับด้วยมอเตอร์หรือเครื่องยนต์รวมไปถึงเครื่องเชื่อมแบบ Inverter ที่สามารถนำมาใช้งานได้สะดวกและมี พงก์ชั้นเพื่อใช้ให้สะดวกมากยิ่งขึ้น ในแบบทรานฟอร์เมอร์เรคติไฟร์เออร์นั้น สามารถเลือกกระแสไฟฟ้าเชื่อมตามลักษณะงานได้คือ กระแสตรงข้าวบ ( DCEN, DC-) และ กระแสตรงข้าวบวก (DCEP, DC+) หรือ กระแสสลับ (AC) สำหรับระบบความถี่สูงช่วยให้การเริ่มต้นในการอาร์คง่ายขึ้น

### 2.1.3 อิเล็กโตรด

อิเล็กโตรดที่ใช้ในการเชื่อมแบบทั้งสเตนลาร์ค ทำจากทั้งสเตนหรือทั้งสเตนผสมกับโลหะอื่นๆ เนื่องจากทั้งสเตนมีจุดหลอมเหลวสูงที่สุดในบรรดาโลหะบริสุทธิ์ คือ 3,422 องศาเซลเซียส ทำให้ตัวอิเล็กโตรดนี้ไม่หลอมละลายไปในระหว่างการเชื่อม แต่มีการสึกกร่อนเกิดขึ้นบ้าง ผิวของอิเล็กโตรดที่ใช้งานมีทั้งแบบที่ได้รับการทำความสะอาดด้วยกระบวนการทางเคมี และแบบที่ลับ เจียร ตัดแต่ง ด้วยวิธีทางกล โดยทั่วไปอิเล็กโตรดมีขนาดเส้นผ่าศูนย์กลางประมาณ 0.5 ถึง 6.4 มิลลิเมตร และมีความยาวอยู่ในช่วง 75 ถึง 610 มิลลิเมตร

### 2.1.4 ระบบกระแสไฟที่ใช้ในการเชื่อม

1. กระแสตรงข้าวบ DCEN. (Direct Current Electrode Negative ) คือ หัวเชื่อมหรือทั้งสเตนอิเล็กโตรดใช้กระแสไฟเชื่อมเป็นข้าวบ และกระแสไฟเชื่อมข้าวบก็เป็นตำแหน่งของชิ้นงาน โดยบรรจุไฟฟ้าลับให้จากหัวเชื่อมหรืออิเล็กโตรดไปสู่ชิ้นงานดังนั้นความร้อนจะเกิดขึ้นที่ชิ้นงานมาก โดยเกิดที่ชิ้นงานประมาณ 70 เปอร์เซ็นต์ และเกิดที่ทั้งสเตนอิเล็กโตรดประมาณ 30 เปอร์เซ็นต์ แนวเชื่อมที่เกิดขึ้นจะมีลักษณะแคบแต่กินลึกมาก

2. กระแสตรงข้าวบวก DCEP. (Direct Current Electrode Positive) คือ หัวเชื่อมหรือทั้งสเตนอิเล็กโตรดใช้กระแสไฟฟ้าเชื่อมเป็นข้าวบ ก และกระแสไฟฟ้าเชื่อมลับเป็นตำแหน่งของชิ้นงานดังนั้นความร้อนจะเกิดขึ้นที่ชิ้นงานมาก โดยเกิดที่ชิ้นงานประมาณ 30 เปอร์เซ็นต์ และเกิดที่ทั้งสเตโนิเล็กโตรดประมาณ 70 เปอร์เซ็นต์ แนวเชื่อมจะมีลักษณะแบบกว้างกินลึกน้อย แต่ทั้งสเตโนิเล็กโตรดที่ใช้กับกระแสไฟเชื่อมแบบนี้ จะมีขนาดใหญ่กว่าทั้งสเตโนิเล็กโตรดที่ใช้กับกระแสไฟฟ้าแบบอื่น

3. กระแสสลับความถี่สูง ACHF. (Alternating Current & High Frequency) เป็นสิ่งจำเป็นในการเชื่อมโลหะที่มืออกไชเดียวบอยู่บริเวณผิวของชิ้นงาน ถ้าพิจารณาคลื่นของกระแสไฟ สลับจะพบว่าในครึ่งวัฏจักรแรกที่ทั้งสเตโนิเล็กโตรดเป็นข้าวบ ก ออกไชเดียวที่ผิวของชิ้นงานบริเวณที่ทำการอาร์คจะถูกขัดออกไปจากบริเวณนั้น ในครึ่งวัฏจักรต่อมาทั้งสเตโนิเล็กโตรดเป็นข้าวบ ขณะที่ทั้งสเตโนิเล็กโตรดจะเย็นลงแต่กลับเกิดความร้อนมากที่ชิ้นงานบริเวณที่เกิดการอาร์ค จึงทำให้เกิดป้องกันกระแสไฟฟ้าไม่ให้ไหลผ่านชิ้นงาน แต่ความเป็นจริงแล้วออกไชเดียวและความชื้นเป็นชนวนกันไม่ให้กระแสผ่านจากเทาทั้งสเตโนิเล็กโตรดไปยังชิ้นงานได้สะดวก เพื่อเป็นการขัดปัญหาเหล่านี้จึงนำระบบความถี่สูง

(High Frequency) มาช่วยกระตุ้นการอาร์คในช่วงแรกที่มีลักษณะเป็น กระแส摆幅 (AC) การทำ เช่นนี้จะทำให้กระแสไฟหลอกจากแท่งทั้งสตีโนอิเล็กโทรดไปสู่ชิ้นงานได้ตลอดเวลาและสม่ำเสมอ

### 2.1.5 แก๊สปกคลุ่ม

ทำหน้าที่ปกคลุมแนวเชื่อมและบ่อหลอมละลายเพื่อไม่ให้อากาศโดยรอบเข้าไปทำปฏิกิริยา ในขณะเชื่อม หากปราศจากแก๊สปกคลุ่มจะทำให้ได้คุณภาพงานเชื่อมที่ต่ำ เช่นทำให้เกิดรอยความไม่ต่อเนื่อง รอยแตก รู ซ่องว่าง หรือทำให้โลหะเชื่อมที่ได้มีความประาะ นอกจากนี้แก๊สปกคลุ่มยังทำหน้าที่แตกตัวเป็นไอออน เป็นสื่อนำพาอิเล็กตรอนและความร้อนจากหัวเชื่อมเข้าสู่ชิ้นงานทำให้เกิด การหลอมขึ้น

- แก๊สอาร์กอน (Argon) เป็นแก๊สเฉียบที่ได้จากการรวมวิธีผลิตออกซิเจน ซึ่งจะมีอยู่ในอากาศประมาณ 0.9 เปอร์เซ็นต์ แก๊สอาร์กอน จะทำให้การเริ่มต้นเชื่อมง่ายให้อาร์คที่เปลวเรียบและ สม่ำเสมอ แก๊สอาร์กอนมีความหนาแน่นมากกว่าบรรยากาศและถังสำหรับเก็บอาร์กอนเหลวจะต้องมี ฉนวนที่ดีสามารถเก็บแก๊สอาร์กอนที่อุณหภูมิต่ำกว่า -184 องศาเซลเซียส การใช้งานกับโลหะทุกชนิด มีความบริสุทธิ์ 99.95 เปอร์เซ็นต์ ดีกว่า แก๊สไฮเดรียม (He) คือ อาร์คเรียบและนิ่งกว่า ซึ่งลึกน้อยกว่า Cleaning Effect ดีกว่า อัตราการไหلن้อยกว่า เริ่มต้นอาร์คดีกว่าและราคาถูกกว่า

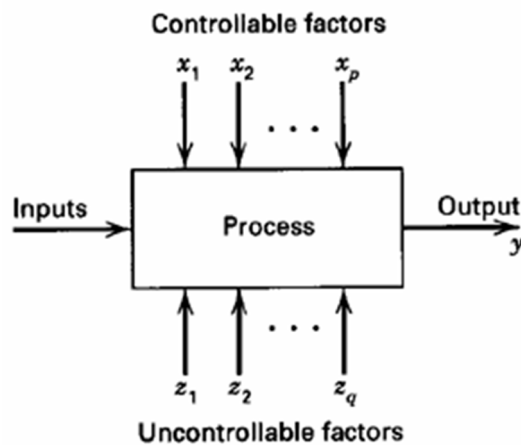
- แก๊สไฮเดรียม (Helium) เป็นแก๊สเฉียบที่ได้จากการรวมวิธีผลิตแก๊สรรคมชาติ Ionization Potential มีคุณสมบัติเป็นตัวนำไฟฟ้าดี ทำให้เปลวอาร์คแผ่ขยายกว้างความเข้มของ ความร้อนสูงกว่า แก๊สอาร์กอน (Ar) ทำให้แนวเชื่อมซึ่งมีลึกได้ดี การใช้แก๊สไฮเดรียมเหมาะสมกับการเชื่อม ด้วยวิธีอัตโนมัติ ที่ให้ความเร็วในการเชื่อมสูง ไม่เกิดรูพรุนและการกัดแห่งแนวเชื่อมรวมทั้งแนวเชื่อม มีบริเวณเขตอิทธิพลของความร้อนจากการเชื่อมแคบ การใช้งานกับโลหะทุกชนิดความบริสุทธิ์ 99.99 เปอร์เซ็นต์ ราคาค่อนข้างแพง

- แก๊สอาร์กอน (Ar) ผสม 15 ถึง 75 เปอร์เซ็นต์ ไฮเดรียม (He) เหมาะกับการเชื่อม แบบทั้งสตีโนอาร์คอัตโนมัติ ไฮเดรียม (He) ช่วยลดรูพรุนและการแตกร้อน เดินแนวเชื่อมได้เร็ว ลดการ บิดงอ อาจทำให้เปลือยแก๊สมากขึ้น เพราะไฮเดรียม (He) loy สุด้านบน ใช้โวลต์ (Volt) ในการจุดอาร์ค สูงกว่าใช้งานกับโลหะทุกชนิด

## 2.2 การออกแบบการทดลอง

การออกแบบการทดลอง คือ การทดสอบเพียงครั้งเดียวหรือต่อเนื่อง โดยทำการเปลี่ยนแปลง ค่าตัวแปรนำเข้า (Input Variables) ในระบบหรือกระบวนการที่สนใจศึกษา เพื่อที่จะทำให้สามารถ สังเกตและชี้ถึงสาเหตุต่าง ๆ ได้ที่ก่อให้เกิดการเปลี่ยนแปลงของผลลัพธ์ที่ได้ (Outputs or Responses) จากกระบวนการหรือระบบนั้น โดยตัวแปรนำเข้าจะถูกจัดแบ่งเป็น 2 กลุ่ม คือกลุ่มที่ควบคุมได้เรียกว่า ตัวแปรที่ควบคุมได้ (Controllable Variables) และกลุ่มที่ไม่สามารถควบคุมได้เรียกว่า ตัวแปรที่

รบกวนระบบ (Uncontrollable or Noise Variables) โดยมีแบบจำลองทั่วไปดังภาพ 2.1 (ประไพ  
ศรี สุทัศน์ ณ อุยธยา, 2551)



ภาพ 2.1 แบบจำลองทั่วไปสำหรับกระบวนการหรือระบบ

ที่มา : ปราเมศ ชุติมา (2545)

หลักการพื้นฐานที่สำคัญ 3 ประการ ที่เกี่ยวข้องกับการออกแบบการทดลอง และเป็นหลักการ เพื่อช่วยให้ผลการทดลองมีความถูกต้อง เที่ยงตรง และแม่นยำมากขึ้นประกอบด้วย

1. การทดลองซ้ำ (Replications) คือการทำการทดลองภายใต้เงื่อนไขเดียวกัน มากกว่า 1 ครั้ง เพื่อยืนยันและเพิ่มความถูกต้องของผลการทดลอง แต่มีข้อเสียคือสิ้นเปลืองทรัพยากร ในการทดลอง การทดลองซ้ำมีคุณสมบัติที่สำคัญ 2 ประการ คือ ประการแรก การทดลองซ้ำทำให้ผู้ทดลองสามารถหา ค่าประมาณของความผิดพลาดในการทดลองได้ ประการที่สอง ถ้าค่าเฉลี่ยถูกนำมาใช้เพื่อประมาณผลที่เกิดจากปัจจัยหนึ่งในการทดลอง ดังนั้นการทดลองซ้ำทำให้ผู้ทดลองสามารถหาตัวประมาณที่ถูกต้องยิ่งขึ้น ในการประมาณผลกระบวนการนี้

2. หลักการสุ่ม (Randomization) หมายถึง การทดลองที่มีวัสดุที่ใช้ในการทดลอง และลำดับของ การทดลองแต่ละครั้งเป็นแบบสุ่ม (Random) วิธีการเชิงสถิติกำหนดว่าข้อมูลจะต้อง เป็นตัวแปรแบบสุ่มที่ มีการกระจายแบบอิสระ หลักการสุ่มจะทำให้สมมติฐานนี้เป็นจริงและทำให้สามารถลดผลของปัจจัย ภายนอกที่อาจมีผลกระทบในการทดลอง

3. การบล็อก (Blocking) เป็นเทคนิคที่ใช้สำหรับเพิ่มความเที่ยงตรง (Precision) ให้แก่การ ทดลอง บล็อกอันหนึ่งอาจจะหมายถึงส่วนหนึ่งของวัสดุที่ใช้ในการทดลองที่ควบคุมมีความ เป็นอันหนึ่งอัน เดียวกันมากกว่าเซ็ตทั้งหมดของวัสดุ การเปรียบเทียบเงื่อนไขที่น่าสนใจต่าง ๆ ภายใน แต่ละบล็อกจะเกิดขึ้นได้จากการทำงานบล็อกกิ้ง

## 2.3 การทดสอบแรงดึง

การทดสอบแรงดึง เป็นการทดสอบคุณสมบัติทางกล เพื่อหาค่าความแข็งแรงของวัสดุ (Strength) โดยใช้การกดขึ้นงานให้มีรูปร่างตามมาตรฐานการทดสอบต่าง ๆ และนำไปทดสอบโดยเครื่องทดสอบแรงดึง ซึ่งปกติแล้วจะดึงด้วยแรงดึงสม่ำเสมอตามข้อกำหนดในแต่ละมาตรฐาน ในหนึ่งทิศทาง (Uni-axial) จนขึ้นงานขาดออกจากกัน ระหว่างการทดสอบเครื่องจะวัดการยืดตัวของขึ้นงานอย่างต่อเนื่อง และทำการสร้างกราฟแสดงความสัมพันธ์ระหว่างแรงกระทำและการยืดตัวในรูปของกราฟความเค้นและความเครียด และคำนวณค่าต่าง ๆ เชิงวิศวกรรม อันได้แก่ ความต้านทานแรงดึงที่จุดคราก, ความต้านทานแรงดึงสูงสุด และค่าเปอร์เซ็นต์ความยืดตัว

ค่าความเค้นเชิงวิศวกรรมคือค่าแรงกระทำหารด้วยค่าพื้นที่หน้าตัดขึ้นงานเริ่มต้น ซึ่งอาจจะมีหน่วยเป็นนิวตันต่อมิลลิเมตรกำลังสอง ( $N/mm^2$ ) เมกะปาสคอล (MPa) กิโลกรัมแรงต่อมิลลิเมตรกำลังสอง ( $kgf/mm^2$ ) ปอนด์ต่อตารางนิวตัน (psi) หรือ กิโลปอนด์ต่อตารางนิวตัน (ksi) ส่วนค่าเปอร์เซ็นต์ความเครียดเชิงวิศวกรรมคือค่าความยาวที่เพิ่มขึ้นของขึ้นงานหารด้วยความยาวเดิม

## 2.4 การทดสอบแรงดึงแนวเชื่อม

การทดสอบแรงดึงแนวเชื่อม เป็นการทดสอบหาค่าความต้านแรงดึง (Tensile Strength) และพลังงานที่รอยต่อเชื่อมสามารถรับภาระได้ โดยการดึงขึ้นทดสอบตามมาตรฐานด้วยแรงคงที่ จนกระแท้ขึ้นทดสอบขาดจากกัน (ชูชาติ ด้วงสงค์, 2550) วัตถุประสงค์ของการทดสอบแรงดึงแนวเชื่อมมีดังนี้

### 2.4.1 การหาสมบัติเชิงกลของแนวเชื่อม

1. ความเค้นแรงดึงสูงสุด (Tensile Stress)
2. ความเค้นจากจุดคราก (Yielded Stress)
3. ขีดจำกัดความยืดหยุ่น (Elastic Limit)
4. ความยืดตัว (Elongation)
5. เปอร์เซ็นต์การลดลงของพื้นที่หน้าตัด (Reduction of Area)

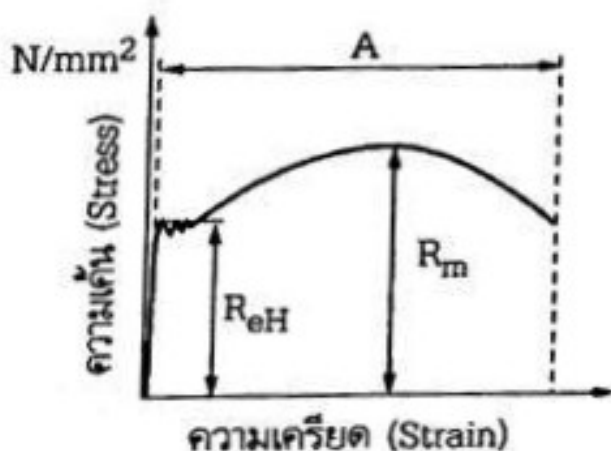
### 2.4.2 การหาประสิทธิภาพของรอยต่อเชื่อม (Joint Efficiency)

แสดงดังสมการ 2.1

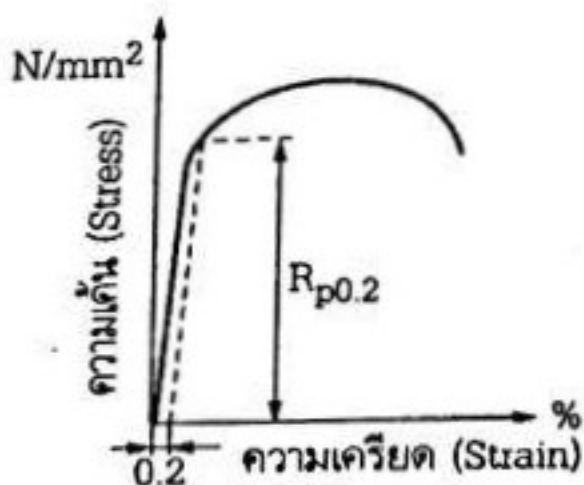
$$\text{ประสิทธิภาพของรอยต่อ} = \frac{\text{ความต้านแรงดึงของรอยต่อ}}{\text{ความต้านแรงดึงของแผ่นโลหะ}} \times 100 \quad (2.1)$$

### 2.4.3 ความสัมพันธ์ระหว่างความเค้นและความเครียด

ความสัมพันธ์ระหว่างความเค้น (Stress) และความเครียด (Strain) จะมีรูปแบบที่แน่นอน โดยขึ้นอยู่กับชนิดของส่วนผสมทางเคมีของโลหะ ดังภาพ 2.2 แสดงความสัมพันธ์ระหว่าง ความเค้น กับความเครียดของแนวเชื่อมวัสดุที่ปราศจากจุด屈服 (Yielded Stress) และภาพ 2.3 แสดงความสัมพันธ์ระหว่างความเค้นกับความเครียดของแนวเชื่อมวัสดุที่ไม่ปราศจากจุด屈服 ครากตัว

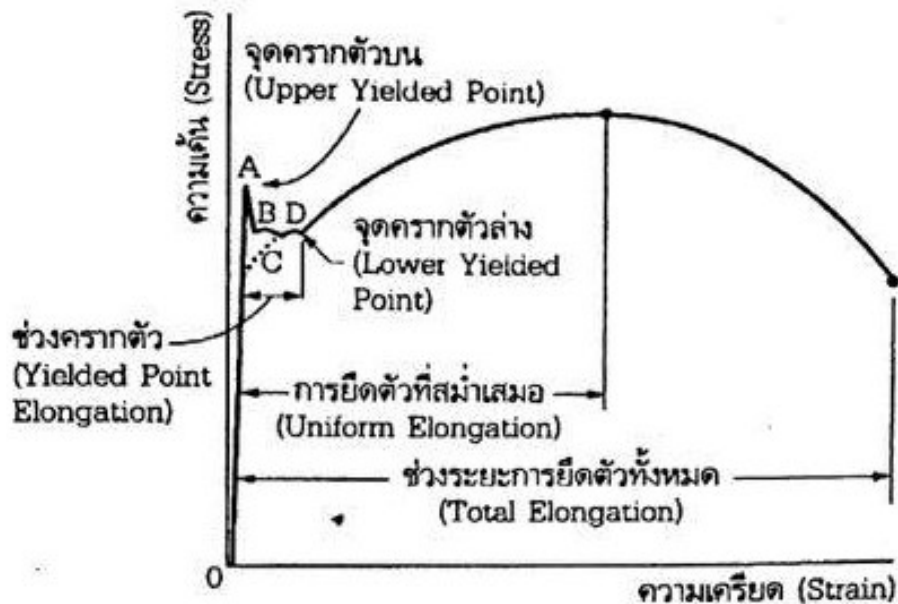


ภาพ 2.2 กราฟแสดงความสัมพันธ์ระหว่างความเค้นกับความเครียดของวัสดุที่ปราศจากจุด屈服  
ที่มา : ชูชาติ ด้วงสงค์ (2550)



ภาพ 2.3 กราฟแสดงความสัมพันธ์ระหว่างความเค้นกับความเครียดของวัสดุที่ไม่ปราศจากจุด屈服  
ที่มา : ชูชาติ ด้วงสงค์ (2550)

ผลการทดสอบวัสดุที่ปรากฏความเค้นจุดครากตัว (Yielded Stress) จะได้กราฟดังภาพ 2.4



ภาพ 2.4 จุดต่าง ๆ บนกราฟแสดงความสัมพันธ์ระหว่างความเค้น-ความเครียดของวัสดุที่ปรากฏ

บันจุดคราก  
ที่มา : ชูชาติ ด้วงสวงศ์ (2550)

#### 2.4.4 ความค้านแรงดึงสูงสุด (Ultimate Tensile Strength)

ถ้าเพิ่มภาระขึ้นทดสอบเบiyจุดคราก ชิ้นงานจะยืดขึ้นเรื่อย ๆ จนขาดที่ภาระสูงสุด ( $R_m$ )  
สามารถคำนวณได้จากสูตร ดังสมการ 2.2

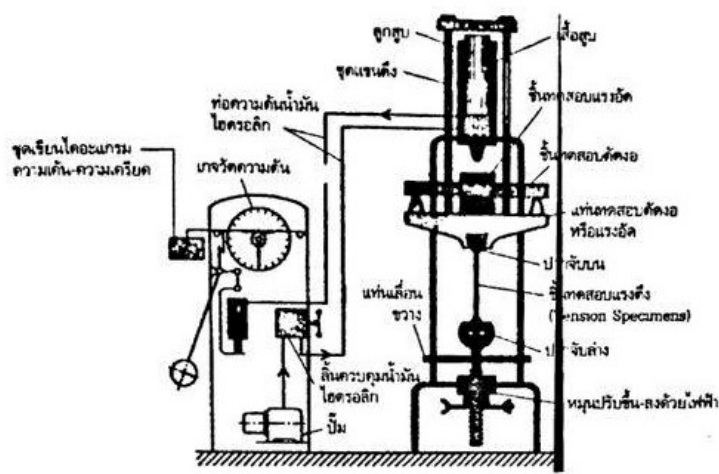
$$\text{ความเค้นแรงดึงสูงสุด} = \frac{\text{แรงที่กระจำที่ระดับ } R_m}{\text{พื้นที่หน้าตัดของชิ้นทดสอบก่อนทดสอบ}} \quad (2.2)$$

2.4.5 การยืดตัว (Elongation) และการลดลงของพื้นที่หน้าตัด (Reduction of Area) ใช้  
บวกสมบัติความอ่อนตัว (Ductility) ของแนวเชื่อมแสดงเป็นเปอร์เซ็นต์ สามารถคำนวณได้จากสูตร  
ดังสมการ 2.3

$$\text{เปอร์เซ็นต์การยืดตัว} = \frac{\text{ความยาวชิ้นทดสอบหลังขาด} - \text{ความยาวชิ้นทดสอบก่อนขาด}}{\text{ความยาวชิ้นทดสอบก่อนขาด}} \times 100 \quad (2.3)$$

#### 2.4.6 เครื่องทดสอบ

ในการทดสอบแรงดึงจะใช้เครื่องทดสอบอเนกประสงค์ (Universal Testing Machine) แสดงดังภาพ 2.5 โดยชิ้นงานจะถูกยึดที่หัวจับชิ้นงาน (Grip) บนและล่าง ส่วนน้ำมันไฮดรอลิกจากปั๊มจะไหลเข้าตามท่อด้านล่าง ดับลูกสูบแท่นหัวจับด้านบนให้ดึงแท่นหัวจับด้านล่าง เพื่อดึงชิ้นทดสอบขาดออกจากกัน ในขณะที่ดึงชิ้นทดสอบนั้น ความดันของน้ำมันไฮดรอลิกในท่อบนจะดันระบบกลไกทางกลของเกจวัดชี้บอกความเค้น (Stress) และดันให้ตัวเขียนเส้นภาพความเค้นแรงดึงและความเครียด (Stress – Strain) ของชิ้นทดสอบจนกว่าที่ชิ้นทดสอบถูกดึงออกจากกัน



ภาพ 2.5 ส่วนประกอบของเครื่องทดสอบอเนกประสงค์ (Universal Testing Machine)

ที่มา : ชูชาติ ด้วงสวงศ์ (2550)

2.5 มอก. 2172 เล่ม 1-2556

มอก. 2172 เล่ม 1-2556 คือ มาตรฐานผลิตภัณฑ์อุตสาหกรรม การทดสอบโลหะโดยการดึงที่อุณหภูมิโดยรอบ มาตรฐานฉบับนี้ กำหนดวิธีการทดสอบโลหะโดยการดึงและกำหนดสมบัติทางกลซึ่งวัดได้ที่อุณหภูมิห้อง มาตรฐานผลิตภัณฑ์อุตสาหกรรมนี้กำหนดขึ้นโดยรับ ISO 6892-1:2009 Metallic materials – Tensile testing – Part 1 : Method of test at room temperature มาใช้ในระดับดัดแปลง (modified)

### 2.5.1 หลักการ

การทดสอบนี้เกี่ยวข้องกับการทำให้ชิ้นทดสอบเกิดความเครียดด้วยแรงดึง โดยทั่วไปจะดึงจนชิ้นทดสอบขาด เพื่อการหาค่าสมบัติทางกลหนึ่งค่าหรือมากกว่า โดยให้ทดสอบที่อุณหภูมิห้องระหว่าง 10 องศาเซลเซียส ถึง 35 องศาเซลเซียส การทดสอบภายในได้สภาวะควบคุมให้ทดสอบที่อุณหภูมิระหว่าง  $23 \pm 5$  องศาเซลเซียส

### 2.5.2 ชิ้นทดสอบ

รูป่างและมิติของชิ้นทดสอบอาจขึ้นอยู่กับรูป่างและมิติของผลิตภัณฑ์โลหะที่ถูกนำมาเป็นชิ้นทดสอบ โดยปกติชิ้นทดสอบจะได้จากการตัดแต่งตัวอย่างจากผลิตภัณฑ์ หรือชิ้นงานตัดขึ้นรูป หรือชิ้นงานหล่อ อาจทดสอบผลิตภัณฑ์ที่มีภาคตัดขวางและชิ้นทดสอบในสภาพหล่อ (ทั้งเหล็กหล่อและโลหะเจื่อนอกกลุ่มเหล็ก) โดยไม่ตัดแต่งก็ได้

ให้หลักเลี้ยงการตัดตรงชิ้นทดสอบเท่าที่จะเป็นไปได้ หากจำเป็นให้กระทำด้วยวิธีการที่อาจส่งผลกระทบต่อสมบัติทางกลของชิ้นทดสอบน้อยที่สุดเท่าที่จะเป็นไปได้

### 2.5.3 ชิ้นทดสอบที่ถูกตัดแต่ง

หากส่วนปลายที่ถูกจับยืดและความยาวส่วนที่ขานมีมิติแตกต่างกัน ชิ้นทดสอบที่ถูกตัดแต่งต้องมีส่วนโค้งเป็นรอยต่อระหว่างสองส่วนนั้น มิติของรัศมีส่วนโค้งรอยต่อนี้มีความสำคัญจึงแนะนำให้กำหนดมิติของรัศมีไว้ในข้อกำหนดดาวัสดุ ส่วนปลายที่ถูกจับยืดอาจมีรูป่างอย่างไรก็ได้ให้เหมาะสมกับชุดหัวจับของเครื่องทดสอบ แกนของชิ้นทดสอบต้องอยู่ในแนวเดียวกับแนวแรร์ที่ให้กับชิ้นทดสอบ

### 2.5.4 ชิ้นส่วนทดสอบที่ไม่ถูกตัดแต่ง

หากชิ้นทดสอบเป็นความยาวของผลิตภัณฑ์ที่ไม่ถูกตัดแต่งหรือเป็นท่อนโลหะที่ไม่ถูกตัดแต่งความยาวอิสระระหว่างชุดหัวจับต้องเพียงพอให้เครื่องหมายพิกัดอยู่ห่างจากหัวจับของเครื่องทดสอบด้วยระยะที่เหมาะสม ชิ้นทดสอบในสภาพหล่อต้องมีส่วนโค้งเป็นรอยต่อระหว่างส่วนปลายที่ถูกจับยืดและความยาวส่วนขานมิติของรัศมีส่วนโค้งรอยต่อนี้จึงมีความสำคัญจึงแนะนำให้กำหนดมิติของรัศมีไว้ในมาตรฐานผลิตภัณฑ์ ส่วนปลายที่ถูกจับยืดจะมีรูป่างอย่างไรก็ได้ให้เหมาะสมกับชุดหัวจับของเครื่องทดสอบ

### 2.5.5 การเตรียมชิ้นทดสอบ

การเก็บและเตรียมชิ้นทดสอบ ต้องเป็นไปตามข้อกำหนดของมาตรฐานที่เกี่ยวข้องสำหรับวัสดุแต่ละประเภท โดยหลักของชิ้นทดสอบตามรูป่างและชนิดของผลิตภัณฑ์ แสดงดังภาพ 2.6 และภาพ 2.7 โดยมาตรฐานผลิตภัณฑ์สามารถกำหนดชิ้นทดสอบแบบอื่นได้

หน่วยเป็นมิลลิเมตร

ประเภทของผลิตภัณฑ์		
แผ่นบาง – แผ่นหนา – เส้นแบน ความหนา	ลาก – หัก – รูประฆماء <sup>*</sup> เส้นผ่านศูนย์กลาง หรือ ความกว้างระหว่างด้านบน	ภาคผนวก
$0.1 \leq a_0 < 3$	-	ๆ
-	$d_0 < 4$	ก
$a_0 \geq 3$	$d_0 \geq 4$	ง
	หัก	ช

ภาพ 2.6 แบบหลักของชิ้นทดสอบ

ที่มา : มาตรฐาน 2172 เล่ม 1-2556

ลักษณะชิ้นทดสอบ	ชิ้นทดสอบ รูปร่างแบบ	ชิ้นทดสอบ รูปร่างท่อน	ชิ้นทดสอบ รูปร่างท่อ	ชิ้นทดสอบ รูปร่างแคน	ชิ้นทดสอบ รูปร่างคลาด
ชิ้นทดสอบที่ได้สัดส่วน	No. 14B	No. 2, No. 14A	No. 14C	No. 14B	
ชิ้นทดสอบที่ไม่ได้สัดส่วน	No. 1A, No. 1B, No. 5, No. 13A, No. 13B	No. 4, No. 10, No. 8A, No. 8B, No. 8C, No. 8D	No. 11	No. 12A, No. 12B, No. 12C	No. 9A, No. 9B

## ภาพ 2.7 การจำแนกชิ้นทดสอบ

ที่มา : มอก. 2172 เล่ม 1-2556

การเลือกชิ้นทดสอบที่จะใช้งานต้องเป็นไปตามข้อกำหนดของมาตรฐานผลิตภัณฑ์ที่เกี่ยวข้องอย่างไร้กังวลควรอ้างอิงการแบ่งการใช้งาน ดังภาพ 2.8

ผลิตภัณฑ์		ชิ้นทดสอบ		หมายเหตุ	ภาคผนวกที่ สอดคล้อง
ประเภท	นิยม	ที่ได้สัดส่วน	ที่ไม่ได้สัดส่วน		
แผ่นบาง แผ่นหนา รูปพรรณ แผ่นม้วน	ความหนาห้องยกว่าหรือเท่ากับ 3 mm	-	No. 5, No. 13A, No. 13B	ชิ้นทดสอบรูปร่างแบบ	ภาคผนวก ๖
	ความหนามากกว่า 3 mm ถึง 6 mm	No. 14B	No. 1A, No. 5		ภาคผนวก ๔
	ความหนามากกว่า 6 mm ถึง 20 mm				
	ความหนามากกว่า 20 mm ถึง 40 mm	No. 14A No. 14B	No. 4, No. 10 No. 1A		ชิ้นทดสอบรูปร่างท่อน
	ความหนามากกว่า 40 mm	No. 14A No. 14B	No. 4, No. 10 -		ชิ้นทดสอบรูปร่างแบบ
	ความหนามากกว่า 170 mm				
ตัวค	-	-	No. 9A, No. 9B	-	ภาคผนวก ๕
ท่อน	-	No. 2, No. 14A	No. 4, No. 10	-	ภาคผนวก ๔
ท่อ	เส้นผ่าศูนย์กลางภายในออกเฉียง	No. 14C	No. 11	ชิ้นทดสอบรูปร่างท่อ	ภาคผนวก ๗
	เส้นผ่าศูนย์กลางภายในออกน้อยกว่าหรือเท่ากับ 50 mm	No. 14B	No. 12A	ชิ้นทดสอบรูปร่างแคน	
	เส้นผ่าศูนย์กลางภายในออกมากกว่า 50 mm ถึง 170 mm		No. 12B		
	เส้นผ่าศูนย์กลางภายในออกมากกว่า 170 mm		No. 12C		
	เส้นผ่าศูนย์กลางท่อตั้งแต่ 200 mm ขึ้นไป	No. 14B	No. 5	ชิ้นงานทดสอบรูปร่างแบบหรือรูปร่างแคน	
หล่อ	ท่อผ่านหนา	No. 14A	No. 4	ชิ้นทดสอบรูปร่างท่อน	
	-	No. 14A	No. 4, No. 10	-	
	-		No. 8A, No. 8B, No. 8C, No. 8D	ใช้เมื่อไม่ต้องการหาค่าความซีด หรือแยกจากชิ้นตัวอย่างที่หล่อขึ้นเพื่อกำชับทดสอบ	
ทุบชิ้นรูป	-	No. 14A	No. 4, No. 10	-	-

## ภาพ 2.8 การแบ่งการใช้งานของชิ้นงานทดสอบ

ที่มา : มอก. 2172 เล่ม 1-2556

### 2.5.6 รูปร่างของชิ้นทดสอบ

โดยทั่วไปความหนาของชิ้นทดสอบต้องเท่ากับความหนาเดิมของผลิตภัณฑ์ และส่วนปลายที่ถูกจับยึดของชิ้นทดสอบจะมีความกว้างมากกว่าความยาวส่วนขนาดความยาวส่วนขนาด ( $L_c$ ) ต้องต่อ กับส่วนปลายด้วยป่าชิ้นทดสอบ (Transition curves) ที่มีรัศมีอย่างน้อย 20 มิลลิเมตร แต่ไม่เกิน 30 มิลลิเมตร ความกว้างของส่วนปลายนี้ค่ามีค่าอย่างน้อย 1.2 เท่าของความกว้างเดิม ( $b_o$ ) โดยข้อตกลง ชิ้นทดสอบอาจจะเป็นชิ้นทดสอบแบบด้านข้างขนาดกันก็ได้และสำหรับผลิตภัณฑ์ที่มีความกว้างไม่เกิน 20 mm ความกว้างของชิ้นทดสอบอาจจะเท่ากับความกว้างของผลิตภัณฑ์

### 2.5.7 มิติของชิ้นทดสอบ

มิติของชิ้นทดสอบชิ้นทดสอบที่ไม่ได้สัดส่วนที่นิยมใช้ทั่วไปมี 3 แบบดังภาพ 2.9 ความยาว ส่วนขนาด ( $L_c$ ) ต้องไม่น้อยกว่าความยาวพิกัดเดิมบวกกับความกว้างเดิมหารด้วย 2 ( $L_o + b_o / 2$ ) ยกเว้นชิ้นทดสอบหมายเลข 5 ในภาพ 2.9 หากมีข้อโต้แย้งควรใช้ความยาวเท่ากับความยาวพิกัดเดิม บวกกับ 2 เท่าของความกว้าง ( $L_o + 2 b_o$ ) เว้นแต่มีวัสดุไม่เพียงพอสำหรับชิ้นทดสอบแบบด้านข้าง ขนาดกันที่มีความกว้างน้อยกว่า 20 มิลลิเมตร หากมิได้ระบุไว้เป็นอย่างอื่นในมาตรฐานผลิตภัณฑ์ ความยาวพิกัดเดิมต้องเท่ากับ 50 มิลลิเมตร สำหรับชิ้นทดสอบแบบด้านข้างขนาดกันความยาวอิสระ ระหว่างชุดหัวจับต้องมีค่ามากกว่าหรือเท่ากับความยาวพิกัดเดิมบวกกับ 3 เท่าของความกว้าง ( $L_o + 3 b_o$ )

หน่วยเป็นมิลลิเมตร

ชิ้นทดสอบ	ความกว้าง $b_o$	ความยาว พิกัดเดิม $L_o$	รัศมีบ่าชิ้นทดสอบ $R$	ความยาวส่วนขนาด $L_c$ ท่าสุด แนะนำ	ความยาวอิสระระหว่าง ชุดหัวจับ สำหรับชิ้นทดสอบแบบด้านข้าง ขนาดกัน, ท่าสุด	ชิ้นทดสอบ
No.13B	$12.5 \pm 0.5^{(b)}$	50	$20 - 30^{(b)}$	57	75	87.5
No.13A	$20 \pm 0.7^{(b)}$	80		90	120	140
No.5	$25 \pm 0.7^{(b)}$	50 <sup>(b)</sup>		60 <sup>(b)</sup>	-	ไม่กำหนด

<sup>(b)</sup> อัตราส่วน  $L_o/b_o$  และ  $L_c/b_o$  ของชิ้นทดสอบหมายเลข 5 มีค่าต่ำมากเมื่อเปรียบเทียบกับชิ้นทดสอบหมายเลข 13B และ 13A ดังนั้นผลทดสอบโดยเฉลี่ยความเสียดหักจากหาด (ค่าสมมูลนี้และช่วงการกระจาย) ที่วัดได้จากชิ้นทดสอบแบบนี้ จะมีค่าแตกต่างจากที่วัดได้จากแบบอื่น

<sup>(c)</sup> ช่วงของความกว้างที่ยอมได้ของชิ้นทดสอบแต่ละแบบ (ต้องเครื่องชิ้นทดสอบในช่วงของความคลาดเคลื่อนนี้) ISO 6892-1 กำหนดค่านี้เท่ากับ 1 mm

<sup>(d)</sup> ISO 6892-1 กำหนดค่ารัศมีบ่าชิ้นทดสอบอย่างน้อย 20 mm ไม่ได้กำหนดค่าสูงสุดไว้

### ภาพ 2.9 มิติของชิ้นงานทดสอบ

ที่มา : มอง. 2172 เล่ม 1-2556

เมื่อทำการวัดมิติของชิ้นทดสอบแต่ละชิ้นความคลาดเคลื่อนของรูปร่าง (ความแตกต่างระหว่างความกว้างสูงสุดกับความกว้างน้อยสุดที่วัดได้จากความยาวส่วนบน) ให้เป็นไปตามที่กำหนดไว้ แสดงดังภาพ 2.10 สำหรับชิ้นทดสอบที่มีความกว้างเท่ากับความกว้างของผลิตภัณฑ์พื้นที่ภาคตัดขวางเดิม  $S_0$  ต้องคำนวณจากมิติของชิ้นทดสอบที่วัดได้ โดยตัวอย่างมิติของชิ้นทดสอบ แสดงดังภาพ 2.11

หน่วยเป็นมิลลิเมตร

ความกว้างระบุของชิ้นทดสอบ	ความคลาดเคลื่อนของการตัดแต่ง <sup>(ii)</sup>	ความคลาดเคลื่อนของรูปร่าง <sup>(iii)</sup>
12.5	$\pm 0.02$	0.06
20	$\pm 0.02$	0.10
25	$\pm 0.04$	0.10

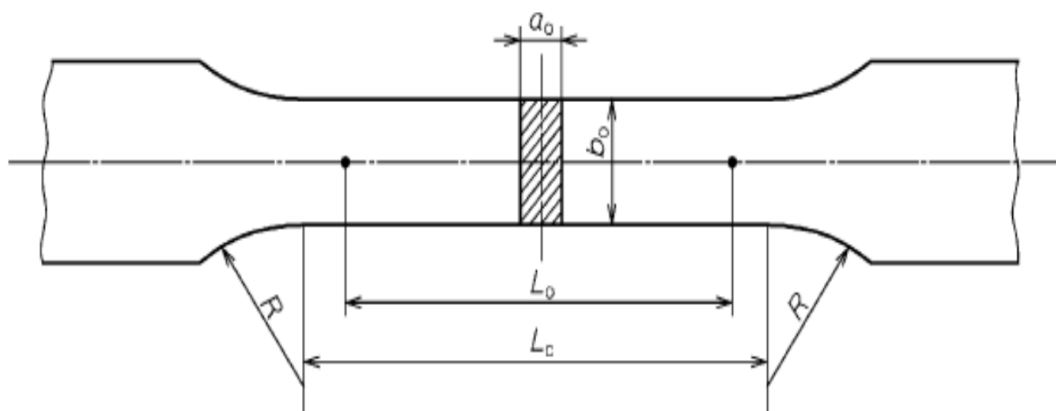
<sup>(ii)</sup> หากจะใช้ค่าระบุในการคำนวณพื้นที่ภาคตัดขวางเดิม  $S_0$  โดยไม่ต้องทำการวัด ความคลาดเคลื่อนของการตัดแต่งต้องมีนไปตามเกณฑ์ที่กำหนดไว้

<sup>(iii)</sup> ค่าเบี่ยงเบนสูงสุดของการวัดความกว้างตลอดความยาวส่วนบน  $L_c$  ของชิ้นทดสอบ

หมายเหตุ ISO 6892-1 กำหนดความคลาดเคลื่อนของการตัดแต่งเท่ากับ  $\pm 0.05, \pm 0.10, \pm 0.10$  และความคลาดเคลื่อนของรูปร่างเท่ากับ 0.06, 0.12, 0.12 ตามลำดับของความกว้างระบุ

ภาพ 2.10 ค่าความคลาดเคลื่อนสำคัญรับความกว้างของชิ้นทดสอบ

ที่มา : มอก. 2172 เล่ม 1-2556



ภาพ 2.11 ตัวอย่างมิติของชิ้นทดสอบ

ที่มา : มอก. 2172 เล่ม 1-2556

## 2.6 การออกแบบเครื่องมือ

การออกแบบเครื่องมือเป็นการออกแบบเพื่อสร้างและปรับปรุงเครื่องมือที่มีอยู่ให้มีประสิทธิภาพ กระบวนการของการออกแบบและปรับปรุงเครื่องมือที่มีอยู่แล้ว ที่เกี่ยวข้องกับเครื่องจักรในอุตสาหกรรม จำเป็นต้องใช้เทคนิคและวิธีการหลายๆ อย่าง เพื่อเพิ่มประสิทธิภาพของการทำงานในโรงงานอุตสาหกรรม และเพิ่มผลผลิตให้สูงขึ้น ลดการสูญเสียในกระบวนการ

### 2.6.1 จุดประสงค์ของการออกแบบเครื่องมือมีลักษณะดังนี้

1. ハウวิธีการทำงานของเครื่องมือให้เป็นแบบธรรมชาติมีประสิทธิภาพสูง
2. ทางานลดค่าใช้จ่ายในการผลิต
3. ออกแบบเครื่องมือให้มีคุณภาพสูง
4. ทางานเพิ่มอัตราการผลิตของเครื่องจักร
5. ออกแบบเครื่องมือให้มีตัวกันโน่
6. ใช้วัสดุที่มีอายุการใช้งานเหมาะสม
7. ออกแบบเพื่อให้เกิดความปลอดภัยแก่ผู้ใช้

### 2.6.2 การวางแผนการออกแบบเครื่องมือ มีวิธีการดำเนินการดังนี้

1. แบบชิ้นส่วนที่จะผลิต ต้องวิเคราะห์เกี่ยวกับ
  - 1.1 รูปร่างขนาดชิ้นงาน
  - 1.2 ชนิดวัสดุชิ้นงาน
  - 1.3 วิธีการทำงานเครื่องมือและเครื่องจักร
  - 1.4 ความต้องการในเรื่องความถูกต้อง
  - 1.5 ปริมาณชิ้นงานที่จะผลิต
  - 1.6 ผิวน้ำชิ้นงานที่จะใช้เป็นตำแหน่งยึดจับ
2. การวางแผนการผลิตจะต้องดำเนินถึง
  - 2.1 รายละเอียดและชนิดของเครื่องมือตัด
  - 2.2 รายละเอียดและชนิดของเครื่องมือจักร
  - 2.3 จัดเรียงลำดับขั้นตอนการผลิตก่อนหลัง
  - 2.4 ข้อมูลชิ้นงานที่ถูกกระทำมาก่อนหน้านั้น

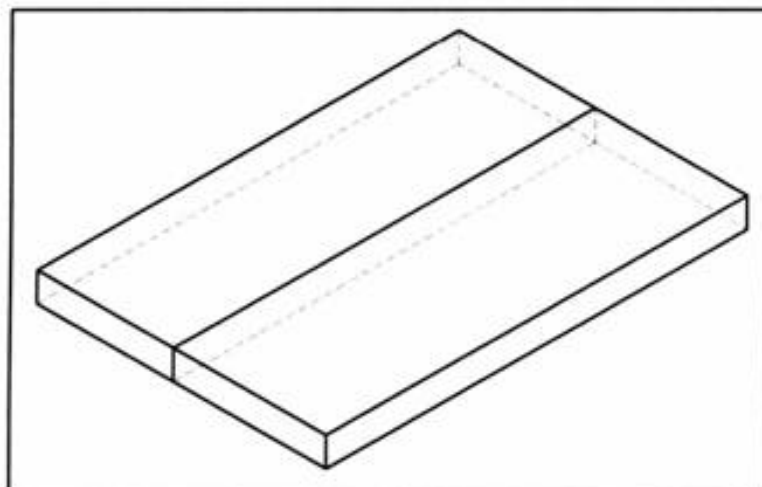
### 3. การเลือกเครื่องมือต้องพิจารณาถึง

- 3.1 จะใช้เครื่องมือพิเศษหรือเครื่องมือที่มีอยู่แล้ว
- 3.2 ใช้เครื่องมือที่มีจุดประสงค์เฉพาะอย่างหรือหลายอย่าง
- 3.3 จะใช้เครื่องจักรแบบหมุนแกนเดียวหรือหลายแกน
- 3.4 จะใช้เครื่องตรวจสอบอะไร
- 3.5 ค่าใช้จ่ายประหยัดหรือไม่

## 2.7 ชนิดของรอยต่อในงานเชื่อมโลหะ (Type of Joint)

รอยต่อ คือ การประสานหรือทำการต่อชิ้นงานสองชิ้น หรือมากกว่านั้น ซึ่งอาจจะกระทำได้โดยการยึดด้วยสกรู นัต การบัดกรี หรือการเชื่อมก็ตาม ชนิดของรอยต่อในงานเชื่อมโลหะ จะมีอยู่ 5 ลักษณะ ดังต่อไปนี้

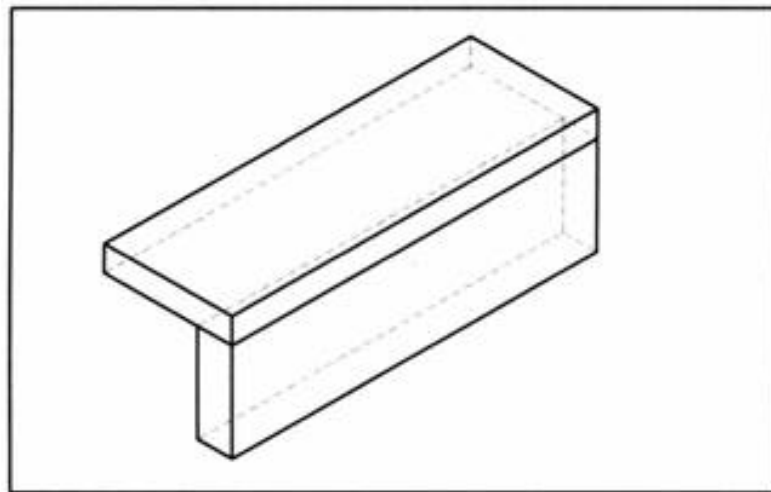
2.7.1 รอยต่อชน (BUTT JOINT) คือการนำชิ้นงานสองชิ้นมาชนกันโดยให้ขอบของชิ้นงานทั้งสองอยู่ในระดับเดียวกัน แสดงดังภาพ 2.12



ภาพ 2.12 รอยต่อชน (BUTT JOINT)

ที่มา : PCAT (2557)

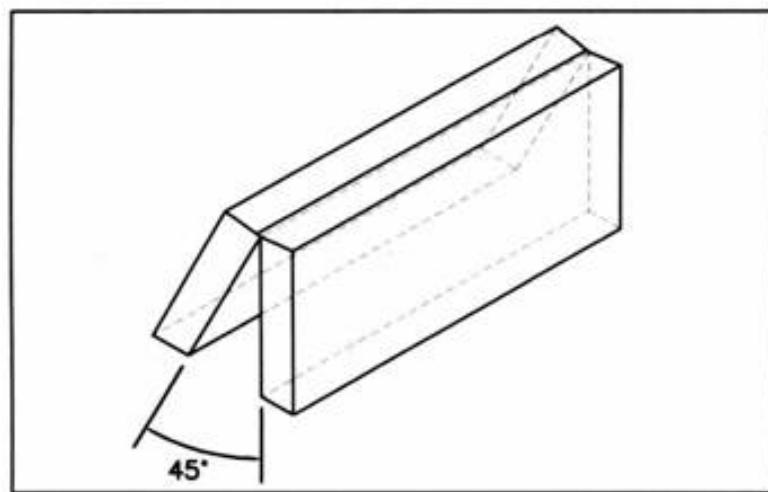
2.7.2 รอยต่อมุม (CORNER JOINT) คือการนำขอบของชิ้นงานทั้งสอง ชิ้นมาชน และจะอยู่ในบริเวณปลายสุดของชิ้นงานเกิดเป็นมุมตั้งฉาก 90 องศา หรืออาจจะมากน้อยกว่า 90 องศา มีอยู่หลายลักษณะขึ้นอยู่กับการออกแบบ แสดงดังภาพ 2.13



ภาพ 2.13 รอยต่อมุม (CORNER JOINT)

ที่มา : PCAT (2557)

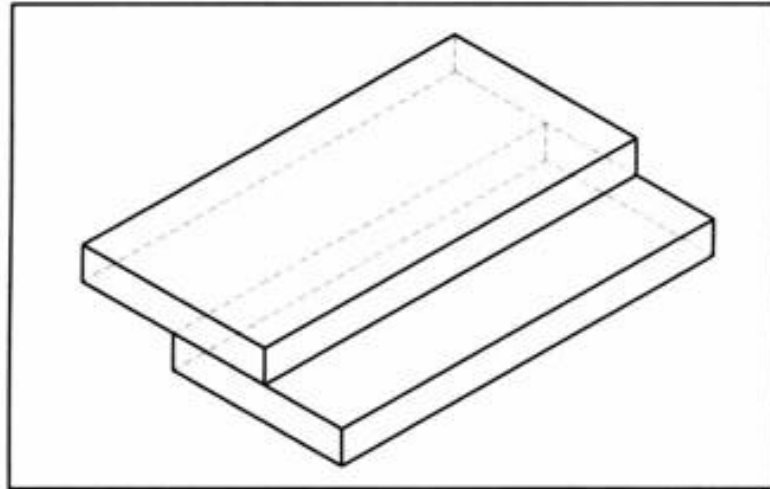
2.7.3 รอยต่อขอบ (EDGE JOINT) คือการนำขอบของชิ้นงานสองชิ้นมาชนในลักษณะให้ผิวงานทั้งสองชิ้นทับแนบชิดกันขอบของงานทั้งสองจะซิดและขนาดกันไปตลอดแนว เมื่อจะเชื่อม จะต้องเชื่อมที่ผิวน้ำของขอบชิ้นงาน แสดงดังภาพ 2.14



ภาพ 2.14 รอยต่อขอบ (EDGE JOINT)

ที่มา : PCAT (2557)

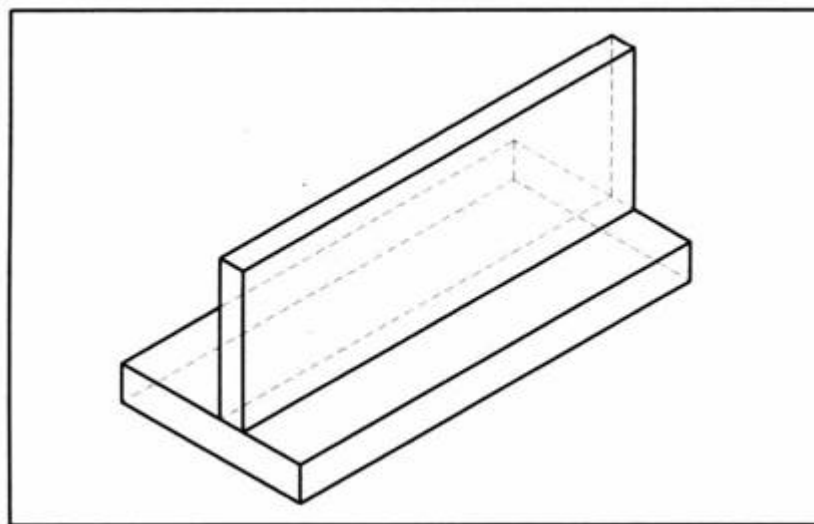
2.7.4 รอยต่อก耶 (LAP JOINT) คือการนำชิ้นงานสองชิ้นมาวางในลักษณะซ้อนกัน แนวเชื่อมที่เกิดขึ้นจะรับแรงเฉือนใช้กับการเชื่อมด้วยความต้านทาน เช่น เชื่อมจุดหรือใช้รอยเชื่อมอุด แสดงดังภาพ 2.15



ภาพ 2.15 รอยต่อเกย (LAP JOINT)

ที่มา : PCAT (2557)

2.7.5 รอยต่อรูปตัวที (T-JOINT) คือ การนำขอบของชิ้นงานชิ้นหนึ่งวาง ตั้งลงบนผิวชิ้นงานอีกชิ้นหนึ่งให้มีลักษณะเป็นรูปตัวอักษร T จะบางงานหรือไม่มีข้ออยู่กับความหนาของชิ้นงาน รอยต่อรูปตัวทีจัดเป็นรอยเชื่อมแบบ พิลเลต (Fillet Weld) และดังตัวภาพ 2.16



ภาพ 2.16 รอยต่อรูปตัวที (T-JOINT)

ที่มา : PCAT (2557)

## 2.8 การตรวจสอบรอยเชื่อม

มาตรฐานการตรวจสอบรอยเชื่อมโครงเหล็กปูพรมด้วยวิธีตรวจพินิจ (Standard Method for Weldment Examination in Steel Structure with Visual Method) (กรมโยธาธิการและผังเมือง, 2551)

2.8.1 มาตรฐานวิธีการตรวจสอบนี้ใช้สำหรับการตรวจสอบรอยเชื่อมโลหะแบบหลอมละลายของส่วนประกอบงานโครงสร้างเหล็กทั้งในโรงงานและภายนอกโรงงาน ได้แก่ รอยเชื่อมของรอยต่อชิ้นงาน เช่น ต่อชน ต่อเกย รอยเชื่อมฟิลเลท เป็นต้น รอยเชื่อมของชิ้นส่วนที่เป็นแผ่นและท่อของโครงสร้างเหล็ก

2.8.2 วัตถุประสงค์ของการตรวจสอบนี้ใช้สำหรับตรวจสอบหารอยบกพร่องที่ผิดด้านหน้าและด้านหลังของรอยเชื่อมที่อยู่ในบริเวณรอยเชื่อมและส่วนที่ได้รับผลกระทบจากความร้อน (heat affected zone) ซึ่งมีผลต่อความแข็งแรงของโครงสร้างที่ได้รับภาระสถิต (static structure) และพลวัต (dynamic structure) ทั้งความไม่ต่อเนื่องของรอยเชื่อมที่เกิดขึ้นในระหว่างการเชื่อม รอยบกพร่องที่เกิดขึ้นจากการรับภาระระหว่างการใช้งาน และการทดสอบเมื่อคร่าวระ

2.8.3 มาตรฐานนี้ระบุเกณฑ์ที่ใช้ในการตัดสินการยอมรับหรือไม่ยอมรับรอยบกพร่องของรอยเชื่อมไว้เป็นบรรทัดฐานในการประเมินรอยเชื่อม ข้อกำหนดในกระบวนการทดสอบด้วยวิธีตรวจพินิจ สำหรับรอยเชื่อมในงานโครงสร้างเหล็ก

2.8.4 มาตรฐานนี้จะใช้ภายใต้เงื่อนไขดังต่อไปนี้

1. เหล็กโครงสร้างที่ระบุค่าหน่วยแรงดึง拉开ขึ้นตាំไม่เกินกว่า 690 เมกะปาสคาล ( $7,036 \text{ kg/cm}^2$ )
2. เหล็กโครงสร้างต้องมีความหนาไม่น้อยกว่า 3 มิลลิเมตร
3. มาตรฐานนี้ใช้หน่วย SI (International System Units) เป็นหลักและมีหน่วย เมตริกกำกับในวงเล็บต่อท้าย โดยการแปลงหน่วยของแรง 1 กิโลกรัม เท่ากับ 9.806 นิวตัน

## 2.9 การยศาสตร์

การยศาสตร์ หมายถึง การศึกษาทางวิทยาศาสตร์ที่เกี่ยวกับความสัมพันธ์ระหว่างคนกับสภาพแวดล้อมในการทำงาน หากพิจารณาแล้ว วัตถุประสงค์ของการศึกษาทางการยศาสตร์นิยามอยู่ในความหมายของคำสองคำ คือ ประสิทธิภาพ และ ความปลอดภัย นั่นหมายความว่า ความรู้ในส่วน

ต่างๆ ไม่ว่าจะเป็นความรู้ที่เกี่ยวข้องกับคน เครื่องมือ เครื่องจักร วิธีการทำงาน ลักษณะงาน และสภาพแวดล้อม ที่ได้มาในชั้นตอนของการศึกษาทางการยศาสตร์จะถูกใช้เพื่อเพิ่มประสิทธิภาพและความปลอดภัย

#### 2.9.1 ความสำคัญของการยศาสตร์

การนำความรู้ทางด้านการยศาสตร์มาประยุกต์ใช้ในการทำงานนำไปสู่ความปลอดภัยในการทำงาน ซึ่งก่อให้เกิดประโยชน์ต่อองค์การและผู้ปฏิบัติงานดังนี้ลดความผิดพลาดในการปฏิบัติงาน ลดความเมื่อยล้าในการบาดเจ็บจากการทำงานลดอุบัติเหตุจากการทำงานลดค่าใช้จ่ายในการฝึกอบรมเกิดขวัญ กำลังใจ ความพึงพอใจในการทำงานเพิ่มมากขึ้นเกิดการเพิ่มผลผลิตทั้งในเชิงปริมาณและคุณภาพ

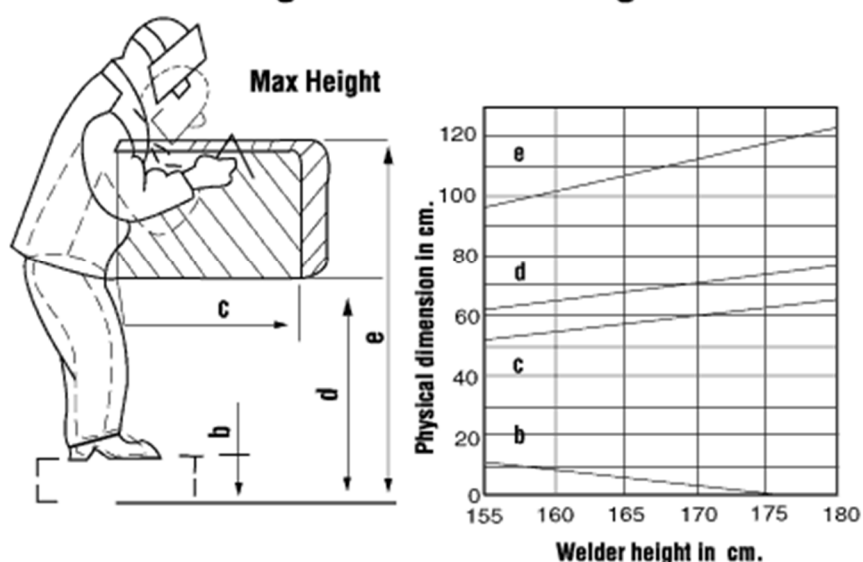
#### 2.9.2 ปัจจัยเสี่ยงด้านการยศาสตร์ที่เกี่ยวข้องกับการเชื่อม

1. การยกของหนัก (ระบบอกรสูบ สายแก๊สต่างๆ)
2. ท่าทางของร่างกายที่ไม่เป็นธรรมชาติ (แขนยื่นมือไป ตำแหน่งที่ผิดแปลงของคอและศีรษะ, คุกเข่า)
3. การวางตำแหน่งร่างกายแบบคงที่ (ระยะเวลาของงาน ความแม่นยำ)
4. แรงต่อเนื่อง (แรงในการประคองหัวเชื่อม)

#### 2.9.3 ตัวอย่างที่ดีของโต๊ะเชื่อม

1. ตัวอย่างที่ดีของการเชื่อมแบบยืน แสดงดังภาพ 2.17

### Standing Workbench Design

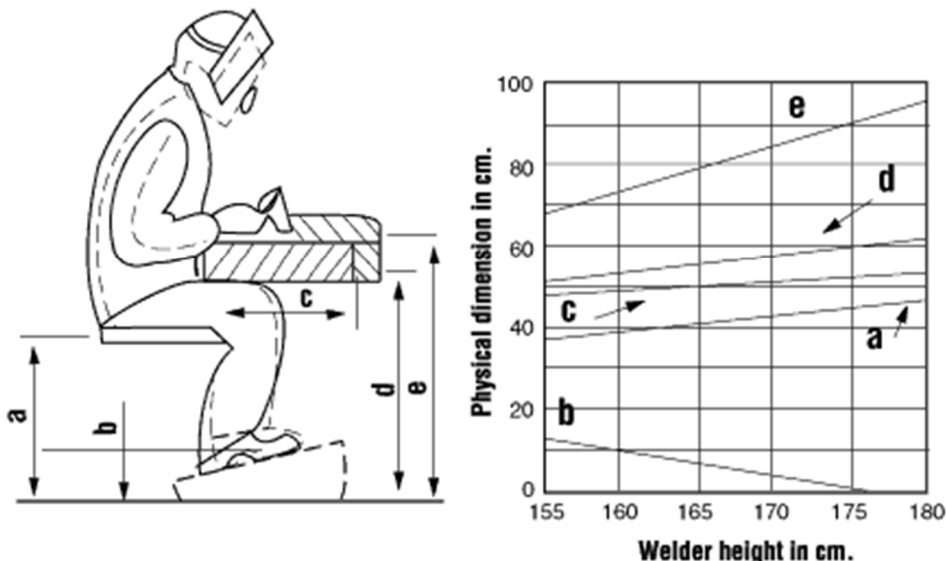


ภาพ 2.17 การเชื่อมแบบยืน

ที่มา : Golavatjuk et.al., Lisboa (1980)

2. ตัวอย่างที่ดีของการเชื่อมแบบนั่ง แสดงดังภาพ 2.18

## Seated Workbench Designs



ภาพ 2.18 การเชื่อมแบบนั่ง

ที่มา : Golavatjuk et.al., Lisboa (1980)

### 2.10 หลักการพื้นฐานของหุ่นยนต์

หุ่นยนต์ (Robot) คือ เครื่องจักรกลชนิดหนึ่งที่ทำงานด้วยการควบคุมแบบอัตโนมัติ ที่มีลักษณะโครงสร้างและการทำงานคล้ายหรือเสมือนกับมนุษย์ และสามารถทำงานที่ซ้ำๆ และซับซ้อนได้ รวมทั้งงานที่มีความยากลำบากที่มนุษย์ไม่สามารถทำได้ เช่น งานสำรวจในพื้นที่บริเวณคับแคบ งานสำรวจใต้ท้องทะเลลึก หรืองานสำรวจดาวเคราะห์ที่ไม่มีสิ่งมีชีวิต หุ่นยนต์เป็นศาสตร์ทางวิศวกรรมที่รวมเอาวิศวกรรมเครื่องกล วิศวกรรมไฟฟ้า วิศวกรรมอิเล็กทรอนิกส์ วิศวกรรมคอมพิวเตอร์ และวิศวกรรมซอฟต์แวร์เข้าด้วยกันเพื่อสร้างหุ่นยนต์ขึ้น

2.10.1 กฎของหุ่นยนต์ ตั้งขึ้นโดย ไอแซค อชิมอฟ เพื่อใช้กับหุ่นยนต์ในนิยายวิทยาศาสตร์ของเข้า โดยกฎเหล่านี้ไม่ได้เกี่ยวข้องโดยตรงกับหุ่นยนต์ในชีวิตจริงแต่อย่างใดได้แก่

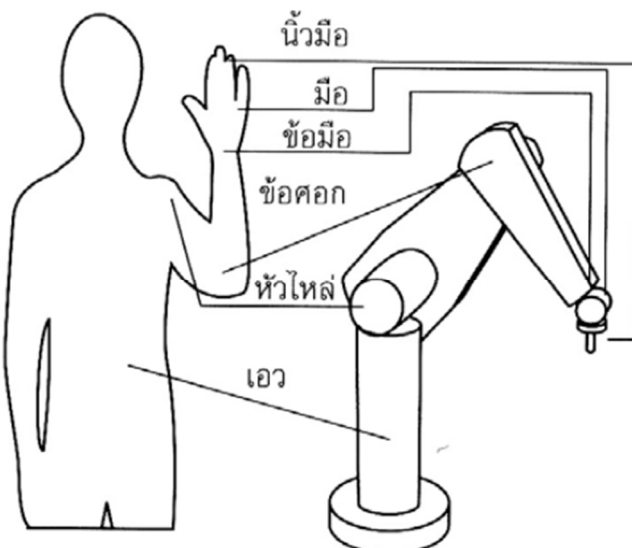
1. หุ่นยนต์จะต้องไม่ทำร้ายต่อมนุษย์ หรืออยู่นิ่งเฉยปล่อยให้มนุษย์ตกอยู่ในอันตราย
2. หุ่นยนต์ต้องเข้าใจคำสั่งที่ได้รับจากมนุษย์ ยกเว้นคำสั่งที่ขัดแย้งกับกฎข้อแรก
3. หุ่นยนต์จะต้องปกป้องการดำรงคงอยู่ของตัวตนไว้ตราบท่าที่การปกป้องนั้นมีได้ ขัดแย้งต่อกฎข้อแรกหรือกฎข้อที่สอง

## 2.10.2 ชนิดของหุ่นยนต์

หุ่นยนต์สามารถแบ่งแยกได้หลักหลาตรูปแบบตามลักษณะเฉพาะของการใช้งาน ได้แก่ การแบ่งแยกตามการใช้งาน การแบ่งแยกตามการเคลื่อนที่ การแบ่งแยกตามการควบคุมการเคลื่อนที่ และ การแบ่งแยกตามลักษณะภายนอกของแขนกล

### 2.10.2.1 การแบ่งแยกตามการใช้งาน ได้แก่

1. หุ่นยนต์อุตสาหกรรม เป็นหุ่นยนต์ที่มีโครงสร้างคล้ายกับร่างกายของมนุษย์คือ มีเอว ข้อศอก แขน และข้อมือ คำว่า แขนกล หมายถึงแขนของหุ่นยนต์อุตสาหกรรม การออกแบบหุ่นยนต์อุตสาหกรรมเป็นการประยุกต์รวมเอาวิศวกรรมในหลายสาขาที่แตกต่างกัน ได้แก่ วิศวกรรมเครื่องกลและวิศวกรรมอุตสาหกรรมมาออกแบบสร้างหุ่นยนต์ให้มีโครงสร้างกลไกเชื่อมโยงต่อกัน เลือกใช้วัสดุที่มีความแข็งแรง ทนทาน และวิศวกรรมไฟฟ้าเพื่อเลือกใช้ชนิดของมอเตอร์และการจ่ายพลังงานไฟฟ้าให้กับมอเตอร์ และวิศวกรรมอิเล็กทรอนิกส์หรือพีแอลซี และหุ่นยนต์ เพื่อควบคุมการเคลื่อนที่ของหุ่นยนต์ แสดงดังภาพ 2.19



ภาพ 2.19 ภาพเปรียบเทียบร่างกายของมนุษย์กับแขนกลของหุ่นยนต์อุตสาหกรรม

ที่มา : มุติตา สงวนจันทร์ (2558)

หุ่นยนต์ส่วนใหญ่ที่ใช้ในงานอุตสาหกรรมจะเป็นหุ่นยนต์ที่ติดตั้งอยู่กับที่ ไม่สามารถเคลื่อนที่ได้ (Fixed Robot) เคลื่อนที่ไปมาได้เฉพาะแขนกล เชน หุ่นยนต์ที่ใช้ในการหยັບຈັບ และวางแผนงานการเชื่อมและการพ่นสี หุ่นยนต์ประเภทนี้จะมีลักษณะโครงสร้างที่ใหญ่โตและมีน้ำหนักมาก ใช้พลังงานจากแหล่งจ่ายภายนอก และจะมีการเขียนโปรแกรมกำหนดขอบเขตการเคลื่อนที่ของแขนกล ให้แขนกลของหุ่นยนต์สามารถเคลื่อนที่ไปมาได้ตามโปรแกรมที่กำหนดเอาไว้

## 2. หุ่นยนต์ที่ไม่ใช้ในงานอุตสาหกรรม ได้แก่

### 2.1 หุ่นยนต์ทางการศึกษา

2.2 หุ่นยนต์ที่ใช้ทางการแพทย์ เพราะหุ่นยนต์จะติดตั้งอยู่กับที่สามารถเคลื่อนไหวไปมาเฉพาะแขนกลที่ใช้ในการผ่าตัด

2.3 หุ่นยนต์ที่ใช้ในพื้นที่อันตราย เช่น สนามกีฬาเบด คันหาะเปิด หรือบริเวณที่มีสารเคมีอันตราย

#### 2.10.2.2 การแบ่งแยกตามการเคลื่อนที่ ได้แก่

1. หุ่นยนต์ที่ไม่มีการเคลื่อนที่ (Fixed Robot) คือหุ่นยนต์ที่ใช้ในงานอุตสาหกรรมโดยหุ่นยนต์จะถูกติดตั้งอยู่กับที่ ไม่สามารถเคลื่อนที่ได้ เคลื่อนที่ไปมาได้เฉพาะแขนกล เช่น หุ่นยนต์ที่ใช้ในการหยิบจับและวางชิ้นงาน การเชื่อม การพ่นสี หุ่นยนต์ประเภทนี้จะมีลักษณะโครงสร้างที่ใหญ่โตและมีน้ำหนักมาก ใช้พลังงานจากแหล่งจ่ายภายนอก และจะมีการเขียนโปรแกรมกำหนดขอบเขตการเคลื่อนที่ของแขนกล ให้แขนกลของหุ่นยนต์สามารถเคลื่อนที่ไปตามโปรแกรมที่กำหนดเอาไว้

2. หุ่นยนต์ที่สามารถเคลื่อนที่ได้ (Mobile Robot) คือหุ่นยนต์ที่สามารถเคลื่อนที่จากตำแหน่งหนึ่งไปยังอีกตำแหน่งหนึ่ง หรือเคลื่อนที่ไปตามสถานที่ต่างๆตามโปรแกรมที่เขียนป้อนให้กับหุ่นยนต์ โดยหุ่นยนต์จะมีการออกแบบให้มีขนาดและรูปร่างต่างๆ ตามประโยชน์ใช้สอย เช่น หุ่นยนต์คุ้มกัน หุ่นยนต์สำรวจดวงจันทร์ และหุ่นยนต์สำรวจใต้พิภพ โดยหุ่นยนต์จะถูกออกแบบให้มีระบบการเคลื่อนที่ไปตามพื้น อาจจะใช้ล้อตันตระขารหรือขาซึ่งอาจเป็น 2 ขา 4 ขา 6 ขา หรือมากกว่า 6 ขา และมีแหล่งจ่ายพลังงานและพลังงานสำรองอยู่ภายนอกหุ่นยนต์ ซึ่งจะมีขนาดเล็กและน้ำหนักเบาเพื่อไม่ให้เป็นอุปสรรคต่อการเคลื่อนที่หรือการทำงานของหุ่นยนต์ แตกต่างจากหุ่นยนต์ที่ไม่มีการเคลื่อนที่ ซึ่งจะมีแหล่งจ่ายพลังงานอยู่ภายนอก

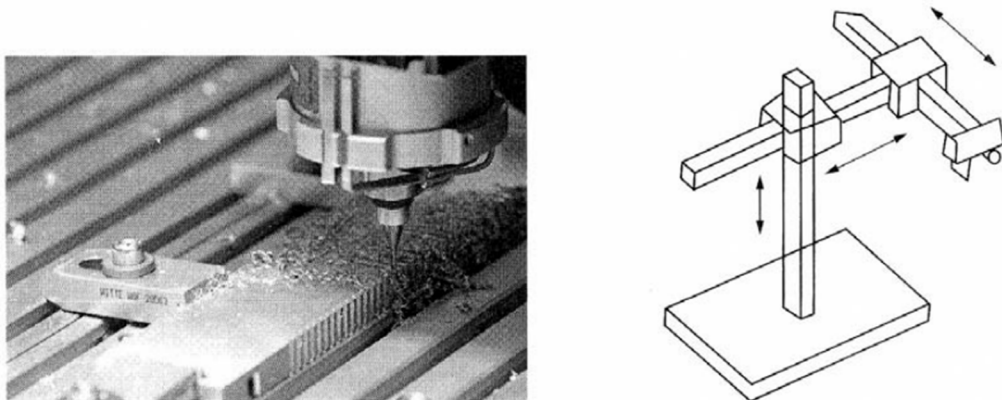
#### 2.10.2.3 การแบ่งแยกตามการควบคุมการเคลื่อนที่ (Motion Control) ได้แก่

1. ชนิดไม่ใช้การควบคุมแบบเซอร์โว เป็นวิธีการควบคุมตำแหน่งทางกลเมื่อ มีการเคลื่อนที่แล้วต้องการให้หยุดการเคลื่อนที่ จะไม่สามารถกำหนดตำแหน่งได้

2. ชนิดการควบคุมแบบเซอร์โว การควบคุมแบบนี้จะมีความยืดหยุ่นในการทำงานมากขึ้นและมีความแม่นยำในการกำหนดตำแหน่งโดยใช้ระบบการควบคุมแบบป้อนกลับ ซึ่งระบบจะมีการนำค่าตำแหน่งจริงจากเซนเซอร์มาเปรียบเทียบกับค่าความผิดพลาดในการเคลื่อนที่ตลอดเวลา

#### 2.10.2.4 การแบ่งแยกตามลักษณะภายนอกของแขนกล (Arm Configuration) ได้แก่

1. คาร์ทีเซียนหรือแกนทริโรบอท (Cartesian or Gantry Robot) เป็นหุ่นยนต์ที่มีพื้นที่การทำงานในลักษณะลูกบาศก์มีการเคลื่อนที่อยู่ 3 แกน คือ แกน X แกน Y แกน Z rotary ต่อเป็นแบบเลื่อน (Prismatic) ดังนั้นจะง่ายต่อการโปรแกรม มีความละเอียดแม่นยำในการทำงานสูง ใช้ในงานheavy และงานซีนงาน ประกอบชิ้นงาน เครื่องซีเอ็นซี (CNC) และงานเชื่อม ดังแสดง ในภาพ 2.20

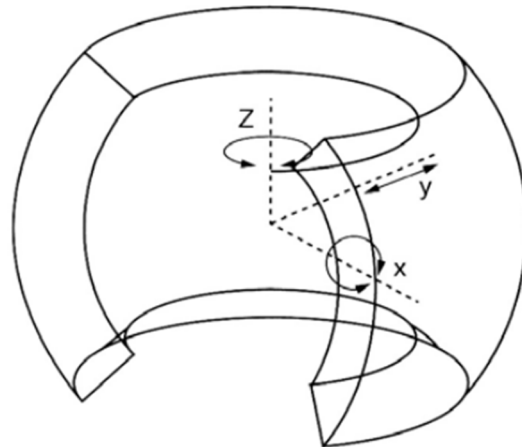


ภาพ 2.20 เครื่อง CNC ที่ทำงานแบบคาร์ทีเซียน

ที่มา : มุติตา สงวนจันทร์ (2558)

#### 2. หุ่นยนต์ทรงกลมหรือหุ่นยนต์เชิงข้า (Spherical Robot or Polar Robot)

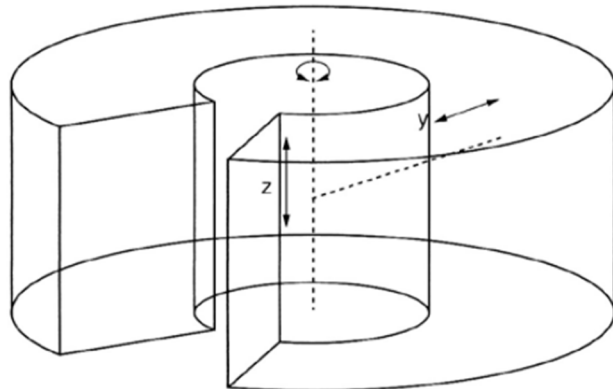
เป็นหุ่นยนต์ที่มี rotary ต่อ 2 rotary ต่อเป็นแบบหมุน (Revolute) และ 1 rotary ต่อเป็นแบบเลื่อน ด้วยแกนหมุน 2 แกนและแกนเลื่อน 1 แกน ทำให้แขนของหุ่นยนต์มีพื้นที่การทำงานมีลักษณะเป็นทรงกลม นิยมใช้ในงานจับยกหรือเคลื่อนย้ายสิ่งของ งานเชื่อมไฟฟ้า และเชื่อมแก๊ส ดังแสดงในภาพ 2.21



ภาพ 2.21 หุ่นยนต์ที่มีพื้นที่การทำงานมีลักษณะเป็นทรงกลม

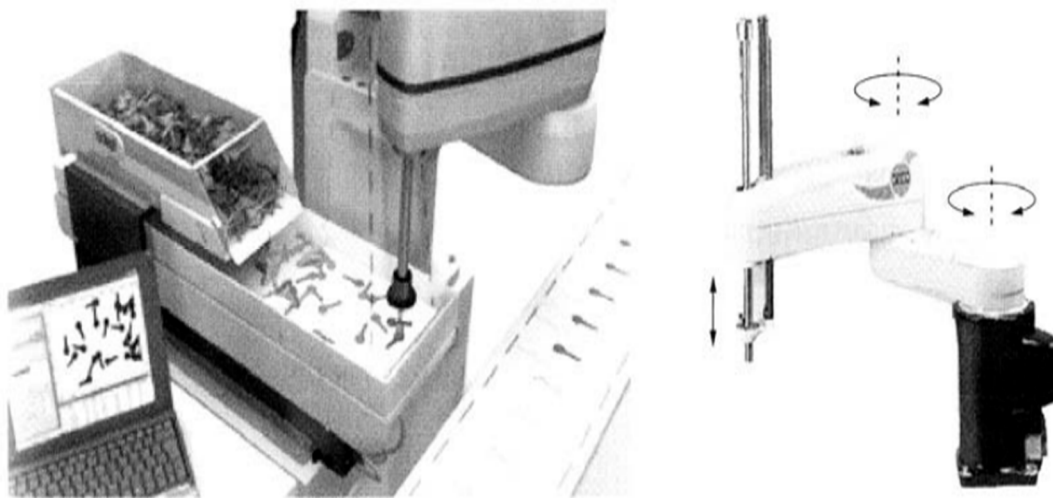
ที่มา : มุติตา สงวนจันทร์ (2558)

3. หุ่นยนต์ทรงกระบอก (Cylindrical Robot) เป็นหุ่นยนต์ที่มีรอยต่อ 2 รอยต่อเป็นแบบเลื่อน และ 1 รอยต่อเป็นแบบหมุน ทำให้มีพื้นที่การทำงานในลักษณะเป็นทรงกระบอก นิยมใช้ในงานประกอบชิ้นส่วนและงานเชื่อมจุด ดังแสดงใน ภาพ 2.22



ภาพ 2.22 หุ่นยนต์ที่มีพื้นที่การทำงานเป็นลักษณะทรงกระบอก  
ที่มา : มุฑิตา สงวนจันทร์ (2558)

4. หุ่นยนต์สカラ (Scara Robots) เป็นหุ่นยนต์ที่มีแขนกลที่แกนหมุนขนานกัน 2 แกน ใช้ในงานหยิบจับและวางวัตถุ งานประกอบชิ้นส่วน และงานเครื่องมืออิเล็กทรอนิกส์ ดังแสดงใน ภาพ 2.23



ภาพ 2.23 หุ่นยนต์ KUKA ที่แกนขนานกัน 2 แกน ควบคุมด้วยพีเออลซี (PLC)  
ที่มา : มุฑิตา สงวนจันทร์ (2558)

5. หุ่นยนต์ข้อต่อแขน (Joint Arm Robots) เป็นหุ่นยนต์ที่ประกอบด้วย รอยต่อหมุน การทำงานของจุดต่อต่างๆ จะคล้ายกับการทำงานของมนุษย์ โดยจุดต่อต่างๆ ได้แก่ เอว ไหล่ ข้อศอก และข้อมือ สามารถเคลื่อนที่ขึ้นลงและไปทางด้านข้างของตัวเองได้ เช่น หุ่นยนต์พูม่า560 (Puma560) นิยมใช้ในโรงงานอุตสาหกรรม เพราะมีความแข็งแรงและมีความยืดหยุ่นในการทำงาน แต่จะมีค่าใช้จ่ายในการผลิตสูง อีกทั้งยังมีระบบการควบคุมที่ซับซ้อน

6. หุ่นยนต์งู (Spine Robot or Snake Robot) เป็นหุ่นยนต์ที่มีการเคลื่อนที่ไปมาคล้ายงู มีความซับซ้อนในการควบคุมพิเศษตำแหน่ง เหมาะสมอย่างยิ่งกับการทำงานในพื้นที่ที่ยากต่อการเข้าถึง เช่น การค้นหาสิ่งมีชีวิตในพื้นที่คับแคบ หรืองานสำรวจในพื้นที่คับแคบ หรือเป็นเครื่องมือในการผ่าตัด

7. หุ่นยนต์แบบคู่ขานหรือหุ่นยนต์สามเหลี่ยม (Parallel Robot or Delta Robot) หุ่นยนต์แบบคู่ขานจะเป็นโซ่กลไกแบบปิด ประดับยฐานที่เป็นแผ่นและประกอบด้วยแผ่นส่วนปลายสุด (End Effector) ทางด้านบน โดยวิธีติดตั้งขาต่อที่ยูนิเวอร์แซล (Universal Joint) ซึ่งก้านต่อจะรับรู้เพียงการกดอัծหรือการยืดตัว ไม่เกิดการโค้งงอ ทำให้เพิ่มความแม่นยำในการทำงาน และโครงสร้างมีน้ำหนักเบา หุ่นยนต์สามเหลี่ยมนิยมใช้กับการบรรจุภัณฑ์โรงงาน ทางการแพทย์ และยา ที่สามารถทำงานได้ค่อนข้างเร็ว บางงานมีความรวดเร็วได้ถึง 300 ครั้งต่อนาที

2.10.2.5 การแบ่งแยกตามส่วนปลายสุด (End Effector) ส่วนปลายสุดคืออุปกรณ์พิเศษที่ติดตั้งอยู่ที่ข้อมือของหุ่นยนต์ เพื่อให้หุ่นยนต์สามารถทำงานพิเศษเฉพาะได้อย่างสมบูรณ์ และจะมีการติดตั้งอุปกรณ์ที่เหมาะสมสำหรับงานต่างๆ อยู่ 2 ชนิด ได้แก่เครื่องมือ ซึ่งอาจจะเป็นไขควง ประแจ หัวเชื่อมอาร์ก หัวพ่นสี ใบตัด ดอกเจาะ และกริปเปอร์ (Gripper) เพื่องานหยับจับชิ้นงานจากที่หนึ่งและวางไว้อีกที่หนึ่ง ซึ่งอาจจะเป็นมือจับทางกล มือจับแบบสูญญากาศและมือจับแบบแม่เหล็ก

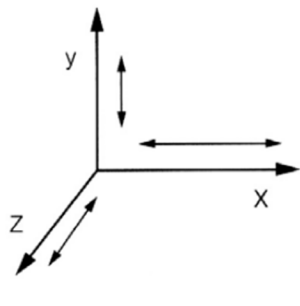
2.10.2.6 การแบ่งแยกตามรูปร่างภายนอก หุ่นยนต์สามารถจำแนกตามลักษณะรูปลักษณ์ภายนอก และมีชื่อเรียกเฉพาะต่างๆ ได้แก่

1. หุ่นยนต์มนุษย์ (Humanoid Robot) เป็นหุ่นยนต์ที่มีลักษณะเหมือนกับมนุษย์คือ มีลำตัว หัว ใบหน้า ตา ปาก สองแขน สองขา หุ่นยนต์มนุษย์บางรูปแบบอาจจะมีเฉพาะเอวขึ้นไป และหุ่นยนต์แอนดรอยด์ (Android) คือหุ่นยนต์มนุษย์ที่คล้ายมนุษย์เพศชาย และจีโนไซด์ (Gynoid) คือหุ่นยนต์มนุษย์ที่คล้ายมนุษย์เพศหญิง

2. แอ็คทรอยด์ (Actroid) เป็นหุ่นยนต์ที่เลียนแบบพฤติกรรมมนุษย์ เช่น กะพริบตา หายใจ เริ่มพัฒนาโดยมหawiทัยาลัยโอชา ก้า และบริษัทโคโคระ ประเทศไทยปั่น

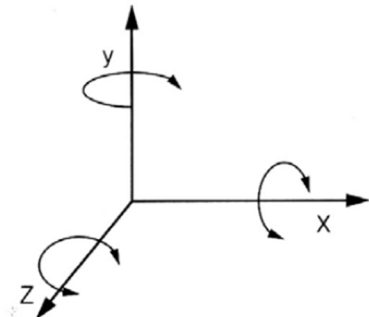
3. นาโนโรบอท (Nanorobot) เป็นหุ่นยนต์ที่มีขนาดเล็กมากๆ ประมาณ 0.5 ถึง 3 มิลลิเมตร

2.10.3 ลำดับขั้นความเป็นอิสระและการบังคับ (Degrees of Freedom (DOF) and Constraints) การเคลื่อนที่ของวัตถุเครื่อง ส่วนมากจะเป็นการเคลื่อนที่แบบเลื่อนและแบบหมุนรวมกัน การเคลื่อนที่แบบเลื่อนสามารถเคลื่อนที่เลื่อนไปได้ใน 1 แกน 2 แกน หรือ 3 แกน และการเคลื่อนที่แบบหมุนก็สามารถเคลื่อนที่หมุนได้ใน 1 แกน 2 แกน หรือ 3 แกน เช่นเดียวกัน ดังแสดงในภาพ 2.24 และ ภาพ 2.25



ภาพ 2.24 การเคลื่อนแบบเลื่อน

ที่มา : มุทธิดา สงวนจันทร์ (2558)

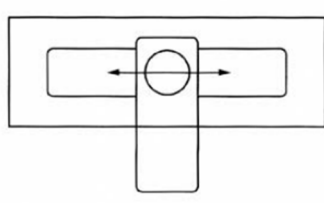


ภาพ 2.25 การเคลื่อนแบบหมุน

ที่มา : มุทธิดา สงวนจันทร์ (2558)

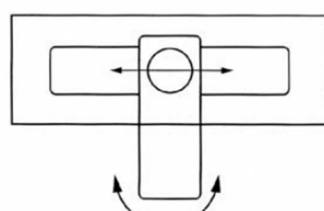
ลำดับขั้นความเป็นอิสระ คือจำนวนของส่วนประกอบการเคลื่อนที่ที่ต้องการควบคุมการเคลื่อนที่ อีกนัยหนึ่งของลำดับขั้นความเป็นอิสระคือ จำนวนพิกัดทั่วไปที่เป็นอิสระต่อกันที่ใช้ในการอธิบายการเคลื่อนที่ของระบบ จากภาพ 2.24 และภาพ 2.25 วัตถุมีการเคลื่อนที่ทั้งแบบเลื่อน (ตามแกน X Y และ Z) จึงมี 3 ลำดับขั้นความเป็นอิสระ และแบบหมุน (รอบแกน X Y และ Z) จึงมี 3 ลำดับขั้นความเป็นอิสระ รวมกันก็จะมี 6 ลำดับขั้นความเป็นอิสระ (6 DOF)

จำนวนของลำดับขั้นความเป็นอิสระ คือจำนวนส่วนประกอบของการเคลื่อนที่ เพื่อต้องการควบคุมการเคลื่อนที่ แสดงดังภาพ 2.26 และภาพ 2.27 โดยภาพ 2.26 รอยต่อของชิ้นส่วนกลไกถูกบังคับให้เคลื่อนที่แบบเลื่อนเพียงอย่างเดียว จึงมี 1 ลำดับขั้นความเป็นอิสระ และภาพ 2.27 รอยต่อของชิ้นส่วนกลไกถูกบังคับให้มีการเคลื่อนที่แบบหมุนด้วย จึงมี 2 ลำดับขั้นความเป็นอิสระ



ภาพ 2.26 รอยต่อ 1 ลำดับขั้นความเป็นอิสระ

ที่มา : มุทธิดา สงวนจันทร์ (2558)



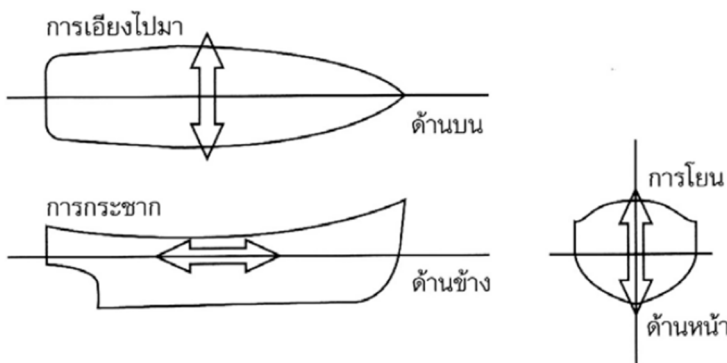
ภาพ 2.27 ลำดับขั้นความเป็นอิสระ

ที่มา : มุทธิดา สงวนจันทร์ (2558)

ในระบบสามมิติ และลำดับขั้นความเป็นอิสระ 6 ลำดับขั้นความเป็นอิสระของวัตถุแข็ง (Rigid body) สามารถอธิบายโดยใช้ชื่อของการเดินเรือ ได้แก่

1. การเคลื่อนที่แบบเลื่อน จะมี 3 ลำดับขั้นความเป็นอิสระ ได้แก่
  - 1.1 การโยน (Heave) คือการเคลื่อนที่เชิงเส้นในแนวตั้ง (ขึ้น - ลง)
  - 1.2 การโถนเอียงไปมา (Sway) คือการเคลื่อนที่เชิงเส้นทางด้านข้าง
  - 1.3 การกระชาก (Surge) คือการเคลื่อนที่เชิงเส้นในแนวอน (หน้า - หลัง)

แสดงดังภาพ 2.28



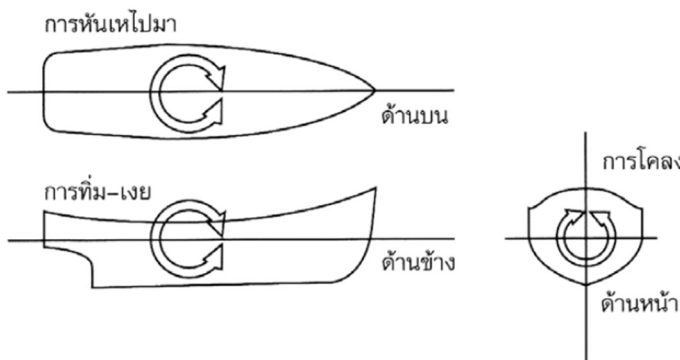
ภาพ 2.28 การเคลื่อนที่ที่มี 3 ลำดับขั้นความเป็นอิสระ แบบเลื่อน

ที่มา : มุติตา สงวนจันทร์ (2558)

2. การเคลื่อนที่แบบหมุน จะมี 3 ลำดับขั้นความเป็นอิสระ ได้แก่

- 2.1 การโคลง (Roll) คือการเคลื่อนที่แบบหมุนรอบแกนนอน
- 2.2 การทิม-เเย (Pitch) คือการเคลื่อนที่แบบหมุนรอบแกนทแยง
- 2.3 การหันเหไปมา (Yaw) คือการเคลื่อนที่แบบหมุนรอบแกนตั้ง

แสดงดังภาพ 2.29



ภาพ 2.29 การเคลื่อนที่ที่มี 3 ลำดับขั้นความเป็นอิสระ แบบหมุน

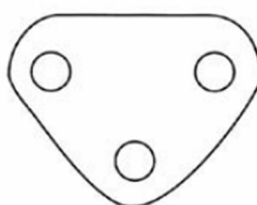
ที่มา : มุติตา สงวนจันทร์ (2558)

2.10.4 โซ่จลนศาสตร์ (Kinematic chain) โซ่จลนศาสตร์คือส่วนประกอบของก้านต่อและรอยต่อ ซึ่งก้านต่ออินพุตจะควบคุมการเคลื่อนที่ของก้านต่อเอาท์พุต โดยอย่างน้อยต้องมีก้านต่อ 1 ก้านต่อติดกับกราวน์ (Ground) หรือฐานอ้างอิง (Reference Frame) หรือยึดอยู่กับที่คำจำกัดความ

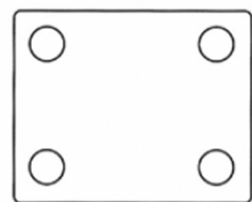
1. ก้านต่อ (Links) คือชิ้นส่วนของกลไกที่มีการเคลื่อนที่สัมพันธ์กับชิ้นส่วนอื่น ก้านต่อเป็นวัตถุแข็งเกร็ง
2. โนด (Nodes) คือจุดต่อระหว่างก้านต่อ
3. รอยต่อ (Joints) เป็นรอยต่อระหว่างก้านต่อ 2 ก้านหรือมากกว่าต่อกันที่โนดและเป็นที่ซึ่งมีการเคลื่อนที่ระหว่างรอยต่อนั้น
4. ก้านต่อโยง (Linkages) เป็นกลไกที่ประกอบขึ้นจากชิ้นส่วนของก้านต่อที่เชื่อมต่อกันที่โนดเกิดเป็นรอยต่อ เพื่อทำให้เกิดการเคลื่อนที่แบบลูกโซ่หรือแบบต่อเนื่องตัวอย่างของก้านต่อได้แก่ คาน ข้อเหวี่ยง ก้านสูบ ก้านต่อ สไลเดอร์ พูลเลอร์ สายพาน เพลา แสดงดังภาพ 2.30



(ก) มี 2 โนด



(ข) มี 3 โนด

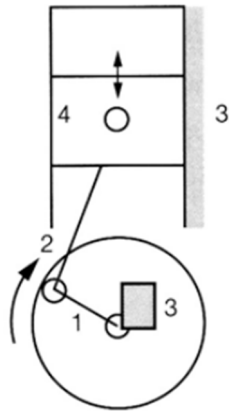


(ค) มี 4 โนด

ภาพ 2.30 ก้านต่อแบบต่างๆ

ที่มา : มุติตา สงวนจันทร์ (2558)

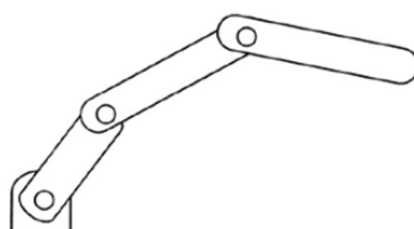
ตัวอย่างของโซ่จลนศาสตร์ที่อย่างน้อยต้องมีก้านต่อ 1 ก้านต่ออยู่กับที่ ได้แก่ เครื่องยนต์ที่มีลูกสูบเคลื่อนที่ขึ้น-ลง และเปลี่ยนเป็นการเคลื่อนที่หมุนของเพลาข้อเหวี่ยงบนแบริ่งที่ยึดติดอยู่กับที่บนเสื้อเครื่องยนต์ แสดงดังภาพ 2.31 จะมีก้านต่อทั้งหมด 4 ก้านต่อ โดยก้านต่อ 1 คือเพลาข้อเหวี่ยง ก้านต่อ 2 คือก้านสูบ ก้านต่อ 3 คือระบบอุปกรณ์ยึดติดอยู่กับเสื้อเครื่องยนต์ และก้านต่อ 4 คือลูกสูบที่เคลื่อนขึ้น-ลง ซึ่งเคลื่อนที่สัมพันธ์กับเสื้อเครื่องยนต์



ภาพ 2.31 ก้านต่อกลไกของเครื่องยนต์

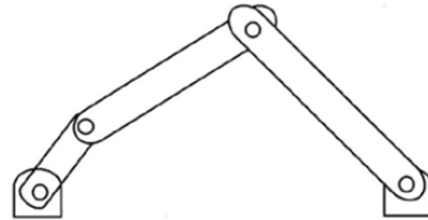
ที่มา : มุติตา สงวนจันทร์ (2558)

ใช้จลนศาสตร์หรือกลไก อาจจะมีทั้งแบบเปิดและแบบปิด กลไกแบบเปิดจะมีก้านต่อมากกว่า 1 ก้านต่อ และมีลำดับขั้นความเป็นอิสระมากกว่า 1 และต้องการตัวขับเคลื่อน (มอเตอร์) เพื่อทำให้เกิดลำดับขั้นความเป็นอิสระ เช่น หุ่นยนต์ในอุตสาหกรรม ส่วนกลไกแบบปิด ส่วนปลายของขึ้นส่วนกลไกจะถูกต่อเข้ากับโนด การทำงานอาจจะมีลำดับขั้นความเป็นอิสระมากกว่า 1 แสดงดังภาพ 2.32 และภาพ 2.33



ภาพ 2.32 โฉมกลไกแบบเปิดภาพ

ที่มา : มุติตา สงวนจันทร์ (2558)

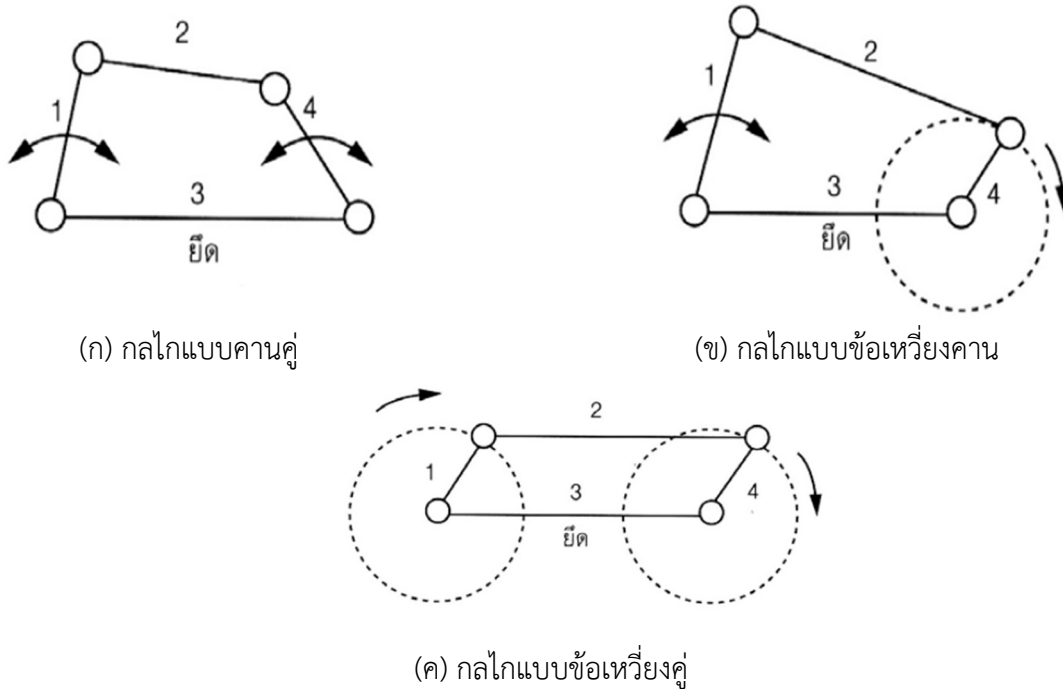


ภาพ 2.33 โฉมกลไกแบบปิด

ที่มา : มุติตา สงวนจันทร์ (2558)

สำหรับโฉมกลไก 4 ก้านต่อจะประกอบด้วยก้านต่อ 4 อันต่อกัน มี 4 รอยต่อ ซึ่งทำให้เกิดการหมุนขึ้นรูปแบบต่างๆ ของการเคลื่อนที่ของ 4 ก้านต่อขึ้นอยู่กับความยาวของก้านต่อ แสดงดังภาพ 2.34 โดยภาพ 2.34 (ก) ก้านต่อทั้งสี่ก้านต่อจะมีความยาวไม่เท่ากัน ก้านต่อ 3 ถูกยึดอยู่กับที่ก้านต่อ 1 และก้านต่อ 4 จะเกิดการเคลื่อนที่แกว่งไปมาเป็นข้อเหวี่ยงแต่ไม่หมุน หรือกลไกแบบคานคู่ (Double-lever Mechanism) ภาพ 2.34 (ข) ก้านต่อ 4 สั้นที่สุด และสามารถหมุนเป็นวงกลมได้ขณะที่ก้านต่อ 1 เคลื่อนที่แกว่งไปมาเป็นข้อเหวี่ยง เรียกว่า กลไกแบบข้อเหวี่ยงคาน (Lever-crank

Mechanism) และภาพ 2.34 (ค) ก้านต่อ 1 และก้านต่อ 4 ยาวเท่ากัน และก้านต่อหั้งสองสามารถหมุนเป็นวงกลมได้ เรียกว่ากลไกข้อเหวี่ยงคู่ (Double-crank Mechanism)



ภาพ 2.34 โซ่กลไก 4 ก้านต่อแบบต่างๆ

ที่มา : มุติตา สงฆ์จันทร์ (2558)

## 2.11 เหล็กกล้าไร้สนิม

เหล็กกล้าไร้สนิม (Stainless Steels) คือ เหล็กกล้าที่ มีสมบัติทนต่อการเกิดสนิมเนื่องมาจากการเติมธาตุโครเมียม (Chromium) ลงไว้ระหว่างกระบวนการหลอมเหล็ก ในปริมาณที่เหมาะสม (ไม่ต่ำกว่าร้อยละ 12 โดยน้ำหนัก) โครเมียมที่เติมลงไปจะทำให้เกิดฟิล์มโครเมียมออกไซเดอร์อไซด์ ( $\text{Cr}_x \text{O}_y (\text{OH})_z$ ) ปกคลุมผิวเหล็กไว้ ทำให้เนื้อเหล็กไม่สามารถทำปฏิกิริยากับอากาศเกิด เป็นสนิมได้

### 2.11.1 ประเภทของสแตนเลส

เหล็กกล้าไร้สนิมแบ่งออกเป็น 5 ประเภทหลัก ตามลักษณะของโครงสร้างจุลภาค (Microstructure) ได้แก่

1. เหล็กกล้าไร้สนิมเฟอร์ริติก (Ferritic grade) เป็นกลุ่มเหล็กกล้าไร้สนิมที่เป็นพื้นฐานของ เหล็กกล้าไร้สนิมทั้งหมดได้แก่ AISI 430 AISI 446 AISI 409 เป็นต้น เป็นเหล็กกล้าที่ ผสมโครเมียมในปริมาณร้อยละ 12 ถึง 27 ชิ้นอยู่กับแต่ละเกรด โดยความต้านทานต่อการกัดกร่อน

จะขึ้นอยู่ กับปริมาณของธาตุโคโรเมียมเป็นสำคัญ โดย เหล็กกล้าไร้สนิมกลุ่มนี้มีโครงสร้างจุลภาคเป็นเฟอร์ไรต์ (Ferrite) ซึ่งเป็นโครงสร้างพื้นฐานของเหล็กกล้าทั่วไปไม่สามารถทำการชุบแข็ง (Hardening) เพื่อเพิ่มความแข็งแรงได้ และยังคงสมบัติที่แม่เหล็กสามารถดูดติดได้

2. เหล็กกล้าไร้สนิมօสเทนนิติก (Austenitic grade) เป็นกลุ่มเหล็กกล้าไร้สนิมที่มีการใช้งานอย่างแพร่หลาย เกรดที่รู้จักกันมาก เช่น AISI 304 304L 316 และ 316L เป็นต้น เหล็กกล้าไร้สนิมกลุ่มนี้มีโครงสร้างจุลภาคเป็นօสเทนไนต์ (Austenite) ซึ่งเป็นผลจากการเติมธาตุnickel(Nickel) หรือธาตุ manganese (Manganese) ขึ้นอยู่กับแต่ละเกรด โครงสร้างจุลภาคแบบօสเทนไนต์ (Austenite) จะมีสมบัติโดดเด่นด้านการยึดตัวสูงกว่าโครงสร้างแบบเฟอร์ไรต์ (Ferrite) ทำให้สามารถขึ้นรูปเหล็กกล้าไร้สนิมกลุ่มนี้ได้โดยไม่เสียงต่อการแตกร้าว นอกจากนี้โครงสร้างօสเทนไนต์ (Austenite) ยังเป็นโครงสร้างที่แม่เหล็กไม่สามารถดูดติดได้ แต่ถ้าหากทำการขึ้นรูปมาแล้วจะทำให้แม่เหล็กดูดติดบริเวณที่ทำการขึ้นรูปได้ เนื่องจากโครงสร้างบริเวณที่ถูกขึ้นรูปจะเปลี่ยนแปลงไปจากโครงสร้างօสเทนไนต์ (Austenite) แล้ว

3. เหล็กกล้าไร้สนิมมาร์เทนซิติก (Martensitic grade) เป็นเหล็กกล้าไร้สนิมที่มีลักษณะคล้ายคลึงกับเหล็กกล้าไร้สนิมเฟอร์เรติก แต่มีปริมาณธาตุคาร์บอนที่สูงกว่าเพื่อทำให้เหล็กกล้าไร้สนิมกลุ่มนี้สามารถทำการชุบแข็ง (Hardening) เพื่อเพิ่มความแข็งแรงได้ โดยเกรดที่รู้จักกันอย่างแพร่หลาย เช่น AISI 403 420 เป็นต้น โครงสร้างจุลภาคภายในหลังการชุบแข็งจะได้โครงสร้างมาร์เทนไซต์ (Martensite) การใช้งานเหล็กกล้าไร้สนิมมาร์เทนซิติกส่วนใหญ่คำนึงถึงความแข็งแรงและความทนทานต่อการเกิดสนิมในระดับปานกลางเท่านั้น เนื่องจากปริมาณคาร์บอนที่สูงจะทำให้ความต้านทานต่อการกัดกร่อนลดลง แต่ก็ยังคงไม่เป็นสนิมในสารละลายที่มีการกัดกร่อนไม่สูงมากนักหรือในสารละลายที่เป็นกลางได้ ตัวอย่างการใช้งาน เช่น ลูกปืน เพลา เพียงสปริง เป็นต้น

4. เหล็กกล้าไร้สนิมสองเฟส (Duplex Grade) เป็นเหล็กกล้าไร้สนิมที่มีลักษณะร่วมทางโครงสร้างจุลภาคระหว่างเหล็กกล้าไร้สนิมเฟอร์เรติก (Ferritic Grade) กับเหล็กกล้าไร้สนิมօสเทนนิติก (Austenitic Grade) แต่มีความแข็งแรงสูงกว่าเหล็กกล้าไร้สนิมทั้ง 2 ชนิด โดยลักษณะโครงสร้างจุลภาคที่เกิดขึ้นในลักษณะนี้เกิดจากการมีปริมาณของธาตุnickelไม่ถึงร้อยละ 8 และมีปริมาณของธาตุโคโรเมียมสูงมากกว่าร้อยละ 20 ซึ่งทำให้ได้โครงสร้างผสมระหว่างเฟอร์ไรต์ (Ferrite) และօสเทนไนต์ (Austenite) ตัวอย่างของกลุ่มนี้ เช่น AISI 329 เป็นต้น เหล็กกล้าไร้สนิมกลุ่มนี้มีราคาค่อนข้างแพง เนื่องจากมีความแข็งแรงและความทนทานต่อการกัดกร่อนสูง (เนื่องจากปริมาณโคโรเมียมสูง)

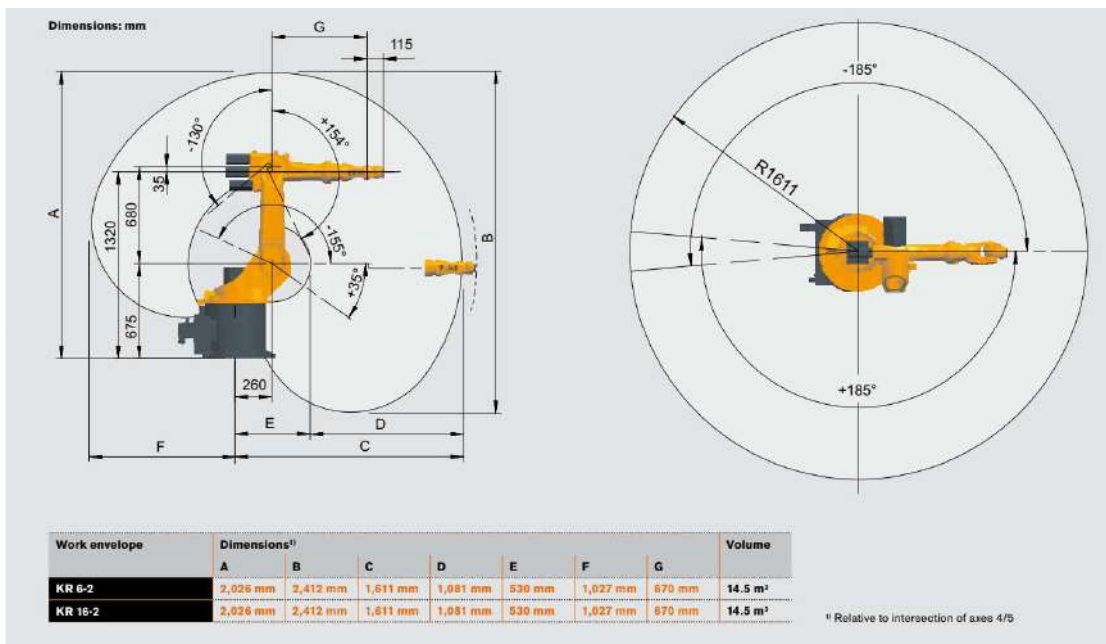
5. เหล็กกล้าไร้สนิมแบบตกผลึกแข็ง (Precipitation-Hardening Grade, PH Grade) เป็นเหล็กกล้าไร้สนิมที่มีการใช้งานน้อยในประเทศไทย โดยเหล็กกล้าไร้สนิมชนิดนี้มีความแข็งแรงสูง เนื่องจากเกิดการตกผลึกของเฟสต่างๆ เช่น Ni<sub>3</sub>Al, Ni<sub>3</sub>Ti และ Ni<sub>3</sub>Cu ภายในเนื้อวัสดุที่มีโครงสร้างมาร์เกนไซด์ (เกรด AISI 17-4 PH), โครงสร้างกึ่งอสเทนไนต์ (เกรด AISI 17-7 PH) หรือโครงสร้างอสเทนไนต์ (เกรด AISI 600) ซึ่งจุดเด่นที่สำคัญของเหล็กกล้าไร้สนิมกลุ่มนี้คือขั้นงานภายหลังจากการอบชุบมีโอกาสบิดเบี้ยวน้อย

#### 2.11.2 ประโยชน์ของการใช้งานเหล็กกล้าไร้สนิม

1. ใช้ในสิ่งแวดล้อมที่กัดกร่อน (Corrosive Environment)
2. งานอุณหภูมิเย็นจัด ป้องกันการแตกเปรอะ
3. ใช้งานอุณหภูมิสูง (High Temperature) ป้องกันการเกิดคราบออกไซด์ (Scale) และยังคงความแข็งแรง
4. มีความแข็งแรงสูงเมื่อเทียบกับมวล (High Strength vs. Mass)
5. งานที่ต้องการสุขอนามัย (Hygienic Condition) ต้องการความสะอาดสูง
6. งานด้านสถาปัตยกรรม (Aesthetic Appearance) ไม่เป็นสนิม ไม่ต้องทาสี
8. ไม่ปนเปื้อน (No Contamination) ป้องกันการทำปฏิกิริยากับสารเร่งปฏิกิริยา
9. ต้านทานการขัดถูแบบเปียก (Wet Abrasion Resistance)

### 2.12 แขนกล KUKA KR16

KUKA เป็นบริษัทผู้ผลิตหุ่นยนต์อุตสาหกรรมและงานเกี่ยวกับระบบอัตโนมัติต่างๆ ในโรงงานสัญชาติเยอรมัน โดย KUKA รุ่น KR16 นั้น จัดอยู่ใน KUKA Low Payload Robot Series แขนกลเคลื่อนไหวที่รวดเร็วและแม่นยำของมันนั้น สามารถแบกรับน้ำหนักได้ถึง 16 กิโลกรัม และมีระยะการทำงานที่ครอบคลุมมากที่สุดที่ 1610 มิลลิเมตร ตอบโจทย์สำหรับการใช้งานที่หลากหลายและสามารถปรับแต่งได้ง่าย สร้างจากโลหะผสมน้ำหนักเบา การออกแบบให้ความแข็งแกร่งและความยืดหยุ่น โครงสร้างที่กะทัดรัดช่วยให้สามารถติดตั้งบนพื้นเพดานและผนังได้ ข้อต่อที่ได้รับการป้องกันจะทำให้ KR 16 เป็นโครงสร้างที่เรียบง่ายและคล่องตัว ติดตั้งและใช้งานง่าย มีประสิทธิภาพสูงสุดในทุกรอบวนการตั้งแต่การขันย้ายวัสดุการ เชื่อมการตัด หรือการเคลือบ โดยข้อมูลทางเทคนิคของ KUKA KR16 แสดงดังภาพ 2.35 และภาพ 2.36



ກາພ 2.35 ຂໍ້ມູນທາງເທົນິກຂອງ KUKA KR16

ທີ່ມາ : <https://www.kuka.com>

Type	KR 6-2	KR 16-2
Maximum reach	1,611 mm	1,611 mm
Rated payload	6 kg	16 kg
Suppl. load, arm/link arm/rotating col.	10/variable/20 kg	
Suppl. load, arm + link arm, max.	Variable	
Maximum total load	36 kg	46 kg
Number of axes	6	
Mounting position	Floor, wall, ceiling	
Variant		Cleanroom, Foundry, Explosion-Proof
Positioning repeatability*	±0.05 mm	
Path repeatability*		
Controller	KR C2 edition2005	
Weight (excluding controller), approx.	235 kg	235 kg
Temperature during operation	+5 °C to +55 °C	
Protection classification	IP 65	
Robot footprint	500 mm x 500 mm	
Connection	7.3 kVA	
Noise level	< 75 dB	
Drive system, electromechanical with brushless AC servomotors		
*to ISO 9283		
Axis data	Range (software)	Speed with rated payload
		6 kg
Axis 1 (A1)	±185°	156°/s
Axis 2 (A2)	+35°/-155°	156°/s
Axis 3 (A3)	+154°/-130°	156°/s
Axis 4 (A4)	1350°	343°/s
Axis 5 (A5)	±130°	382°/s
Axis 6 (A6)	±360°	688°/s

Details provided about the properties and usability of the products are purely for information purposes and do not constitute a guarantee of these characteristics. The extent of goods delivered and services performed is determined by the subject matter of the specific contract. No liability accepted for errors or omissions.

ກາພ 2.36 ຂໍ້ມູນທາງເທົນິກຂອງ KUKA KR16 (ຕ້ອ)

ທີ່ມາ : <https://www.kuka.com>

## 2.13 งานวิจัยที่เกี่ยวข้อง

### 2.13.1 พารามิเตอร์ที่มีผลต่อการเชื่อมทั้งส坚韧อาร์ค

จากการวิจัยของ Korra et al., 2011 ได้ศึกษาพารามิเตอร์ที่เหมาะสมสำหรับการเชื่อมทั้งส坚韧อาร์คของเหล็กกล้าไร้สนิม 316L ขนาด  $250 \times 100 \times 3$  มิลลิเมตร โดยใช้เทคนิคทางชีวภาพ ได้แก่ อัตราการไหลของแก๊ส กระแสไฟฟ้า และความเร็วการเชื่อม ที่ส่งผลต่อความกว้าง และความสูงของรอยเชื่อมที่น้อยลง รวมถึงระยะความลึกของรอยแตกที่ลดลง จากผลการทดลองพบว่าอัตราการไหลของแก๊ส 10 ลิตรต่อนาที กระแสไฟฟ้า 40 แอม培ร์ และความเร็วการเชื่อม 100 มิลลิเมตรต่อนาที เป็นพารามิเตอร์ที่เหมาะสมที่สุด เช่นเดียวกับงานวิจัยของ Bharath et al., 2014 ได้ศึกษาพารามิเตอร์ที่เหมาะสมต่อความแข็งแรงของรอยเชื่อมแบบต่อชนของชิ้นงานเหล็กกล้าไร้สนิม 316 ยาว 100 มิลลิเมตร หนา 3 มิลลิเมตร โดยใช้เทคนิคทางชีวภาพ ได้แก่ ความเร็วการเชื่อม กระแสไฟฟ้า และระยะห่างระหว่างชิ้นงาน จากผลการวิจัยพบว่าพารามิเตอร์ที่เหมาะสมที่ส่งผลต่อความแข็งแรงต่อแรงดึงมากที่สุด 640 เมกะปานascal ได้แก่ กระแสไฟฟ้า 80 แอม培ร์ และระยะห่างระหว่างชิ้นงาน 1.0 มิลลิเมตร นอกจากนี้ยังมีงานวิจัยของ Dadfar et al., 2007 ได้ศึกษาการเชื่อมทั้งส坚韧อาร์คที่ส่งผลต่อพฤติกรรมการกัดกร่อนของแผ่นเหล็กกล้าไร้สนิม 316L หนา 2 มิลลิเมตร โดยใช้พารามิเตอร์การเชื่อมดังนี้ การไหลของแก๊ส 9 ลิตรต่อนาที แรงดันไฟฟ้า 11 โวลต์ ความเร็วการเชื่อม 70 มิลลิเมตรต่อนาที และกระแสไฟฟ้า 55 แอม培ร์ จากผลการวิจัยพบอัตราการกัดกร่อนเท่ากับ 0.240 บริเวณรอยเชื่อม และ 0.111 บริเวณเนื้อเหล็ก

จากการศึกษางานวิจัยในเบื้องต้นผู้วิจัยจึงได้เลือกพารามิเตอร์ที่จะนำมาศึกษาความแข็งแรงต่อการดึง ได้แก่ อัตราการไหลของแก๊ส กระแสไฟฟ้า และความเร็วของการเชื่อม แสดงดังตาราง 2.1

ตาราง 2.1 พารามิเตอร์ที่นำมาศึกษา

ผู้วิจัย	พารามิเตอร์		
	อัตราการไหลของแก๊ส (lpm)	กระแสไฟฟ้า (A)	ความเร็วของการเชื่อม (mm/min)
Dadfar et al., 2007	9	55	70
Korra et al., 2011	9 10 และ 11	40 50 และ 60	40 70 และ 100
Bharath et al., 2014	-	60 80 และ 100	50 65 และ 80

2.13.2 การวิเคราะห์ระดับของความคื้นตอกค้างในการเชื่อมโลหะแบบแก๊สทั้งสเตนอาร์ก โดยการวิเคราะห์แบบไฟไนต์เอลิเมนต์ (อดิเรก ใบสุขันธ์, 2558) โดยงานวิจัยนี้มุ่งเน้นเพื่อวิเคราะห์ หาระดับของความคื้นตอกค้างในการเชื่อมโลหะแบบแก๊สทั้งสเตนอาร์กในสเตนเลสเกรด 304 ภายหลังการเชื่อมอันเนื่องจากความร้อนที่เกิดขึ้นในแนวเชื่อมโดยในงานวิจัยนี้จะใช้วิเคราะห์แบบไฟไนต์เอลิเมนต์ในการหาระดับของความคื้นตอกค้างจากการเชื่อมร่วมกับการออกแบบการทดลองแบบแพคทอเรียลเต็มรูปและการใช้เทคนิคการหาพื้นผิวผลตอบด้วยวิธีการออกแบบส่วน ประสมกลางในการที่จะคัดเลือกปัจจัยที่เกี่ยวข้องซึ่งส่งผลกระทบต่อระดับของความคื้นตอกค้างที่เกิดขึ้นเพื่อสร้างสมการทำนายผลและหาค่าที่เหมาะสมที่สุดของปัจจัยงานวิจัยนี้ได้ใช้แบบจำลองในการเชื่อมโดยการวิเคราะห์แบบไฟไนต์เอลิเมนต์ด้วยเทคนิคแบบเกิดและตายเพื่อให้ได้ค่าความคื้นตอกค้างที่มีความแม่นยำมากขึ้นโดยใช้หลักการออกแบบการทดลองแบบแพคทอเรียลเต็มรูปเพื่อคัดเลือกปัจจัยที่เกี่ยวข้องซึ่งส่งผลกระทบต่อค่าของความคื้นตอกค้างที่เกิดขึ้นโดยปัจจัยนำเข้า 4 ปัจจัยคือ 1) ประสิทธิภาพการเชื่อม 2) กระแสไฟฟ้า 3) ความเร็วในการเชื่อม 4) ความร์วในการป้อน乩 ทดสอบเชื่อมจากการออกแบบการทดลองพบว่าปัจจัยที่มีผลอย่างมีนัยสำคัญคือ 1) ความเร็วในการเชื่อม 2) ความเร็วในการป้อน乩 เชื่อมจากนั้นใช้วิธีการออกแบบส่วนประสมกลางเพื่อหาค่าที่เหมาะสมที่สุดของปัจจัยพบร่วมกับ 156 มิลลิเมตรต่อนาที 2) ความเร็วในการป้อน乩 เชื่อมเท่ากับ 739 มิลลิเมตรต่อนาที โดยค่าความคื้นตอกค้างที่น้อยที่สุดจาก การวัดด้วยวิธีเลี่ยวนของรังสีเอกซ์คือ 179. 618 เมกะปاسкал และค่าความคื้นตอกค้างที่น้อยที่สุดจาก การดึงพบร่วมกับ 433 นิวตันต่อตารางมิลลิเมตร

2.13.3 การวิเคราะห์ปัจจัยในกระบวนการเชื่อม乩หงดแดง (อธิวัฒน์ ไตรวัฒนาภรณ์, 2553) การค้นคว้าแบบอิสระนี้มีวัตถุประสงค์เพื่อวิเคราะห์ปัจจัยในกระบวนการเชื่อม乩หงดแดงโดยใช้เครื่องมือการออกแบบการทดลอง (Design of Experiment, DOE) มาช่วยในการหาค่าระดับปัจจัยที่เหมาะสมการทดลองได้นำปัจจัยที่สามารถควบคุมได้ 4 ปัจจัย คือ อุณหภูมิ ค่าแรงกดเชื่อม ระยะเวลากดเชื่อม และกำลังคลื่นอัลตราโซนิกออกแบบการทดลอง โดยใช้แพคทอเรียลแบบเต็มรูป เพื่อหาปัจจัยที่ผลอย่างมีนัยสำคัญต่อค่าความด้าน乩หงดแดงดึงเส้น乩และแรงเฉือนลูกบล จากนั้นใช้ การออกแบบส่วนประสมกลาง (Central Composite Design, CCD) กับปัจจัยที่ได้คัดกรองแล้วโดย วัดค่าแรงดึงเส้น乩และค่าแรงเฉือนของลูกบล โดยผลการทดลองในการคัดกรองปัจจัยที่มีผลอย่าง มีนัยสำคัญต่อค่าแรงดึงเส้น乩มี 3 ปัจจัย คือ อุณหภูมิ ระยะเวลากดบน และกำลังคลื่นอัลตราโซนิก ส่วนปัจจัยที่มีผลอย่างมีนัยสำคัญต่อค่าแรงเฉือนคือทั้ง 4 ปัจจัยดังนั้นการออกแบบแบบส่วนประสมกลาง (CCD) จึงนำปัจจัยทั้ง 4 มาออกแบบได้ผลค่าระดับปัจจัยที่เหมาะสมคืออุณหภูมิ 250 องศา

เซลเซียส ค่าแรงกดบอน 80 กรัม ระยะเวลาคาดบอน 57 มิลลิวินาที และกำลังคลื่นอัลตราโซนิก 32 มิลลิวัตต์ โดยจะได้ผลลัพธ์ค่าแรงดึงเส้นลวด 55 กรัมและค่าแรงเฉือนลูกบอล 127 กรัมเมื่อทำการยึนยันผลการทดลองโดยทดลองซ้ำผลค่าเฉลี่ยที่ได้มีคำให้คำแนะนำที่ทำนายได้

## บทที่ 3

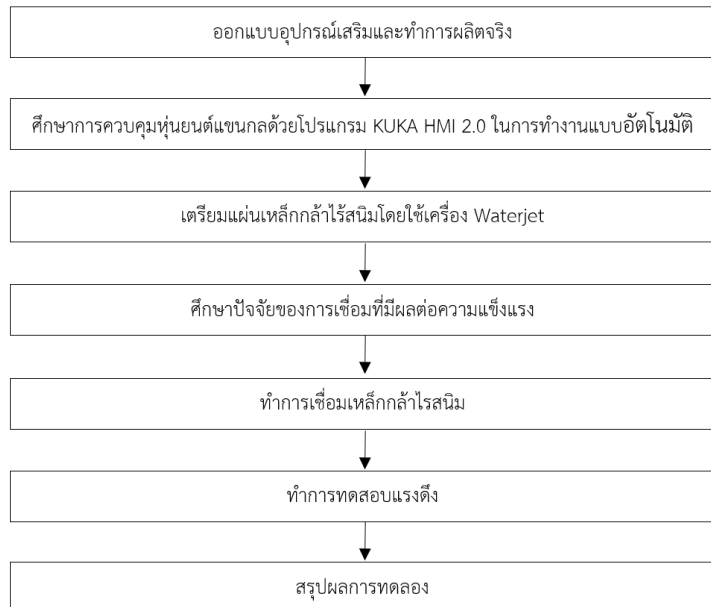
### ระเบียบวิธีการทำวิจัย

งานวิจัยนี้มุ่งเน้นการออกแบบอุปกรณ์สำหรับการเชื่อมหั้งสเตนเลสอาร์คเพื่อติดตั้งในหุ้นยนต์ แขนกลที่สามารถให้ประสิทธิภาพการเชื่อมได้ดี โดยทดสอบจากความแข็งแรงต่อแรงดึงของรอยเชื่อม หลังจากกระบวนการ ซึ่งมีการออกแบบการทดลองแบบฟูลแฟคทอเรียล ( $2^k$  Full Factorial Design) เพื่อหาปัจจัยที่เหมาะสมที่สุดที่ส่งผลต่อความแข็งแรงต่อแรงดึงมากที่สุด

#### 3.1 วิธีการและขั้นตอนในการทำงานวิจัย

วิธีการและขั้นตอนในการทำงานวิจัย เพื่อออกแบบอุปกรณ์เสริมและติดตั้งเข้ากับหุ้นยนต์ แขนกลให้สามารถเชื่อมอัตโนมัติได้ตามมาตรฐานการทดสอบความแข็งแรงของรอยเชื่อม มีขั้นตอนดัง

ภาพ 3.1



ภาพ 3.1 วิธีและขั้นตอนในการทำวิจัย

### 3.2 เครื่องมือที่ใช้ในงานวิจัย

#### 3.2.1 เครื่องทำแบบจำลอง 3D Printer

ใช้เครื่อง 3D Printer ในการปรินต์แบบจำลองของชิ้นงานออกแบบ เพื่อตรวจสอบรายละเอียดของชิ้นงานที่ได้ว่าสามารถนำไปประกอบเข้ากับหุนยนต์ได้ก่อนทำการสั่งผลิตจริง แสดงดังภาพ 3.2



ภาพ 3.2 เครื่อง 3D Printer

#### 3.2.2 เครื่องมิลลิ่ง (Milling Machine)

หลังจากสั่งผลิตชิ้นงาน ยังมีชิ้นงานบางส่วน และนอตบางตัวที่ต้องได้รับการแก้ไข จึงต้องใช้เครื่องมิลลิ่งในการกัดชิ้นงานให้ได้ความเรียบและขนาดตามต้องการ แสดงดังภาพ 3.3



ภาพ 3.3 เครื่องมิลลิ่ง (Milling Machine)

### 3.2.3 เครื่องกลึง

ใช้สำหรับกลึงหัวนอตที่ต้องนำมาแก้ไขขนาด เนื่องจากไม่สามารถหาซื้อน็อตขนาดตามที่ต้องการได้ แสดงดังภาพ 3.4



ภาพ 3.4 เครื่องกลึง

### 3.2.4 เวอร์เนียร์คลิปเปอร์

ใช้เวอร์เนียร์คลิปเปอร์สำหรับวัดความขนาดของชิ้นงานทดลอง ในขั้นตอนต่าง ๆ ระหว่างดำเนินการวิจัย แสดงดังภาพ 3.5



ภาพ 3.5 เวอร์เนียร์คลิปเปอร์

### 3.2.5 ไขควง

ใช้สำหรับขันน็อตประกอบชิ้นส่วนต่าง ๆ ของอุปกรณ์เสริมเข้ากับหุ่นยนต์ โดยจะมีไขควงแบบต่าง ๆ ตามประเภทของการใช้งาน แสดงดังภาพ 3.6



ภาพ 3.6 ไขควงแบบต่าง ๆ

### 3.2.6 ไม้บรรทัดวัดมุม

ใช้สำหรับวัดมุมของอุปกรณ์เสริมในการติดตั้งเข้ากับหุ่นยนต์ และหัวเชื่อมให้ได้องศาความเอียงตามต้องการ แสดงดังภาพ 3.7



ภาพ 3.7 ไม้บรรทัดวัดมุม

### 3.2.7 ไม้วัดระดับน้ำ

ใช้สำหรับวัดระดับของอุปกรณ์เสริมในการติดตั้งเข้ากับหุ่นยนต์ และหัวเชื่อมให้ได้ระนาบตามต้องการ แสดงดังภาพ 3.8



ภาพ 3.8 ไม้วัดระดับน้ำ

### 3.2.8 แอลกอฮอล์

ใช้สำหรับเช็ดทำความสะอาดพื้นผิวชิ้นงานทดสอบก่อนทำการทดลองเชื่อมชิ้นงานเข้าด้วยกัน แสดงดังภาพ 3.9



ภาพ 3.9 แอลกอฮอล์

### 3.2.9 หน้ากากเชื่อม

ใช้สำหรับสวมใส่ป้องกันลำแสงจากการเชื่อมที่จะเป็นอันตรายต่อดวงตา แสดงดังภาพ 3.10



ภาพ 3.10 หน้ากากเชื่อม

### 3.2.10 มอเตอร์หินเจียร์

ใช้สำหรับตกแต่งส่วนหัวของแท่งทังสetenที่ใช้สำหรับการเชื่อมให้แหลมและเรียบเสมอ กัน  
แสดงดังภาพ 3.11



ภาพ 3.11 มอเตอร์หินเจียร์

### 3.2.11 เครื่อง Waterjet

ใช้สำหรับเตรียมแผ่นเหล็กกล้าไร้สนิมเกรด AISI 316L ขนาดตามต้องการก่อนที่จะนำไปใช้ในการทดลอง และใช้สำหรับเตรียมชิ้นงานทดสอบในการทดสอบแรงดึง แสดงดังภาพ 3.12



ภาพ 3.12 เครื่อง Waterjet

### 3.2.12 เครื่องเชื่อม

เครื่องเชื่อมที่ใช้ในงานวิจัยนี้ ได้ใช้เครื่องเชื่อมโลหะแบบแก๊สทั้งสตีลอาร์คในการเชื่อมเหล็กกล้าไร้สนิมเกรด AISI 316L แสดงดังภาพ 3.13



ภาพ 3.13 เครื่องเชื่อม

### 3.2.13 หุ่นยนต์ KUKA

หุ่นยนต์ที่ใช้ในงานวิจัยนี้ได้ใช้หุ่นยนต์ยี่ห้อ KUKA รุ่น KR16 โดยจะควบคุมการทำงานผ่านโปรแกรม KUKA HMI 2.0 ซึ่งเป็นหุ่นยนต์ที่สามารถสั่งการและกำหนดค่าพารามิเตอร์ต่างๆ ตามที่กำหนดไว้ แสดงดังภาพ 3.14



ภาพ 3.14 หุ่นยนต์ KUKA

### 3.2.14 เครื่องทดสอบแรงดึง

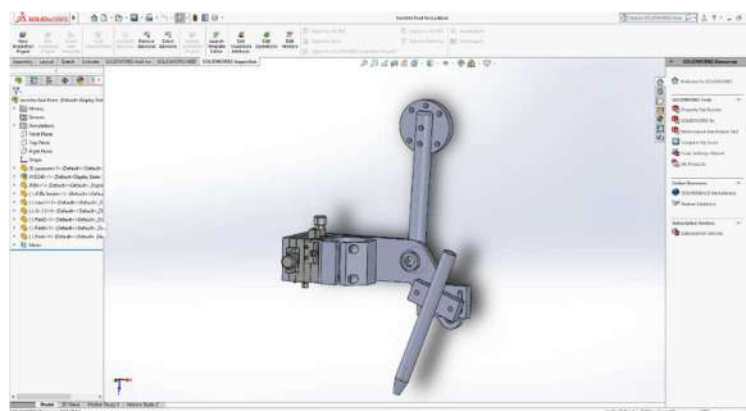
ใช้สำหรับวัดค่าความแข็งแรงต่อแรงดึงสูงสุดของชิ้นงานทดสอบ ภายหลังจากการเชื่อมตามเงื่อนไขที่ได้กำหนดไว้ตามการออกแบบการทดลอง แสดงดังภาพ 3.15



ภาพ 3.15 เครื่องทดสอบแรงดึง

### 3.3 ออกแบบอุปกรณ์เสริมสำหรับติดตั้งแขนกล

3.3.1 ออกแบบอุปกรณ์เสริมโดยใช้โปรแกรมโซลิทเวิร์ค (Solidwork) โดยหลักการออกแบบได้คำนึงถึงความง่าย (Simple) และสามารถปรับชิ้นส่วนต่างๆ ได้อย่างอิสระ (Variability) เพื่อรับความผิดพลาดที่อาจเกิดขึ้นได้ เช่น องศาในการป้อน漉ดเชื่อมไม่สัมพันธ์กับ漉ดเชื่อม และเพิ่มความแม่นยำ ความละเอียดในการเกิดระยะอาร์ค ในกรณีที่การป้อนค่าในคอมพิวเตอร์มีความละเอียดที่ไม่เพียงพอ ก็สามารถปรับได้ที่ตัวปรับค่าด้วยมือที่จะอี้ดมากยิ่งขึ้นได้โดยตรง โดยรูปทรงและการว่างตำแหน่งของอุปกรณ์เสริมจะได้แนวคิดมาจากการเลียนแบบระบบการทำงานเชื่อมของแขนมนุษย์ แสดงดังภาพ 3.16



ภาพ 3.16 แบบร่างอุปกรณ์เสริม

3.3.2 ชิ้นรูปชิ้นส่วนตัวอย่างด้วย 3D Printer พิมพ์ชิ้นส่วนต้นแบบมาทดลองติดตั้งเข้ากับแขนกล เพื่อตรวจสอบความถูกต้องของขนาดให้ได้ตามที่กำหนดและทราบถึงข้อผิดพลาดของชิ้นงาน ต้นแบบเพื่อนำไปปรับปรุงก่อนการสั่งผลิตชิ้นงานจริง แสดงดังภาพ 3.17



ภาพ 3.17 3D Print ชิ้นงาน

### 3.3.3 คัดเลือก Material ที่จะใช้ในการผลิตอุปกรณ์เสริม

#### 1. การคัดเลือกสแตนเลส

สแตนเลสเกรด 304 (AISI 304) เป็นสแตนเลสที่มีสารโคโรเมียมอยู่ 18 เปอร์เซ็นต์ และนิกเกลอยู่ 8 เปอร์เซ็นต์ ซึ่งจะไม่มีสารโมลิดินัม มีคาร์บอนต่ำ และเป็นสแตนเลสที่ทนต่อการเกิดสนิม (Oxidation) และทนการกัดกร่อนต่างๆ ได้เป็นอย่างดี (Corrosion) เนื่องจากมีสารนิกเกล (Nickel) จึงทำให้แม่เหล็กดูดไม่ติด มีคาร์บอนต่ำ (Low Carbon) จึงมีความเนียนยวาว สามารถใช้กับการปั๊มขึ้นรูปสูงๆ ได้ เช่น การทำอ่างซิงค์หรือภาชนะในครัวต่างๆ เพราะสามารถทนความร้อนได้ดี

สแตนเลสเกรด 316 (AISI 316) เป็นสแตนเลสที่นิยมใช้รองลงมาจากเกรด 304 เป็นสแตนเลสที่มีส่วนผสมคล้ายกับเกรด 304 แต่เกรด 316 จะมีส่วนผสมของสารโมลิดินัมเพิ่มเข้าไป ทำให้สแตนเลสเกรดนี้สามารถทนต่อการเกิดสนิม และการกัดกร่อนได้สูงกว่าเกรด 304 โดยเฉพาะการทนต่อสารคลอรีน (Warm Chlorine Environmental) จึงนิยมใช้ในงานทำอุปกรณ์ต่างๆ ในห้องแล็บ งานอุตสาหกรรมอาหาร อุตสาหกรรมสารเคมีต่างๆ อุปกรณ์เรือ จนถึงประเทภงานสปริง ที่ต้องให้ทนสนิม โดยการลดคาร์บอนลงจาก 0.08 เปอร์เซ็นต์ ลงมาเหลือ 0.03 เปอร์เซ็นต์ ทำให้สแตนเลสเนียนขึ้นจนสามารถเป็นสปริงได้

ผู้วิจัยจะคำนึงถึงปัจจัยด้านราคาเป็นหลักในการเลือกระหว่างสแตนเลสเกรด AISI 304 และ AISI 316 เนื่องจากมีคุณสมบัติที่ใกล้เคียง แสดงดังตาราง 3.1 จึงเลือกเกรด AISI 304 ที่มีราคาถูกกว่า

ตาราง 3.1 ส่วนประกอบทางเคมีของสแตนเลส 304 และ 316

Chemical Composition	304	316
Carbon	0.08 (Max)	0.08 (Max)
Manganese	2.00 (Max)	2.00 (Max)
Silicon	0.75 (Max)	0.75 (Max)
Phosphorus	0.045 (Max)	0.045 (Max)
Sulphur	0.030 (Max)	0.030 (Max)
Chromium	18.00 - 20.00	16.00 - 18.00
Nickel	8.00 - 10.50	10.00 - 14.00

## 2. PEEK/Polyetheretherketone

PEEK/Polyetheretherketone เป็นพลาสติกวิศวกรรมคุณภาพสูง คือมีคุณสมบัติที่ดีเยี่ยมที่สุดในบรรดาพลาสติกวิศวกรรมทั้งหมด เพราะสามารถใช้งานได้ที่อุณหภูมิสูงมาก (310 องศาเซลเซียส) มีความแข็งแรงเชิงกลสูงมาก อีกทั้งยังมีความเหนียว ความแข็ง ความทนทานต่อการรับแรงดึงดันหรือแรงบิดที่สูงมากด้วยเช่นกัน PEEK มีความต้านทานต่อสารเคมีได้ดีเยี่ยม และมีคุณสมบัติเป็นอนวนแม่ใช้งานที่อุณหภูมิสูงถึง 310 องศาเซลเซียส และมีความต้านทานต่อรังสีทุกชนิดได้ดีมาก และที่สำคัญ PEEK มีคุณสมบัติที่เมื่อติดไฟแล้วสามารถดับเองได้ ตามมาตรฐาน UL 94 เนื่องจากการเชื่อมมีระบบไฟฟ้าเข้ามาเกี่ยวข้อง แขนกลใช้กำลังไฟมาก จึงต้องป้องกันการย้อนกลับของกระแสไฟฟ้าภายในวงจร PEEK เป็นพลาสติกดังนั้นจึงเป็นอนวนโดยธรรมชาติ จึงเป็นตัวเลือกที่จำเป็นต้องมีในส่วนของอุปกรณ์เสริม และยังทนความร้อนสูง เหมาะกับการใช้ในการเชื่อมที่ใช้ความร้อนสูง เพื่อป้องกันการละลายหรือเสียหาย เสียรูป ของวัสดุ เมื่อทำการเชื่อมเป็นระยะเวลานาน แต่เนื่องจาก PEEK มีราคาที่ค่อนข้างสูง

ทางผู้วิจัยต้องทำการพิจารณาขึ้นส่วนที่จะใช้เพื่อลดงบประมาณในการจัดทำให้เกิดความคุ้มค่าที่สุด และสามารถตอบโจทย์ด้านการป้องกันกระแสไฟฟ้าให้อยู่นกลับด้วย โดยข้อมูลทางเทคนิคของ PEEK แสดงดังภาพ 3.18

	Test method	Unit	Value
<b>General properties</b>			
Density	DIN EN ISO 1183-1	g / cm <sup>3</sup>	1,31
Water absorption	DIN EN ISO 62	%	0,2
Flammability (Thickness 3 mm / 5 mm)	UL 94	V0 / V0	
<b>Mechanical properties</b>			
Yield stress	DIN EN ISO 527	MPa	110
Elongation at break	DIN EN ISO 527	%	20
Tensile modulus of elasticity	DIN EN ISO 527	MPa	4000
Shore hardness	DIN EN ISO 868	scale D	88
<b>Thermal properties</b>			
Crystalline grain melting range	ISO 11357-3	°C	343
Thermal conductivity	DIN 52612-1	W / (m * K)	0,25
Thermal capacity	DIN 52612	kJ / (kg * K)	1,34
Coefficient of linear thermal expansion	DIN 53752	10 <sup>-6</sup> / K	50
Service temperature, long term	Average	°C	-60 ... 250
Service temperature, short term (max.)	Average	°C	310
Heat deflection temperature	DIN EN ISO 75, Verf. A, HDT	°C	152
<b>Electrical properties</b>			
Dielectric constant	IEC 60250		3,2
Dielectric dissipation factor (50 Hz)	IEC 60250		0,001
Volume resistivity	IEC 60093	Ω * cm	4,9 * 10 <sup>16</sup>
Surface resistivity	IEC 60093	Ω	10 <sup>18</sup>
Dielectric strength	IEC 60243	kV / mm	20

ภาพ 3.18 ข้อมูลทางเทคนิคของ PEEK

ที่มา : <http://www.superlenethailand.com>

### 3.4 ทำการสั่งผลิตอุปกรณ์เสริม

หลังจากออกแบบอุปกรณ์เสริมลงในโปรแกรมคอมพิวเตอร์ เลือกวัสดุที่ต้องการจะใช้กับอุปกรณ์เสริม และทำการทดสอบขนาดด้วยการทำปรินท์สามมิติ (3D Print) เสร็จแล้ว จะทำการส่งแบบร่างให้ทางโรงงาน ประเมินราคากำลังการสั่งผลิตชิ้นงาน หลังจากพิจารณาราคาเป็นที่เรียบร้อย ก็จะวางแผนดำเนินการ และรอรับอุปกรณ์เสริมแบบสมบูรณ์ต่อไป

### 3.5 ทำการเตรียมอุปกรณ์ที่ใช้ในการเชื่อม

ทำการติดต่อภาควิชาจัดหาอุปกรณ์ต่าง ๆ ที่ต้องใช้ในงานเชื่อม เช่น เครื่องเชื่อม GTAW หัวเชื่อม ลาดเชื่อม ถังแก๊ส ตัวจับยึดชิ้นงานและฟีดเดอร์ (Feeder) เป็นต้น หลังจากได้รับอุปกรณ์ต่าง ๆ แล้ว จะนำมาประกอบเข้ากับแขนกล เพื่อพิจารณาตำแหน่งการเดินสายแก๊สเชื่อม และระบบอื่น ๆ เพื่อให้มีความเหมาะสมที่สุดในการเชื่อมแบบอัตโนมัติ และนำอุปกรณ์เสริมเข้ามาประกอบกับตัวแขนกลพร้อมทั้งระบบอื่น ๆ ด้วย และเมื่อทุกระบบมีความพร้อมแล้ว จะทำการทดสอบการเชื่อม และปรับค่าต่าง ๆ ให้เหมาะสมสมต่อไป แสดงดังภาพ 3.19



ภาพ 3.19 เตรียมอุปกรณ์ที่ใช้ในการเชื่อม

### 3.6 ศึกษาวิธีการควบคุมหุ่นยนต์แขนกลในการทำงานแบบอัตโนมัติ

ศึกษาวิธีการควบคุมหุ่นยนต์แขนกลโดย KUKA HMI 2.0 เป็นซอฟต์แวร์ที่ช่วยในการทำ Offline Programming สำหรับโปรแกรมสั่งการหุ่นยนต์ โดยมี Teach Pendant ในการช่วยสั่งการหุ่นยนต์ แสดงดังภาพ 3.20



ภาพ 3.20 Teach Pendant

### 3.7 เตรียมแผ่นเหล็กกล้าไร้สนิมโดยใช้เครื่อง Waterjet

3.7.1 ตัดแผ่นเหล็กกล้าไร้สนิมเกรด AISI 316L ขนาด 600X800X3 มิลลิเมตร ดังภาพ 3.21  
ให้ได้ขนาด 150X100X3 มิลลิเมตร ดังภาพ 3.22 โดยเครื่อง Waterjet แสดงดังภาพ 3.23



ภาพ 3.21 แผ่นเหล็กกล้าไร้สนิมขนาด 600X800X3 มิลลิเมตร



ภาพ 3.22 แผ่นเหล็กกล้าไร้สนิมขนาด 100X150X3 มิลลิเมตร



ภาพ 3.23 ตัดแผ่นเหล็กกล้าไร้สนิมด้วยเครื่อง Waterjet

### 3.8 ศึกษาปัจจัยของการเชื่อมที่มีผลต่อความแข็งแรง

#### 3.8.1 ระยะของการอาร์ก

การใช้ระยะอาร์กที่ถูกต้อง (Correct Arc Length) หมายถึง ระยะห่างระหว่างปลายลดเชื่อม ขณะทำการเชื่อมกับชิ้นงาน ขนาดของระยะอาร์กขึ้นอยู่กับเส้นผ่าศูนย์กลางลดเชื่อม โดยทั่วไประยะอาร์กจะเท่ากับความโดยรวมของแกนลดเชื่อมหรือน้อยกว่าเล็กน้อย ซึ่งอิทธิพลของระยะอาร์กจะมีผลต่อคุณภาพของแนวเชื่อม ดังนี้

- ระยะอาร์กห่างมากเกินไป จะมีผลทำให้ อาร์ครุนแรง การควบคุมแนวเขื่อนหรือ แอ่งหลอมเหลวทำได้ยาก และทำให้ความแข็งแรงของแนวเขื่อมลดลง

- ระยะอาร์กสั้นเกินไป จะมีผลทำให้ปลายลาดเชื่อมติดกับโลหะงานการอาร์คดับ จ่ายและความแข็งแรงแนวเขื่อมลดลง

- ระยะอาร์กที่ถูกต้อง จะช่วยป้องกันไม่ให้อาศาสภายนอกเข้ามาร่วมตัวในแอ่ง หลอมเหลว ทำให้การอาร์กเกิดขึ้นสม่ำเสมอ เม็ดโลหะเด็นน้อย และแนวเขื่อมมีความแข็งแรง

### 3.8.2 กระแสไฟฟ้า

การปรับตั้งกระแสไฟฟ้าเขื่อมมีผลผลกระทบโดยตรงต่อคุณภาพของแนวเขื่อม โดยมีข้อควร พิจารณาดังนี้

- การปรับกระแสไฟในการเชื่อมสามารถปรับได้ 2 ลักษณะ คือ ปรับเพิ่มและปรับลด
- การปรับกระแสไฟเชื่อมสูงจะทำให้การอาร์ครุนแรงและแนวเขื่อมเสียหาย
- การปรับกระแสไฟเชื่อมสูงหรือต่ำจะต้องคำนึงถึงความหนาของวัสดุงานเชื่อม
- การใช้กระแสไฟเชื่อมต่ำจะทำให้เกิดการดูดติดของลวดเชื่อมกับชิ้นงาน

### 3.8.3 ความเร็วในการเชื่อม

ความเร็วในการเชื่อมหมายถึง ระยะทางการเคลื่อนที่ของลวดเชื่อมในหนึ่งหน่วยเวลา ความเร็วในการเชื่อมมีผลต่อคุณภาพและประสิทธิภาพของแนวเขื่อม โดยมีข้อพิจารณาดังนี้

- ความเร็วในการเชื่อมเร็วเกินไปมีผลทำให้แนวเขื่อมเล็กไม่แข็งแรง การซึมลึกไม่ดี
- ความเร็วในการเชื่อมช้าเกินไปมีผลทำให้แนวเขื่อมใหญ่แน่น การซึมลึกไม่ดี
- ความเร็วในการเชื่อมที่เหมาะสม คือการเริ่มต้นเชื่อมและสิ้นสุดการเชื่อมโดยใช้ อัตราความเร็วคงที่สม่ำเสมอ

## 3.9 การออกแบบการทดลองแบบฟูลแฟคทอรีอล

ออกแบบการทดลองโดยใช้หลักการของการออกแบบการทดลอง เพื่อวิเคราะห์เกี่ยวกับ อิทธิพลของปัจจัยที่ต้องการศึกษาว่าเกี่ยวข้องกับความแข็งแรงต่อแรงดึงมากน้อยเพียงใด โดยใช้การ ออกแบบการทดลองแบบฟูลแฟคทอรีอล ( $2^k$  Full Factorial Design)

### 3.9.1 การเลือกปัจจัยและระดับ

จากการทบทวนงานวิจัยต่าง ๆ ที่ได้ศึกษาเกี่ยวกับการเชื่อมโลหะแบบแก๊สทั้งสิบ เน อาร์ค พบร่ว่า ปัจจัยที่น่าจะมีผลต่อค่าความแข็งแรงต่อตึงสูงสุด มีทั้งหมด 3 ปัจจัย คือ อัตราการไหล

ของแก๊ส กระแทกไฟฟ้า และความเร็วของการเชื่อม โดยงานวิจัยนี้ได้กำหนดให้แต่ละปัจจัยมี 2 ระดับ คือ ระดับสูงและระดับต่ำ ที่ระดับนัยสำคัญ  $\alpha$  เท่ากับ 0.05 แสดงดังตาราง 3.2

ตาราง 3.2 ปัจจัย ระดับ ขอบเขต และสัญลักษณ์ ที่ใช้ในการออกแบบการทดลองแบบฟูลเฟคทอเรียล

ที่	ปัจจัย	หน่วย	สัญลักษณ์	ระดับ	
				ต่ำ (-)	สูง (+)
1	อัตราการไหลของแก๊ส	ลิตรต่อนาที	A	9	11
2	กระแทกไฟฟ้า	แอมเปอร์	B	80	100
3	ความเร็วของการเชื่อม	มิลลิเมตรต่อวินาที	C	1.5	2.5

โดยระดับของปัจจัยทั้ง 3 ปัจจัยที่เลือกใช้นี้ (Korra et al., 2011) พบร่วมค่าที่เหมาะสมสำหรับการเชื่อมโลหะแบบแก๊สทั้งสแตนาร์คกับเหล็กกล้าไร้สนิมเกรด AISI 316L ควรอยู่ในช่วงดังกล่าวดังนี้ในการทดลองนี้จะมีทั้งหมด  $2^3 = 8$  การทดลอง

### 3.9.2 การทดลองซ้ำและการสุ่มการทดลอง

โดยงานวิจัยนี้ได้กำหนดการทดลองซ้ำ จำนวน 2 ซ้ำ เพื่อยืนยันความถูกต้องของผลการทดลอง และได้ใช้ลำดับการทดลองเป็นแบบสุ่มตามหลักการของการออกแบบการทดลอง ทำให้สามารถออกแบบตารางการทดลองแบบฟูลเฟคทอเรียล แสดงดังตาราง 3.3

### 3.9.3 การดำเนินการทดลอง

ในการดำเนินการทดลองตามที่ได้ออกแบบการทดลองไว้แล้วนั้น จะทำการทดลองเชื่อมโดยใช้หุ่นยนต์แขนกลด้วยโปรแกรม KUKA HMI 2.0 ในการทำงานแบบอัตโนมัติตามลำดับการดำเนินการทดลองที่กำหนดใน ตาราง 3.3

ตาราง 3.3 ตารางการออกแบบการทดลองแบบฟูลแฟคทอเรียล จำนวน 2 ชั้น

Standard Order	Run Order	ปัจจัย		
		A (ลิตรต่อนาที)	B (แเอมแปร์)	C (มิลลิเมตรต่อวินาที)
10	1	11	80	1.5
5	2	9	80	2.5
12	3	11	100	1.5
13	4	9	80	2.5
6	5	11	80	2.5
11	6	9	100	1.5
9	7	9	80	1.5
7	8	9	100	2.5
1	9	9	80	1.5
16	10	11	100	2.5
3	11	9	100	1.5
8	12	11	100	2.5
4	13	11	100	1.5
2	14	11	80	1.5
15	15	9	100	2.5
14	16	11	80	2.5

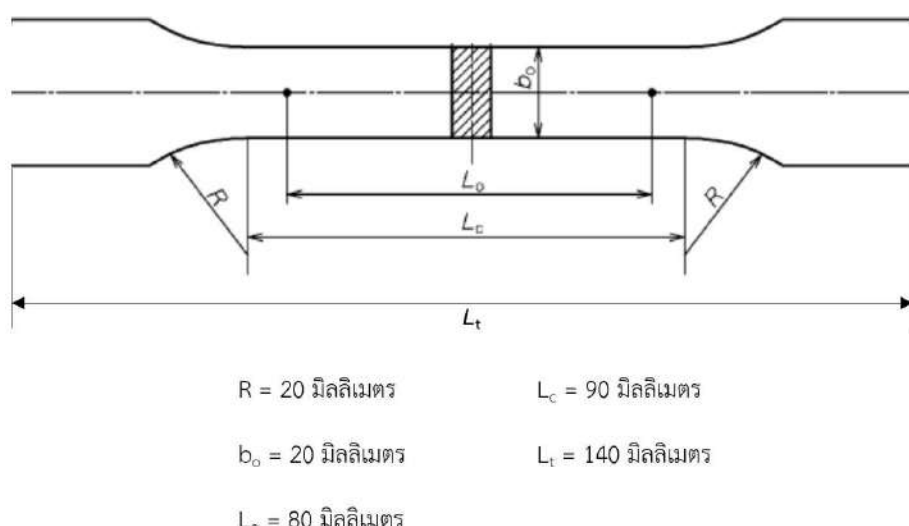
### 3.10 ทำการเชื่อมแผ่นเหล็กกล้าไร้สนิม

จับคู่แผ่นเหล็กกล้าไร้สนิมเกรด AISI 316L ที่มีขนาด 100X150X3 มิลลิเมตร นำแผ่นเหล็กกล้าไร้สนิมที่จับคู่แล้วไปวางเตรียมไว้บนโต๊ะเชื่อม แล้วสั่งการหุ่นยนต์แขนกลที่ได้รับการติดตั้งอุปกรณ์เสริมแล้ว โดยใช้โปรแกรม KUKA HMI 2.0 สั่งการหุ่นยนต์ในการเชื่อมโลหะแบบแก๊สหั้งสเตนออกซ์คัตโน้มติให้ได้รอยต่อชน (BUTT JOINT) ตามปัจจัยและดับการทดลองที่ระบุไว้ โดยมีระยะของ การอาร์ค 2.5 มิลลิเมตร มุมเชื่อมกับชิ้นงาน 80 องศา ใช้แก๊สอาร์กอนเป็นแก๊สปกคลุม

โดยผู้วิจัยได้ทำการเชื่อมในห้องปิดที่มีการปรับอากาศให้คงที่ตลอดการดำเนินการเป็นการใช้หลักการบล็อกกิ้งในการกำจัดสิ่งรบกวนปัจจัยในการเชื่อม

### 3.11 ทำการทดสอบแรงดึง

ก่อนที่จะนำขึ้นงานไปทดสอบแรงดึงนั้น จะต้องทำการลดรูปชิ้นงานให้ได้ตามมาตรฐาน มอก. 2172 เล่ม 1-2556 ที่ได้กำหนดไว้ โดยงานวิจัยฉบับนี้จะใช้เครื่อง Waterjet ในการลดรูปชิ้นงาน เพื่อให้ได้ขนาดตามมาตรฐานที่กำหนดไว้ และยังไม่ก่อให้เกิดความร้อนแก่ชิ้นงานที่จะส่งผลเสียต่อ การทดสอบความแข็งแรงต่อแรงดึงของชิ้นงาน แสดงดังภาพ 3.24 เมื่อได้ชิ้นงานที่มีขนาดตาม ต้องการแล้ว จึงนำชิ้นงานที่ผ่านการลดรูปแล้วไปทำการทดสอบความแรงดึง (Tensile Test) ของรอยเชื่อม เพื่อหาปัจจัยและระดับที่เหมาะสมในการเชื่อมเหล็กกล้าไร้สนิมเกรด AISI 316L



ภาพ 3.24 ขนาดของชิ้นงานสำหรับการทดสอบแรงดึง

### 3.12 สรุปผลการทดลอง

3.12.1 จัดทำตารางและการฟ์แลนด์เพอร์เซนต์ แสดงค่าความแข็งแรงต่อแรงดึงของรอยเชื่อมตามตารางการ ออกแบบการทดลองแบบฟูลแฟคทอร์เรียล และวิเคราะห์ทางสถิติ ว่าปัจจัยใดที่มีผลอย่างมีนัยสำคัญ ต่อความแข็งแรงต่อแรงดึงของรอยเชื่อม

3.12.2 หากค่าความแข็งแรงต่อแรงดึงที่มากที่สุด โดยใช้ฟังก์ชัน Response Optimizer ที่มี อยู่ในโปรแกรมมินิแทบ (Minitab) ว่าควรจะปรับค่าของปัจจัยให้อยู่ในระดับใด

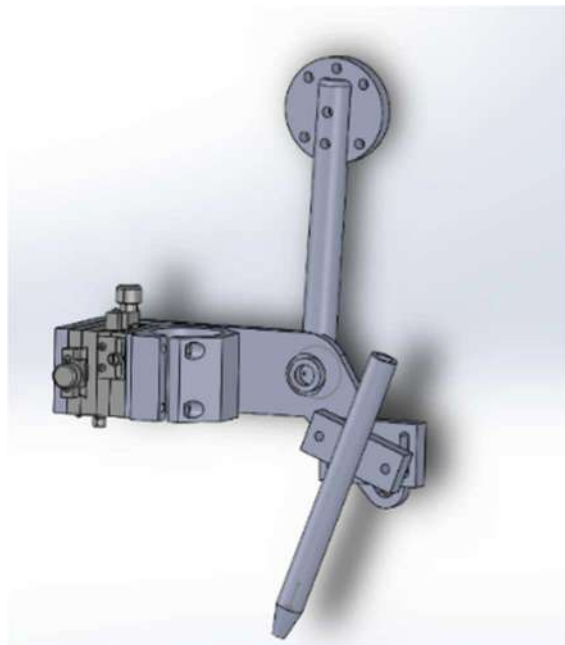
## บทที่ 4

### ผลการทำวิจัย

ผลจากการออกแบบอุปกรณ์เสริมสำหรับติดตั้งแขนกลโดยใช้โปรแกรม Solidwork และขึ้นรูปชิ้นส่วนตัวอย่างด้วย 3D Printer พิมพ์ชิ้นส่วนต้นแบบมาทดลองติดตั้งเข้ากับแขนกล เพื่อตรวจสอบความถูกต้องของขนาดให้ได้ตามที่กำหนดและทราบข้อผิดพลาดของชิ้นงานต้นแบบเพื่อนำไปปรับปรุงก่อนการสั่งผลิตชิ้นงานจริง

#### 4.1 ผลการออกแบบอุปกรณ์เสริม

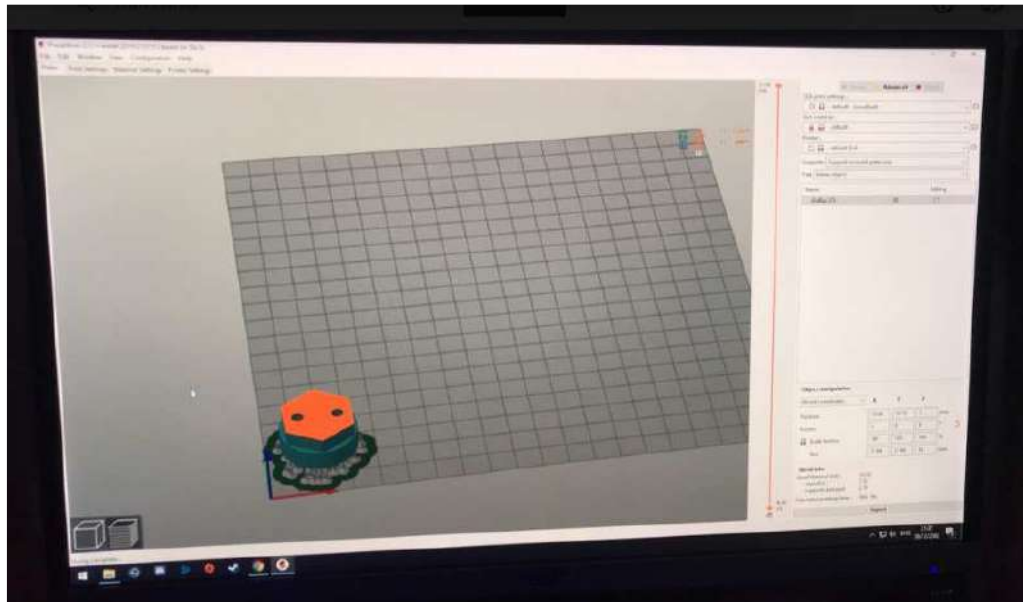
อุปกรณ์เสริมที่ได้จากการออกแบบ ประกอบไปด้วยชิ้นส่วนทั้งหมด 11 ชิ้นส่วน เมื่อนำมาประกอบกันแล้วจะมีลักษณะ แสดงดังภาพ 4.1



ภาพ 4.1 ผลการออกแบบอุปกรณ์เสริม

## 4.2 ผลการขึ้นรูปชิ้นส่วนตัวอย่างด้วย 3D Printer

ชิ้นส่วนอุปกรณ์เสริมที่ออกแบบโดยใช้โปรแกรมโซลิดวอร์ค (Solidwork) จะถูกนำไปแปลงเป็นโค้ดนามสกุล .STL โดยใช้โปรแกรม Prusa3D แสดงดังภาพ 4.2 จากนั้นจึงจะสามารถนำไปขึ้นรูปด้วยเครื่อง 3D Printer แสดงดังภาพ 4.3 โดยชิ้นส่วนที่ได้จากการขึ้นรูป แสดงดังภาพ 4.4



ภาพ 4.2 แปลงโค้ดโดยโปรแกรม Prusa3D



ภาพ 4.3 ขึ้นรูปชิ้นส่วนโดยเครื่อง 3D Printer



ภาพ 4.4 ชิ้นส่วนที่ได้จากการขึ้นรูป

ชิ้นส่วนที่ได้จากการขึ้นรูปเมื่อนำไปประกอบเข้ากับหุ่นยนต์แล้วพบว่าขนาดของชิ้นส่วนระยะ องศาของชิ้นส่วนยังไม่ได้ขนาดตามที่ต้องการและยังมีข้อผิดพลาด จึงต้องมีการปรับปรุงรูปแบบของชิ้นส่วนอุปกรณ์เสริมใหม่เพื่อแก้ปัญหาข้อผิดพลาด

#### 4.3 ผลการผลิตชิ้นงาน

หลังจากการปรับปรุงรูปแบบชิ้นส่วนอุปกรณ์เสริมจนได้ชิ้นส่วนต้นแบบ และสั่งผลิตชิ้นงานจริงทั้ง 11 ชิ้นส่วน ได้ผลลัพธ์ใกล้เคียงกับที่ออกแบบเอาไว้ ซึ่งจะมีบางตำแหน่งของชิ้นส่วนที่มีความคลาดเคลื่อนกับต้นแบบ อันเนื่องมาจากข้อจำกัดในการผลิตชิ้นงานของโรงงาน ทางผู้วิจัยจึงนำมาปรับแก้ไขด้วยเครื่องจักรและอุปกรณ์ภายในโรงงานของภาควิชาวิศวกรรมอุตสาหการ แสดงดังภาพ 4.5 เมื่อนำชิ้นงานที่ผ่านการปรับแก้ไขแล้วมาประกอบเข้ากับหุ่นยนต์ แสดงดังภาพ 4.6



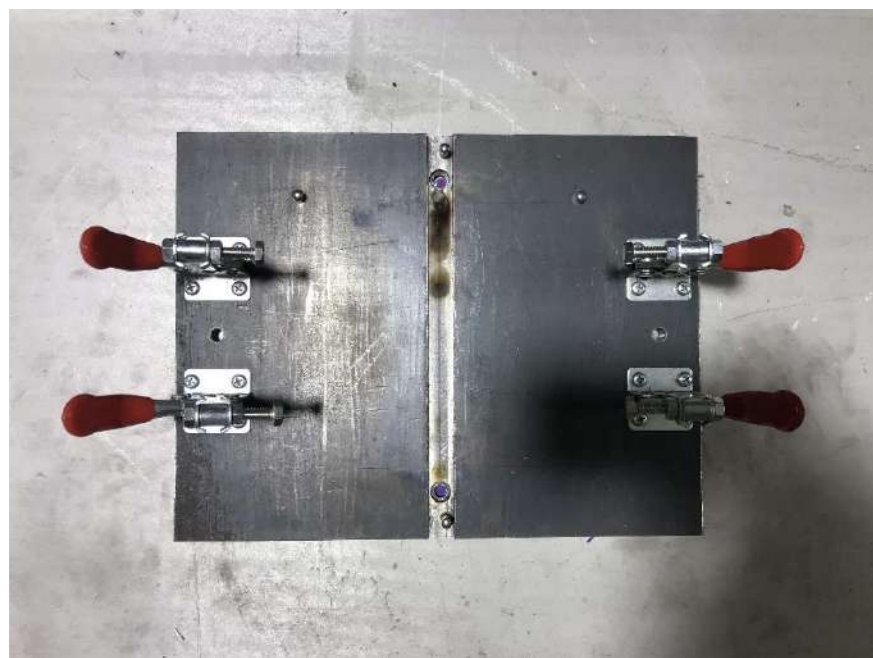
ภาพ 4.5 ปรับแก้ไขชิ้นส่วนอุปกรณ์เสริม



ภาพ 4.6 ประกอบขึ้นส่วนเข้ากับหุ่นยนต์

#### 4.4 ประกอบตัวจับยึดชิ้นงานเข้ากับโต๊ะ

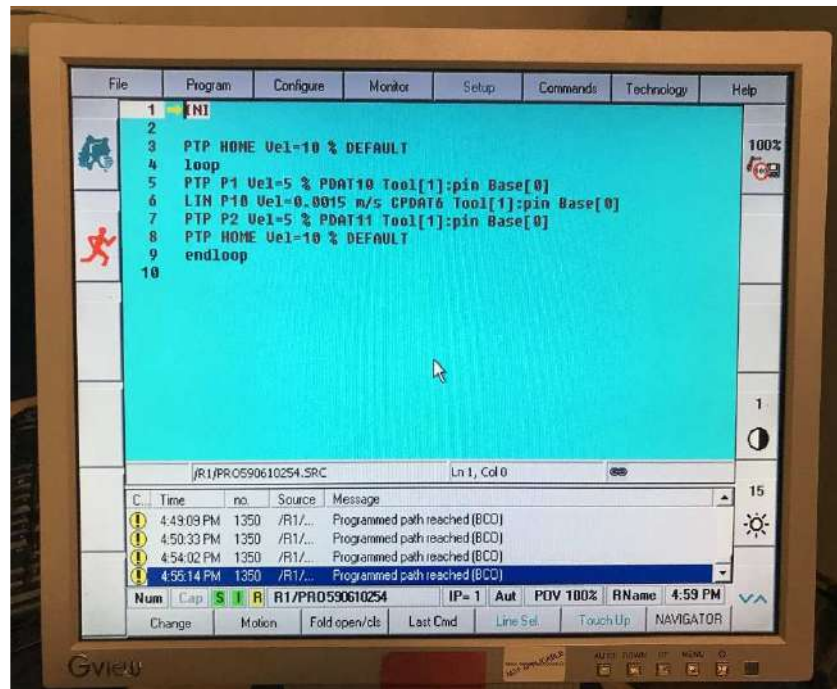
ตัวจับยึดชิ้นงานที่ประกอบเข้ากับโต๊ะเชื่อมแล้ว แสดงดังภาพ 4.7



ภาพ 4.7 ประกอบตัวจับยึดชิ้นงาน

#### 4.5 เขียนโปรแกรมควบคุมหุ่นยนต์

เมื่อศึกษาวิธีการใช้งานโปรแกรม KUKA HMI 2.0 และทำการทดลองควบคุมหุ่นยนต์ให้เคลื่อนที่ตามคำสั่งในรูปแบบต่าง ๆ จนสามารถเขียนโปรแกรมควบคุมหุ่นยนต์ที่จะใช้ในการทดลอง เชื่อมแบบอัตโนมัติ แสดงดังภาพ 4.8



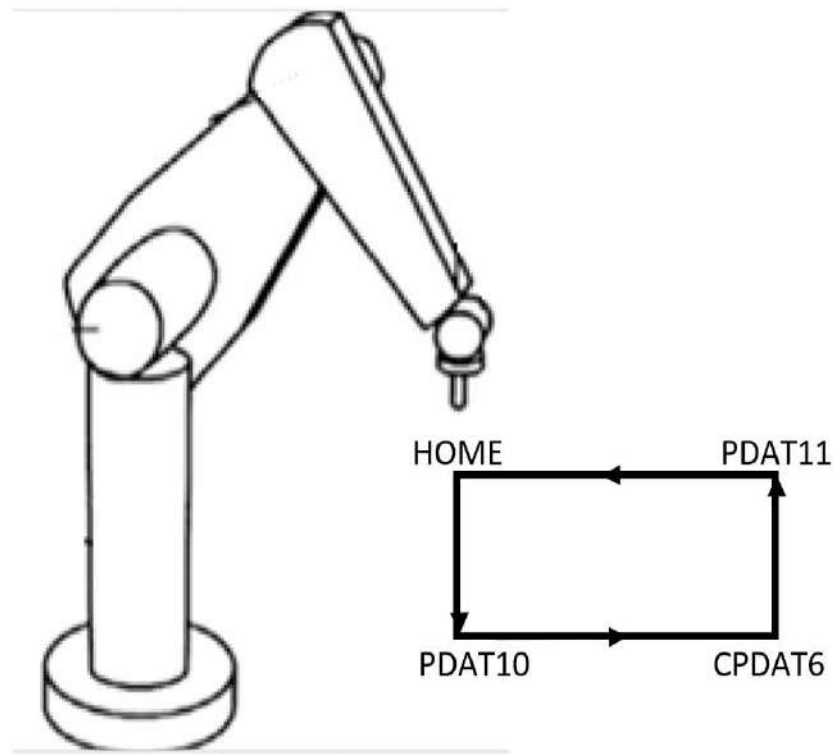
ภาพ 4.8 โปรแกรมเชื่อมอัตโนมัติ

โดยโปรแกรมอัตโนมัติจะมีลำดับขั้นการทำงานอยู่ 5 ลำดับ จากภาพ 4.8 จะแสดงให้เห็นถึงลำดับการทำงานของโปรแกรม มีรายละเอียดดังนี้

1. สั่งการให้หุ่นยนต์เคลื่อนที่ไปยังตำแหน่ง HOME ด้วยความเร็ว 10 เปอร์เซ็นต์ โดยตัวแปร HOME จะเก็บค่าตำแหน่งปลดภัยที่ตั้งค่าไว้
2. สั่งการให้หัวเชื่อมเคลื่อนที่ไปยังตำแหน่ง PDAT10 ด้วยความเร็ว 5 เปอร์เซ็นต์ โดยตัวแปร PDAT 10 จะเก็บค่าตำแหน่งปลายทางเอาไว้
3. สั่งการให้หัวเชื่อมเคลื่อนที่ไปยังตำแหน่ง CPDAT6 ด้วยความเร็วในการเชื่อม ตามปัจจัยที่กำหนด หน่วยเป็นเมตรต่อวินาที โดยตัวแปร CPDAT6 จะเก็บค่าตำแหน่งปลายทางเอาไว้
4. สั่งการให้หัวเชื่อมเคลื่อนที่ไปยังตำแหน่ง PDAT11 ด้วยความเร็ว 5 เปอร์เซ็นต์ โดยตัวแปร PDAT 11 จะเก็บค่าตำแหน่งปลายทางเอาไว้

5. สั่งการให้หุ่นยนต์เคลื่อนที่กลับไปยังตำแหน่ง HOME ด้วยความเร็ว 10 เปอร์เซ็นต์ โดยตัวแปร HOME จะเก็บค่าตำแหน่งปลอดภัยที่ตั้งค่าไว้

โดยทิศทางของการเคลื่อนที่ของหัวเชื่อมแบบอัตโนมัติของหุ่นยนต์ที่เขียนโปรแกรมเอาไว้ใน KUKA HMI 2.0 จะมีลักษณะการเคลื่อนที่ แสดงดังภาพ 4.9



ภาพ 4.9 การเคลื่อนที่ของหัวเชื่อม

#### 4.6 ผลการเชื่อมชิ้นงานจริง

ชิ้นงานที่ได้จากการเชื่อมโลหะแบบแก๊สทั้งสตูนอาร์คอัตโนมัติ จำนวน 16 แผ่น ได้ร้อยเชื่อมที่สวยงาม บ่อหลอมละลายสม่ำเสมอ กันมีลักษณะแสดงดังภาพ 4.10 และ ภาพ 4.11 โดยจะถูกนำไปตัดด้วยเครื่อง Waterjet เพื่อเตรียมชิ้นงานก่อนการนำไปทดสอบแรงดึง (Tensile Test)



ภาพ 4.10 ชิ้นงานที่ผ่านการเชื่อมแล้ว



ภาพ 4.11 ชิ้นงานที่ผ่านการเชื่อมแล้วทั้งหมด

#### 4.7 เตรียมชิ้นงานก่อนการทดสอบแรงดึง

ก่อนที่จะนำชิ้นงานไปทดสอบแรงดึงน้ำ จะต้องทำการลดรูปชิ้นงานให้ได้ตามมาตรฐาน มอก. 2172 เล่ม 1-2556 ที่ได้กำหนดไว้ โดยงานวิจัยฉบับนี้จะใช้เครื่อง Waterjet ใน การลดรูปชิ้นงาน เพื่อให้ได้ขนาดตามมาตรฐานที่กำหนดไว้ และยังไม่ก่อให้เกิดความร้อนแก่ชิ้นงานที่จะส่งผลเสียต่อ การทดสอบความแข็งแรงต่อแรงดึงของชิ้นงาน แสดงดังภาพ 4.12 และภาพ 4.13



ภาพ 4.12 ชิ้นทดสอบที่ผ่านการลดรูปแล้ว



ภาพ 4.13 ชิ้นทดสอบที่ผ่านการลดรูปแล้วทั้งหมด

#### 4.8 ผลการทดสอบแรงดึง

เมื่อนำขั้นงานที่ผ่านการลดรูปด้วยเครื่อง Waterjet และมาทำการทดสอบแรงดึงด้วยปัจจัยต่าง ๆ ได้ผล แสดงดังตาราง 4.1 และภาพ 4.14

ตาราง 4.1 ผลทดสอบแรงดึงที่จะได้จากการออกแบบทดลองแบบฟูลแฟลกทอเรียล

Standard Order	Run Order	ปัจจัย			Tensile Stress (MPa)
		A (ลิตรต่อนาที)	B (แเอมแปร์)	C (มิลลิเมตรต่อวินาที)	
10	1	11	80	1.5	141.917
5	2	9	80	2.5	88.741
12	3	11	100	1.5	397.589
13	4	9	80	2.5	139.418
6	5	11	80	2.5	70.228
11	6	9	100	1.5	294.562
9	7	9	80	1.5	194.771
7	8	9	100	2.5	115.074
1	9	9	80	1.5	150.009
16	10	11	100	2.5	119.902
3	11	9	100	1.5	287.463
8	12	11	100	2.5	171.991
4	13	11	100	1.5	437.329
2	14	11	80	1.5	191.609
15	15	9	100	2.5	161.416
14	16	11	80	2.5	84.168

จากตาราง 4.1 พบว่าค่าที่วัดได้จากการทดสอบแรงดึงมีค่าเฉลี่ยอยู่ที่ 181.517 เมกะปาสกาล และค่าสูงสุดที่วัดได้คือ 437.329 เมกะปาสกาล



ภาพ 4.14 ขั้นตอนการทดสอบแรงดึง

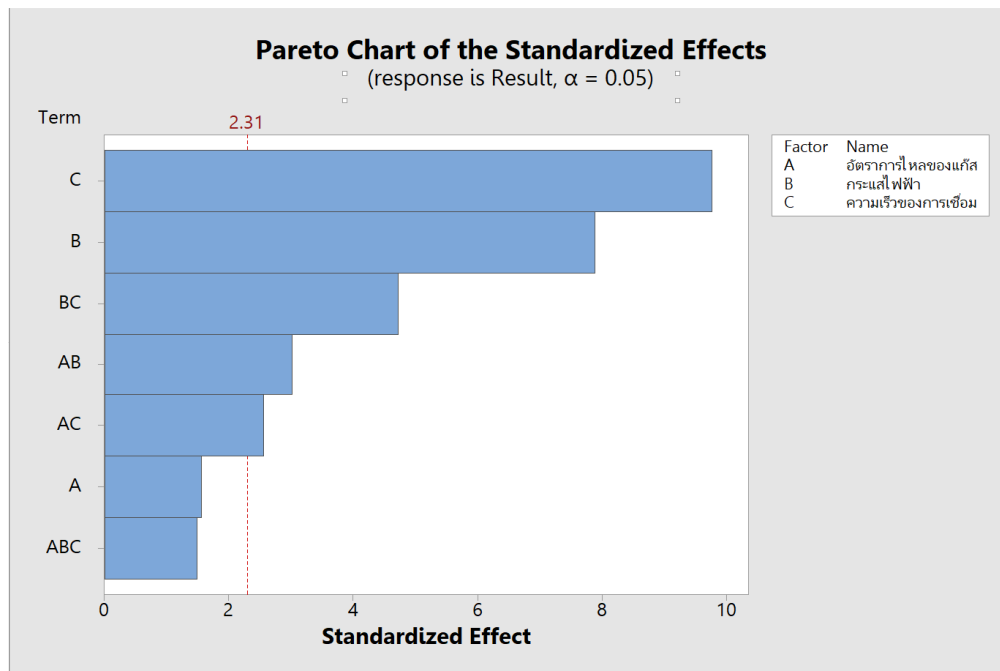
#### 4.9 ผลการออกแบบการทดลองแบบฟูลแฟคทอเรียล

ในขณะนี้ได้นำผลการทดสอบแรงดึงจากระดับปัจจัยต่าง ๆ มาทำการวิเคราะห์ทางสถิติด้วยโปรแกรมมินิแทบ (Minitab) โดยหลังจากที่โปรแกรมได้วิเคราะห์ทางสถิติแล้วจึงได้ทำการผลoth (Plot) กราฟและสร้างตารางการวิเคราะห์ออกมาเพื่อแปลผลการทดลอง

##### 4.9.1 กราฟ Pareto Chart of the Standardized Effects

จากการ Plot Pareto Chart of the Standardized Effects ที่ได้ ชี้ผลตอบ คือค่าความเค้นที่เกิดขึ้น แสดงดังภาพ 4.15 ทำให้ทราบว่าปัจจัยใดที่มีผลอย่างมีนัยสำคัญต่อค่าความเค้นตกค้าง ที่ระดับนัยสำคัญ  $\alpha = 0.05$  โดยปัจจัยที่มีผลอย่างมีนัยสำคัญต่อค่าความแข็งแรงต่อแรงดึง มีจำนวน 6 ปัจจัย คือ

1. อัตราการไหลของแก๊ส (A)
2. กระแสไฟฟ้า (B)
3. ความเร็วของการเชื่อม (C)
4. อันตรกิริยาของอัตราการไหลของแก๊สและกระแสไฟฟ้า (AB)
5. อันตรกิริยาของอัตราการไหลของแก๊สและความเร็วของการเชื่อม (AC)
6. อันตรกิริยาของกระแสไฟฟ้าและความเร็วของการเชื่อม (BC)



ภาพ 4.15 กราฟ Pareto Chart of the Standardized Effects

#### 4.9.2 ผลจากการวิเคราะห์ Factorial Fit

จากภาพ 4.16 เมื่อพิจารณา P-Value ของปัจจัยกระแสไฟฟ้า (B) ความเร็วในการเชื่อม (C) อันตรกิริยาของอัตราการไฟล์ของแก๊สและกระแสไฟฟ้า (AB) อันตรกิริยาของอัตราการไฟล์ของแก๊ส และความเร็วของการเชื่อม (AC) อันตรกิริยาของกระแสไฟฟ้าและความเร็วของการเชื่อม (BC) พบว่า ค่าที่ได้มีค่าเท่ากับ 0.000 0.000 0.017 0.034 และ 0.002 ตามลำดับ ซึ่งมีค่าน้อยกว่าค่าระดับนัยสำคัญ  $\alpha = 0.05$  และว่าปัจจัยดังกล่าวมีผลอย่างมีนัยสำคัญต่อค่าความแข็งแรงต่อแรงดึง แต่เนื่องด้วยการที่ ปัจจัยอันตรกิริยาของอัตราการไฟล์ของแก๊สและกระแสไฟฟ้า (AB) และอันตรกิริยาของอัตราการไฟล์ ของแก๊สและความเร็วของการเชื่อม (AC) มีผลอย่างมีนัยสำคัญ จึงทำให้ปัจจัยอัตราการไฟล์ของแก๊ส (A) มีผลอย่างมีนัยสำคัญด้วย

เมื่อพิจารณาค่าสัมประสิทธิ์ของการตัดสินใจ ( $R^2$ ) พบว่าค่าที่ได้มีค่าเท่ากับ 96.16 เปอร์เซ็นต์ ซึ่งหลังจากได้ปรับค่าของสัมประสิทธิ์ของการตัดสินใจแล้ว จะได้ค่า ( $R^2\text{-adj}$ ) เท่ากับ 92.80 เปอร์เซ็นต์ ซึ่งค่า ( $R^2\text{-adj}$ ) นี้มีค่าเข้าใกล้ 100 เปอร์เซ็นต์ หมายความว่าแบบจำลองนี้มีความสามารถที่ดีมากในการ อธิบายผลที่เกิดขึ้น และสามารถนำไปสร้างสมการทดถอยเพื่อหาค่าที่เหมาะสมได้อย่างถูกต้อง

## Model Summary

S	R-sq	R-sq(adj)	R-sq(pred)
29.2894	96.16%	92.80%	84.63%

## Coded Coefficients

Term	Effect	Coef	SE Coef	T-Value
Constant		190.39	7.32	26.00
อัตราการไฟฟ้าของแก๊ส	22.91	11.45	7.32	1.56
กระแสไฟฟ้า	115.56	57.78	7.32	7.89
ความเร็วของการเชื่อม	-143.04	-71.52	7.32	-9.77
อัตราการไฟฟ้าของแก๊ส * กระแสไฟฟ้า	44.16	22.08	7.32	3.02
อัตราการไฟฟ้าของแก๊ส * ความเร็วของการเชื่อม	-37.50	-18.75	7.32	-2.56
กระแสไฟฟ้า * ความเร็วของการเชื่อม	-69.10	-34.55	7.32	-4.72
อัตราการไฟฟ้าของแก๊ส * กระแสไฟฟ้า * ความเร็วของการเชื่อม	-21.87	-10.94	7.32	-1.49

Term	P-Value	VIF
Constant	0.000	
อัตราการไฟฟ้าของแก๊ส	0.156	1.00
กระแสไฟฟ้า	0.000	1.00
ความเร็วของการเชื่อม	0.000	1.00
อัตราการไฟฟ้าของแก๊ส * กระแสไฟฟ้า	0.017	1.00
อัตราการไฟฟ้าของแก๊ส * ความเร็วของการเชื่อม	0.034	1.00
กระแสไฟฟ้า * ความเร็วของการเชื่อม	0.002	1.00
อัตราการไฟฟ้าของแก๊ส * กระแสไฟฟ้า * ความเร็วของการเชื่อม	0.174	1.00

ภาพ 4.16 ผลการวิเคราะห์ Factorial Fit

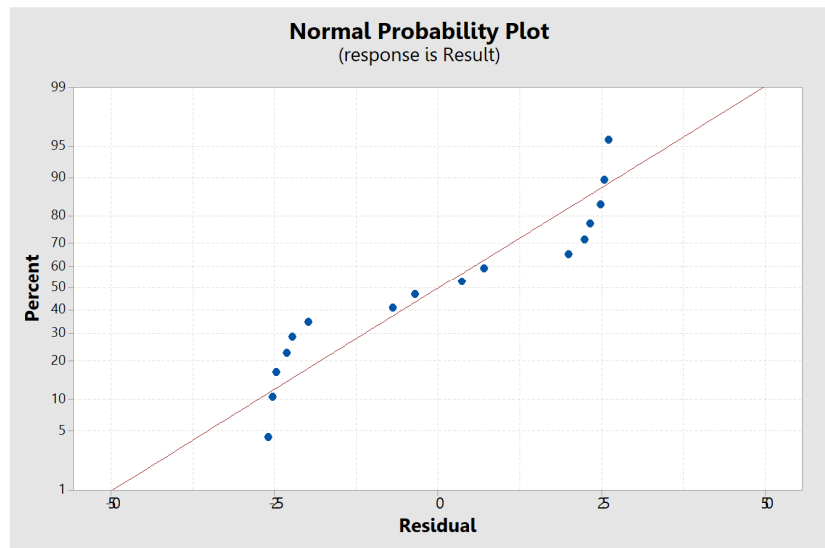
### 4.9.3 การตรวจสอบความถูกต้องของแบบจำลอง

ในขั้นตอนนี้จะต้องทำการตรวจสอบความถูกต้องของแบบจำลองก่อนนำแบบจำลองไปใช้งานว่ามีความเหมาะสมหรือไม่โดยมีหลักอยู่ 3 ประการคือ

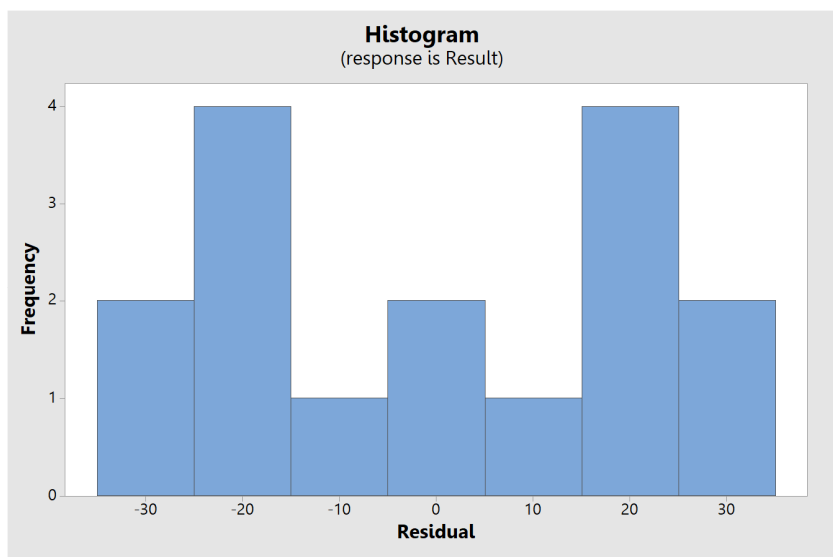
1. ตรวจสอบว่าข้อมูลส่วนตกลค้างมีการกระจายตัวแบบปกติจากการสร้างกราฟ Normal Probability Plot และดังภาพ 4.17 พบร้าข้อมูลมีแนวโน้มเป็นเส้นตรง ไม่มีจุดใด ๆ ออกนอกเส้นตรง เนื่องจากจุดของส่วนตกลค้างมีการเรียงตัวกันในลักษณะที่เป็นแนวเส้นตรงจึงสรุปได้ว่ามีแนวโน้มการกระจายตัวแบบปกติ และจากราฟฮีสโตแกรม (Histogram) แสดงดังภาพ 4.18 พบร้ามีการกระจายตัวของส่วนตกลค้างในทุกช่วงของกราฟฮีสโตแกรม (Histogram) จึงสรุปได้ว่าค่าเฉลี่ยเข้าใกล้ศูนย์

2. ตรวจสอบว่าส่วนตกลค้างต้องมีความแปรปรวนคงตัวจากการสร้างกราฟ Versus Fits และดังภาพ 4.19 พบร้าส่วนตกลค้างมีการกระจายอย่างสม่ำเสมอและไม่มีรูปแบบแนวโน้มที่ชัดเจน จึงสรุปได้ว่าส่วนตกลค้างมีการกระจายตัวอิสระ

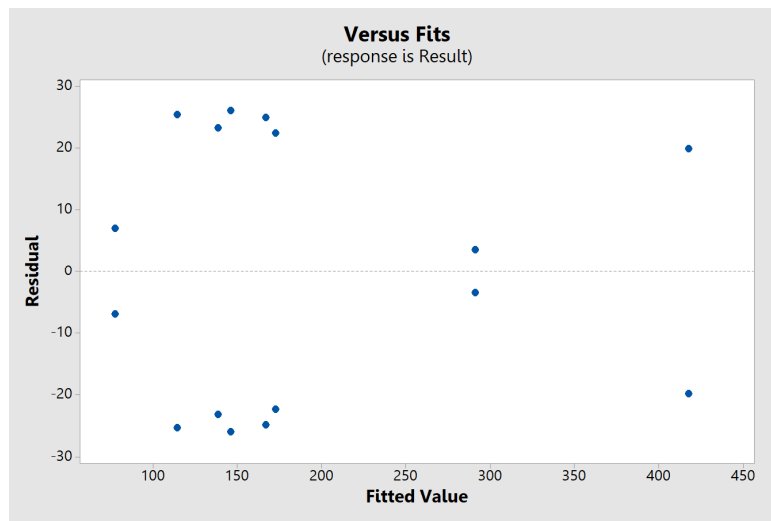
3. ตรวจสอบว่าส่วนตกลงค้างต้องมีการกระจายตัวเป็นอิสระจากการสร้างกราฟ Versus Order แสดงดังภาพ 4.20 พบร่วมกับมีการกระจายอย่างสม่ำเสมอและไม่มีรูปแบบแนวโน้มที่ชัดเจน จึงสรุปได้ว่าส่วนตกลงค้างมีการกระจายตัวอิสระไม่ขึ้นอยู่กับลำดับการทดลอง



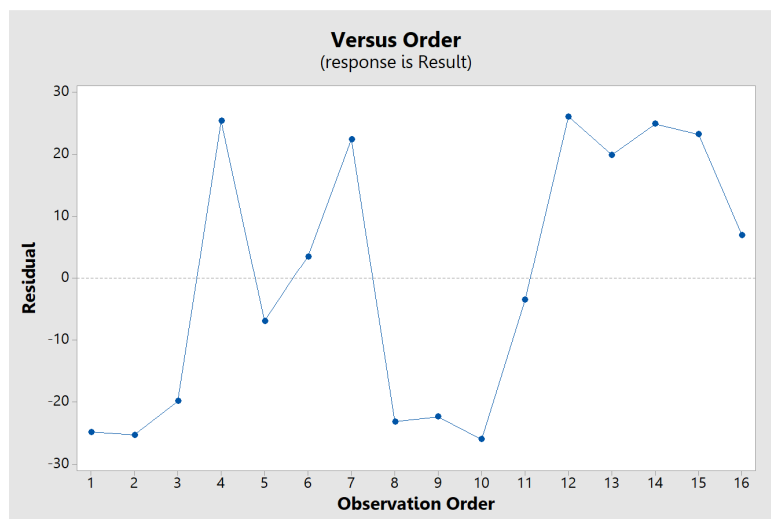
ภาพ 4.17 กราฟ Normal Probability Plot



ภาพ 4.18 กราฟ Histogram



ภาพ 4.19 กราฟ Versus Fit



ภาพ 4.20 กราฟ Versus Order

สรุปผลการออกแบบการทดลองแบบฟูลแฟคทอเรียล พบร่วมปัจจัยที่มีผลอย่างมีนัยสำคัญต่อค่าความแข็งแรงจ่อแรงดึง ที่ระดับนัยสำคัญ  $\alpha = 0.05$  มีจำนวน 6 ปัจจัย คือ

1. อัตราการไหลของแก๊ส (A)
2. กระแสไฟฟ้า (B)
3. ความเร็วของการเชื่อม (C)
4. อันตรกิริยาของอัตราการไหลของแก๊สและกระแสไฟฟ้า (AB)
5. อันตรกิริยาของอัตราการไหลของแก๊สและความเร็วของการเชื่อม (AC)
6. อันตรกิริยาของกระแสไฟฟ้าและความเร็วของการเชื่อม (BC)

#### 4.10 การหาค่าที่เหมาะสมที่สุด

การหาค่าความแข็งแรงต่อแรงดึงของรอยเชื่อมที่เกิดจากการเชื่อมโลหะแบบแก๊สทั้งสิบเอ็ด วิธีการที่เหมาะสมที่สุด โดยใช้ฟังก์ชัน Response Optimizer ของโปรแกรม Minitab ซึ่งเป็นฟังก์ชันในการหาค่าที่เหมาะสมที่สุดของปัจจัยโดยค่าความพึงพอใจรวมจะมีค่าอยู่ระหว่าง 0 - 1 หากค่าความพึงพอใจโดยรวมมีค่าใกล้เคียง 1 แสดงว่ามีความพึงพอใจอย่างสมบูรณ์ โดยในงานวิจัยฉบับนี้ได้เลือกค่าเป้าหมาย (Goal) เป็นค่าเป้าหมายที่ต้องการ (Target) โดยกำหนดค่าเป้าหมายที่ต้องการไว้ที่  $437.329 \pm 25$  เมกะปาสคอล เนื่องจากเป็นค่าความแข็งแรงต่อแรงดึงที่มากที่สุดจากผลการออกแบบการทดลองแบบฟูลแฟคทอเรียลตามตารางที่ 4.1

จากการวิเคราะห์พบว่ากระแสไฟฟ้าคราวใช้ค่า 100 แอมเปอร์ และความเร็วในการเชื่อมควรใช้ค่า 1.5 มิลลิเมตรต่อวินาที เพื่อให้ได้ค่าความแข็งแรงต่อแรงดึงคือ 417.459 เมกะปาสคอล โดยมีค่าความพึงพอใจ (Desirability) อยู่ที่ 0.945873 แสดงดังภาพ 4.21 และภาพ 4.22

โดยค่าความแข็งแรงต่อแรงดึงที่คำนวณได้คือ 417.459 เมกะปาสคอล ซึ่งค่าที่ได้นี้มีค่าน้อยกว่าค่าที่ได้จากการออกแบบการทดลองแบบฟูลแฟคทอเรียลตามตาราง 4.1 คือ 437.329 เมกะปาสคอล อันเนื่องมาจากการคำนวณที่อาจจะมีเบอร์เซ็นต์ค่าความผิดพลาดແงายอยู่

#### Response Optimization: Result

##### Parameters

Response	Goal	Lower	Target	Upper	Weight	Importance
Result	Maximum	70.228	437.329		1	1

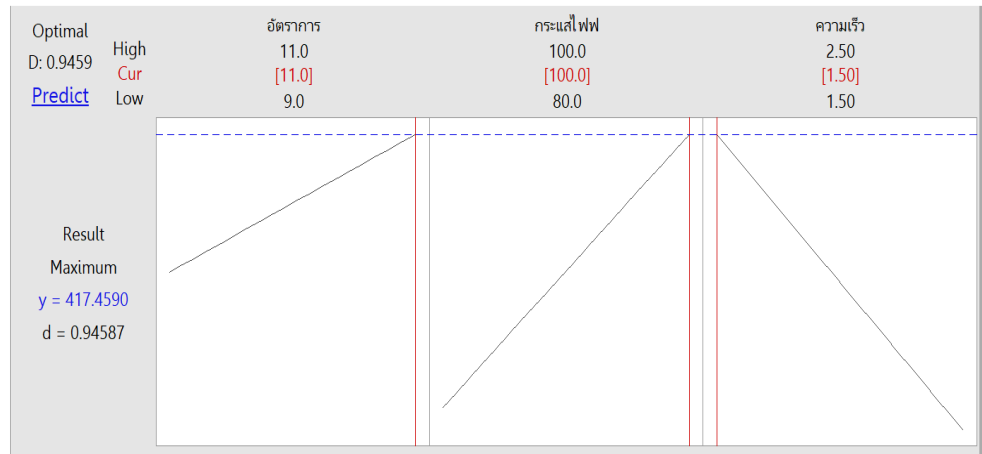
##### Solution

Solution	อัตราการไหล	ความเร็ว			Result	Composite Desirability
	ของแก๊ส	กระแสไฟฟ้า	ของการเชื่อม	Fit		
1	11	100	1.5	417.459	0.945873	

##### Multiple Response Prediction

Variable	Setting
อัตราการไหลของแก๊ส	11
กระแสไฟฟ้า	100
ความเร็วของการเชื่อม	1.5
Response	Fit SE Fit 95% CI 95% PI
Result	417.5 20.7 (369.7, 465.2) (334.7, 500.2)

ภาพ 4.21 ผลการวิเคราะห์ค่าที่เหมาะสมที่สุด



ภาพ 4.22 ค่าที่เหมาะสมที่สุดของแต่ละปัจจัย

## บทที่ 5

### สรุปผล และข้อเสนอแนะ

ในการออกแบบอุปกรณ์เสริมเพื่อให้หุ่นยนต์แขนกลสามารถเชื่อมแบบแก๊สทั้งสเตนอาร์ค อัตโนมัติได้ ตั้งแต่ต้นจนจบการดำเนินการตลอดจนนำไปใช้ผลการวิเคราะห์ ทางผู้วิจัยได้รับเทคนิค และประสบการณ์ด้านต่าง ๆ โดยผลการทำวิจัยและผลการทดลองที่ได้ออกมาอยู่ในระดับที่น่าพอใจ

#### 5.1 การสรุปผล

งานวิจัยนี้มุ่งเน้นเพื่อออกแบบอุปกรณ์เสริมและติดตั้งเข้ากับหุ่นยนต์แขนกลให้สามารถเชื่อมอัตโนมัติได้ และเพื่อให้แขนกลสามารถเชื่อมชิ้นงานอัตโนมัติได้ตามมาตรฐานการทดสอบความแข็งแรงต่อแรงดึงของรอยเชื่อม (มอก. 2172 เล่ม 1-2556) ซึ่งการวิเคราะห์หาระดับของความแข็งแรงต่อแรงดึงของรอยเชื่อมทำให้ทราบถึงความสัมพันธ์ระหว่างปัจจัยในการเชื่อมที่มีผลต่อความแข็งแรงของรอยเชื่อม โดยในงานวิจัยนี้จะใช้การออกแบบการทดลองแบบฟูลแฟคทอเรียล และการวิเคราะห์ทางสถิติตัวอย่างโปรแกรมมินิแทบ (Minitab) ในการที่จะคัดเลือกปัจจัยที่เกี่ยวข้องซึ่งส่งผลกระทบต่อความแข็งแรงต่อแรงดึงของรอยเชื่อม และหากค่าที่เหมาะสมที่สุดของปัจจัย

จากการออกแบบอุปกรณ์เสริมและนำไปติดตั้งเข้ากับหุ่นยนต์แขนกล พบร่วมกับหุ่นยนต์สามารถติดตั้งอุปกรณ์เชื่อมแบบแก๊สทั้งสเตนอาร์คได้ โดยอุปกรณ์มีความแข็งแรงทนทานสามารถนำไปใช้ในงานเชื่อมแบบแก๊สทั้งสเตนอาร์คอัตโนมัติได้เป็นอย่างดี

จากการออกแบบการทดลองแบบฟูลแฟคทอเรียล (2 Full Factorial Design) โดยผลของการทดลอง คือ ความแข็งแรงต่อแรงดึงของรอยเชื่อมภายหลังจากการเชื่อมโดยแบบแก๊สทั้งสเตนอาร์คซึ่งนำเข้า 3 ปัจจัย คือ

1. อัตราการไหลของแก๊ส
2. กระแสไฟฟ้า
3. ความเร็วในการเชื่อม

กำหนดให้แต่ละปัจจัยมี 2 ระดับคือระดับสูงและระดับต่ำที่ระดับนัยสำคัญ  $\alpha = 0.05$  พบร่วมกันจัดที่มีผลอย่างมีนัยสำคัญต่อค่าความแข็งแรงต่อแรงดึง คือ

1. อัตราการไฟลของแก๊ส (A)
2. กระแสไฟฟ้า (B)
3. ความเร็วของการเชื่อม (C)
4. อันตรกิริยาของอัตราการไฟลของแก๊สและกระแสไฟฟ้า (AB)
5. อันตรกิริยาของอัตราการไฟลของแก๊สและความเร็วของการเชื่อม (AC)
6. อันตรกิริยาของกระแสไฟฟ้าและความเร็วของการเชื่อม (BC)

หลังการหาค่าความแข็งแรงต่อแรงดึงของรอยเชื่อมที่เกิดจากการเชื่อมโลหะแบบแก๊สทั้งสิบเอ็ด กรณีที่เหมาะสมที่สุด จากการวิเคราะห์พบว่ากระแสไฟฟ้าควรใช้ค่า 100 แอมเปอร์ และความเร็วในการเชื่อมควรใช้ค่า 1.5 มิลลิเมตรต่อวินาที เพื่อให้ได้ค่าความแข็งแรงต่อแรงดึงคือ 417.459 เมกะปascal โดยมีค่าความพึงพอใจ (Desirability) อยู่ที่ 0.945873

## 5.2 ปัญหาที่ส่งผลในการดำเนินโครงการวิจัย

1. ก่อนดำเนินการวิจัยทุนยังไม่ในภาควิชาชีวกรรมอุตสาหการยังไม่สามารถใช้การได้ ต้องรอช่างผู้ชำนาญการมาซ้อมแซมและติดตั้งโปรแกรม
2. ทุนยังไม่ในภาควิชาชีวกรรมอุตสาหการยังไม่ผู้ชำนาญในการใช้งานน้อย ผู้วิจัยจะต้องศึกษาค้นคว้าวิธีการใช้งานและควบคุมด้วยตนเอง
3. การสั่งผลิตอุปกรณ์เสริม มีความล่าช้าอันเนื่องมาจากการติดต่อสื่อสารกับทางโรงงาน จะต้องมีระเบียบเป็นขั้นตอนของโรงงาน และต้องใช้เวลาในการพิจารณาอนุมูลค่าของชิ้นงานว่า เหมาะสมแก่การผลิตหรือไม่
4. ระบบไฟฟ้าในห้องดำเนินการวิจัยมีเหตุขัดข้องที่ส่งผลทำให้ไม่สามารถดำเนินการวิจัยได้โดยมีช่างผู้ชำนาญการมาตรวจสอบ แต่ไม่พบทราบสาเหตุของปัญหา โดยผู้วิจัยจะต้องคิดหาวิธีแก้ไขปัญหาเพื่อดำเนินการวิจัยต่อไป

## 5.3 ข้อเสนอแนะ

- 5.3.1 ในการออกแบบอุปกรณ์เพื่อนำมาผลิตใช้งานนั้น ควรที่จะคำนึงถึงมูลค่าของวัสดุที่จะนำมาใช้ผลิตอุปกรณ์

5.3.2 ควรที่จะศึกษาการเชื่อมโลหะแบบแก๊สทั้งสตีลาร์ค (GTAW) ในเหล็กกล้าไร้สนิม เกรด AISI 316L ที่มีความหนาแตกต่างกันเพื่อดูว่าผลลัพธ์ที่ได้มีความแตกต่างกันอย่างไรบ้าง

5.3.3 ควรศึกษาการอุดแบบการทดลองก่อนดำเนินการทดลอง เพื่อให้การทดลอง ดำเนินการไปได้ด้วยความถูกต้องสมบูรณ์และรวดเร็ว

5.3.4 ควรศึกษาและฝึกฝนวิธีการควบคุมหุ่นยนต์แขนกลก่อนดำเนินการทดลอง เพื่อจะได้ ทราบถึงข้อจำกัดของหุ่นยนต์และสามารถประยุกต์การควบคุมได้

5.3.5 ศึกษาวิธีการทดสอบชิ้นงานก่อนทำการทดสอบ เพื่อให้เกิดความรวดเร็วในการใช้ เครื่องมือและห้องปฏิบัติการ

## บรรณานุกรม

- “การทดสอบแรงดึง”: บริษัท สหวิริยาสตีลอินดัสตรี จำกัด(มหาชน) อาคารประภาวิทย์ สร้างก่อ 28/1  
แขวง สีลม เขตบางรัก กรุงเทพมหานคร, 2556
- ปราเมศ ชูติมา, (2545). การออกแบบการทดลองทางวิศวกรรม. กรุงเทพฯ: โรงพิมพ์แห่งจุฬาลงกรณ์  
มหาวิทยาลัย
- ภาณุพงศ์ พัฒนสิน และชาคริต ถนา ความคื้นตกล้าและความแข็งจุลภาคของรอยเชื่อมเสียดทาน  
แบบกวนอลูมิเนียมต่างชนิด : ภาควิชาวิศวกรรมอุตสาหการ คณะวิศวกรรมศาสตร์  
มหาวิทยาลัยเชียงใหม่, 2561
- วัสดุโลหะ - การทดสอบแรงดึง “มอก. 2172 เล่ม 1-2556”: สำนักงานมาตรฐาน  
ผลิตภัณฑ์อุตสาหกรรม กระทรวงอุตสาหกรรม ถนนพระรามที่ 6 กรุงเทพมหานคร, 2556
- สรรวุฒิชัย ชีวสุทธิศิลป์. “กลยุทธ์การออกแบบการทดลองสำหรับวิศวกรรม”. เชียงใหม่ : บริษัทนันท  
พันธ์พริ้นติ้งจำกัด, 2557
- อดิเรก ใบสุขันธ์ การวิเคราะห์ระดับของความคื้นตกล้าในการเชื่อมโลหะแบบแก๊สทั้งสเตนอาร์คโดย  
การวิเคราะห์แบบไฟไนต์เอลิเมนต์ : บริษัท เชียงใหม่เมดเทคซิสเต็มส์ จำกัด, 2558
- อริวัฒน์ ไตรวัฒนาภรณ์ การวิเคราะห์ปัจจัยในกระบวนการเชื่อมลวดทองแดง : บริษัท เคอีซี  
(ประเทศไทย) จำกัด, 2553
- Milton H Hamilton, Gordon R. Sullivan. “U.S. Army Welding Manual”: Department of the  
Army, Washington, DC, 1993

## ภาคผนวก ก

### ขั้นงานที่ขึ้นรูปสำเร็จแล้ว

ขั้นงานที่ขึ้นรูปสำเร็จแล้วขั้นงานที่ 1

ขั้นงานที่ขึ้นรูปสำเร็จแล้วขั้นงานที่ 2

ขั้นงานที่ขึ้นรูปสำเร็จแล้วขั้นงานที่ 3

ขั้นงานที่ขึ้นรูปสำเร็จแล้วขั้นงานที่ 4

ขั้นงานที่ขึ้นรูปสำเร็จแล้วขั้นงานที่ 5

ขั้นงานที่ขึ้นรูปสำเร็จแล้วขั้นงานที่ 6

ขั้นงานที่ขึ้นรูปสำเร็จแล้วขั้นงานที่ 7

ขั้นงานที่ขึ้นรูปสำเร็จแล้วขั้นงานที่ 8

ขั้นงานที่ขึ้นรูปสำเร็จแล้วขั้นงานที่ 9



ภาพ ก-1 ชิ้นงานที่ขึ้นรูปสำเร็จแล้วชิ้นงานที่ 1



ภาพ ก-2 ชิ้นงานที่ขึ้นรูปสำเร็จแล้วชิ้นงานที่ 2



ภาพ ก-3 ชิ้นงานที่ขึ้นรูปสำเร็จแล้วชิ้นงานที่ 3



ภาพ ก-4 ชิ้นงานที่ขึ้นรูปสำเร็จแล้วชิ้นงานที่ 4



ภาพ ก-5 ชิ้นงานที่ขึ้นรูปสำเร็จแล้วชิ้นงานที่ 5



ภาพ ก-6 ชิ้นงานที่ขึ้นรูปสำเร็จแล้วชิ้นงานที่ 6



ภาพ ก-7 ชิ้นงานที่ขึ้นรูปสำเร็จแล้วชิ้นงานที่ 7



ภาพ ก-8 ชิ้นงานที่ขึ้นรูปสำเร็จแล้วชิ้นงานที่ 8



ภาพ ก-9 ชิ้นงานที่ขึ้นรูปสำเร็จแล้วชิ้นงานที่ 9

## ภาคผนวก ข

### ขั้นงานที่ผลิตสำเร็จแล้ว

ขั้นงานที่ผลิตสำเร็จแล้วขั้นงานที่ 1

ขั้นงานที่ผลิตสำเร็จแล้วขั้นงานที่ 2

ขั้นงานที่ผลิตสำเร็จแล้วขั้นงานที่ 3

ขั้นงานที่ผลิตสำเร็จแล้วขั้นงานที่ 4

ขั้นงานที่ผลิตสำเร็จแล้วขั้นงานที่ 5

ขั้นงานที่ผลิตสำเร็จแล้วขั้นงานที่ 6

ขั้นงานที่ผลิตสำเร็จแล้วขั้นงานที่ 7

ขั้นงานที่ผลิตสำเร็จแล้วขั้นงานที่ 8

ขั้นงานที่ผลิตสำเร็จแล้วขั้นงานที่ 9



ภาพ ข-1 ชิ้นงานที่ผลิตสำเร็จแล้วชิ้นงานที่ 1



ภาพ ข-2 ชิ้นงานที่ผลิตสำเร็จแล้วชิ้นงานที่ 2



ภาพ ข-3 ชิ้นงานที่ผลิตสำเร็จแล้วชิ้นงานที่ 3



ภาพ ข-4 ชิ้นงานที่ผลิตสำเร็จแล้วชิ้นงานที่ 4



ภาพ ข-5 ชิ้นงานที่ผลิตสำเร็จแล้วชิ้นงานที่ 5



ภาพ ข-6 ชิ้นงานที่ผลิตสำเร็จแล้วชิ้นงานที่ 6



ภาพ ข-7 ชิ้นงานที่ผลิตสำเร็จแล้วชิ้นงานที่ 7



ภาพ ข-8 ชิ้นงานที่ผลิตสำเร็จแล้วชิ้นงานที่ 8

## ภาคผนวก ค

### ขั้นทดสอบที่เข้มแล้ว

- ขั้นทดสอบที่เข้มแล้วขั้นงานที่ 1
- ขั้นทดสอบที่เข้มแล้วขั้นงานที่ 2
- ขั้นทดสอบที่เข้มแล้วขั้นงานที่ 3
- ขั้นทดสอบที่เข้มแล้วขั้นงานที่ 4
- ขั้นทดสอบที่เข้มแล้วขั้นงานที่ 5
- ขั้นทดสอบที่เข้มแล้วขั้นงานที่ 6
- ขั้นทดสอบที่เข้มแล้วขั้นงานที่ 7
- ขั้นทดสอบที่เข้มแล้วขั้นงานที่ 8
- ขั้นทดสอบที่เข้มแล้วขั้นงานที่ 9
- ขั้นทดสอบที่เข้มแล้วขั้นงานที่ 10
- ขั้นทดสอบที่เข้มแล้วขั้นงานที่ 11
- ขั้นทดสอบที่เข้มแล้วขั้นงานที่ 12
- ขั้นทดสอบที่เข้มแล้วขั้นงานที่ 13
- ขั้นทดสอบที่เข้มแล้วขั้นงานที่ 14
- ขั้นทดสอบที่เข้มแล้วขั้นงานที่ 15
- ขั้นทดสอบที่เข้มแล้วขั้นงานที่ 16



ชิ้นทดสอบที่เข้มแล้วชิ้นงานที่ 1



ชิ้นทดสอบที่เข้มแล้วชิ้นงานที่ 2



ชิ้นทดสอบที่เข้มแล้วชิ้นงานที่ 3



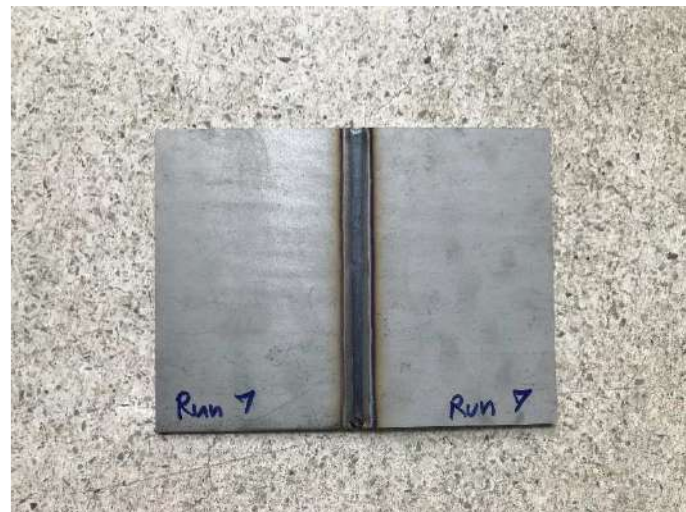
ชิ้นทดสอบที่เข้มแล้วชิ้นงานที่ 4



ชิ้นทดสอบที่เข้มแล้วชิ้นงานที่ 5



ชิ้นทดสอบที่เข้มแล้วชิ้นงานที่ 6



ชิ้นทดสอบที่เขื้อมแล้วชิ้นงานที่ 7



ชิ้นทดสอบที่เขื้อมแล้วชิ้นงานที่ 8



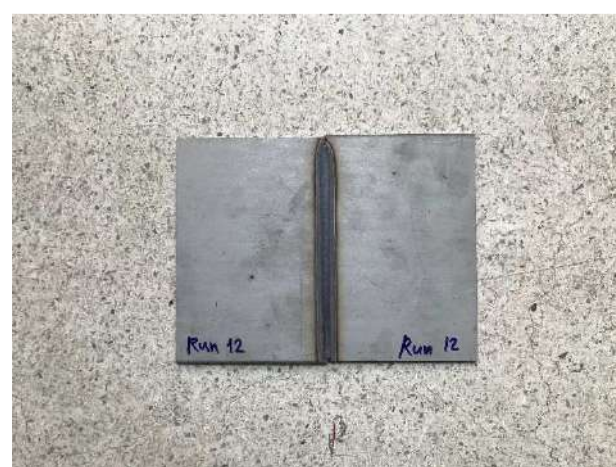
ชิ้นทดสอบที่เขื้อมแล้วชิ้นงานที่ 9



ชิ้นทดสอบที่เข้มแล้วชิ้นงานที่ 10



ชิ้นทดสอบที่เข้มแล้วชิ้นงานที่ 11



ชิ้นทดสอบที่เข้มแล้วชิ้นงานที่ 12



ขึ้นทดสอบที่เชื่อมแล้วชิ้นงานที่ 13



ขึ้นทดสอบที่เชื่อมแล้วชิ้นงานที่ 14



ขึ้นทดสอบที่เชื่อมแล้วชิ้นงานที่ 15



ชิ้นทดสอบที่เชื่อมแล้วชิ้นงานที่ 16

## ภาคผนวก ๔

### ขั้นทดสอบที่ลดรูปแล้ว

- ๑ ขั้นทดสอบที่ลดรูปแล้วขั้นงานที่ 1
- ๒ ขั้นทดสอบที่ลดรูปแล้วขั้นงานที่ 2
- ๓ ขั้นทดสอบที่ลดรูปแล้วขั้นงานที่ 3
- ๔ ขั้นทดสอบที่ลดรูปแล้วขั้นงานที่ 4
- ๕ ขั้นทดสอบที่ลดรูปแล้วขั้นงานที่ 5
- ๖ ขั้นทดสอบที่ลดรูปแล้วขั้นงานที่ 6
- ๗ ขั้นทดสอบที่ลดรูปแล้วขั้นงานที่ 7
- ๘ ขั้นทดสอบที่ลดรูปแล้วขั้นงานที่ 8
- ๙ ขั้นทดสอบที่ลดรูปแล้วขั้นงานที่ 9
- ๑๐ ขั้นทดสอบที่ลดรูปแล้วขั้นงานที่ 10
- ๑๑ ขั้นทดสอบที่ลดรูปแล้วขั้นงานที่ 11
- ๑๒ ขั้นทดสอบที่ลดรูปแล้วขั้นงานที่ 12
- ๑๓ ขั้นทดสอบที่ลดรูปแล้วขั้นงานที่ 13
- ๑๔ ขั้นทดสอบที่ลดรูปแล้วขั้นงานที่ 14
- ๑๕ ขั้นทดสอบที่ลดรูปแล้วขั้นงานที่ 15
- ๑๖ ขั้นทดสอบที่ลดรูปแล้วขั้นงานที่ 16
- ๑๗ ขั้นทดสอบที่ลดรูปแล้วทั้งหมด



ชิ้นทดสอบที่ลดรูปแล้วชิ้นงานที่ 1



ชิ้นทดสอบที่ลดรูปแล้วชิ้นงานที่ 2



ชิ้นทดสอบที่ลดรูปแล้วชิ้นงานที่ 3



ชิ้นทดสอบที่ลดรูปแล้วชิ้นงานที่ 4



ชิ้นทดสอบที่ลดรูปแล้วชิ้นงานที่ 5



ชิ้นทดสอบที่ลดรูปแล้วชิ้นงานที่ 6



ชิ้นทดสอบที่ล่อรูปแล้วชิ้นงานที่ 7



ชิ้นทดสอบที่ล่อรูปแล้วชิ้นงานที่ 8



ชิ้นทดสอบที่ล่อรูปแล้วชิ้นงานที่ 9



ขั้นทดสอบที่ลดรูปแล้วขึ้นงานที่ 10



ขั้นทดสอบที่ลดรูปแล้วขึ้นงานที่ 11



ขั้นทดสอบที่ลดรูปแล้วขึ้นงานที่ 12



ชิ้นทดสอบที่ลดรูปแล้วชิ้นงานที่ 13



ชิ้นทดสอบที่ลดรูปแล้วชิ้นงานที่ 14



ชิ้นทดสอบที่ลดรูปแล้วชิ้นงานที่ 15



ชิ้นทดสอบที่ลดรูปแล้วชิ้นงานที่ 16

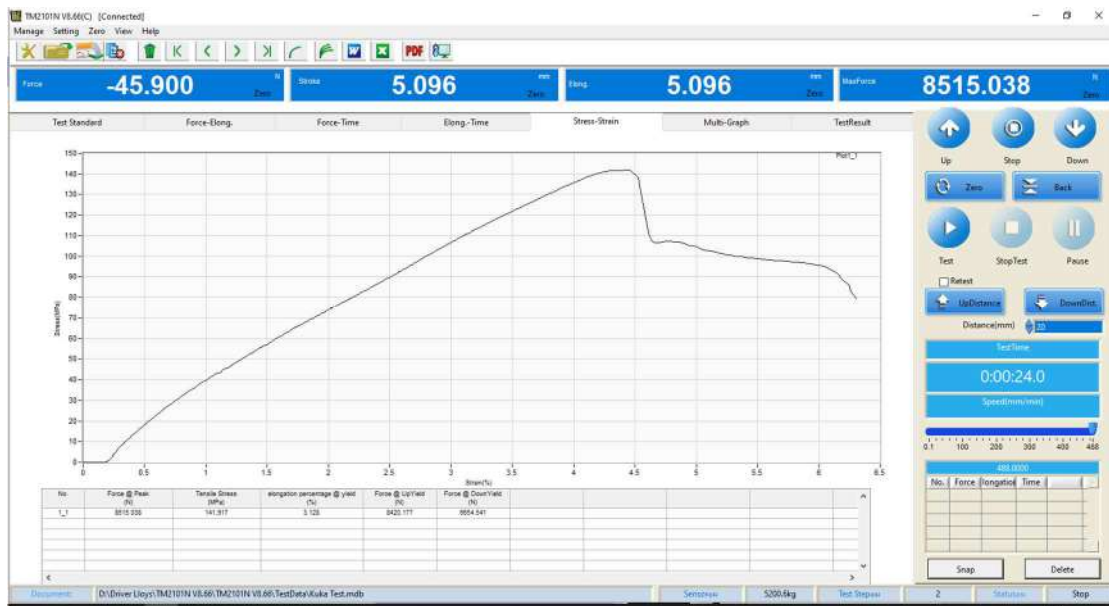


ชิ้นทดสอบที่ลดรูปแล้วทั้งหมด

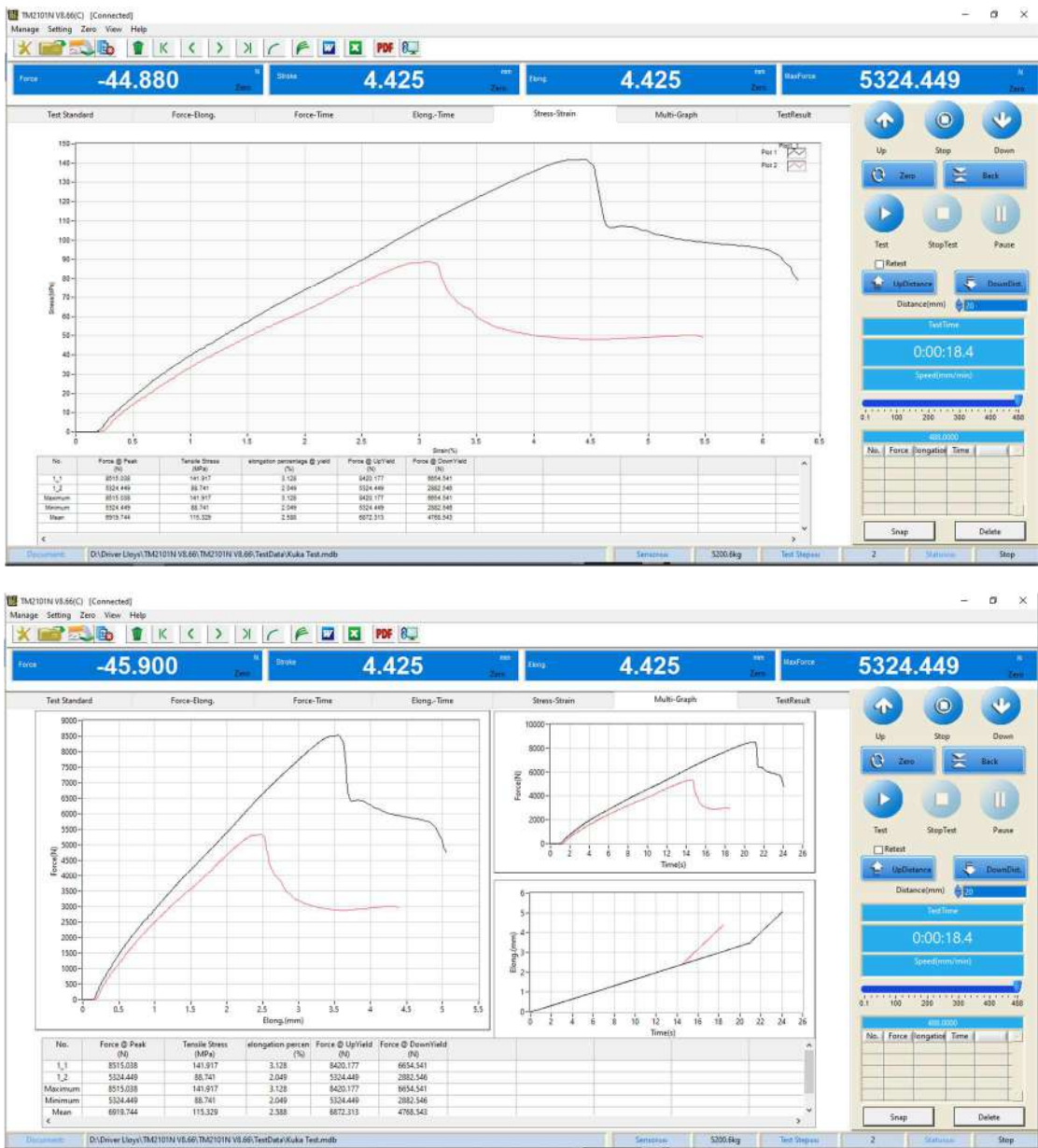
## ภาคผนวก จ

### ผลการทดสอบแรงดึง

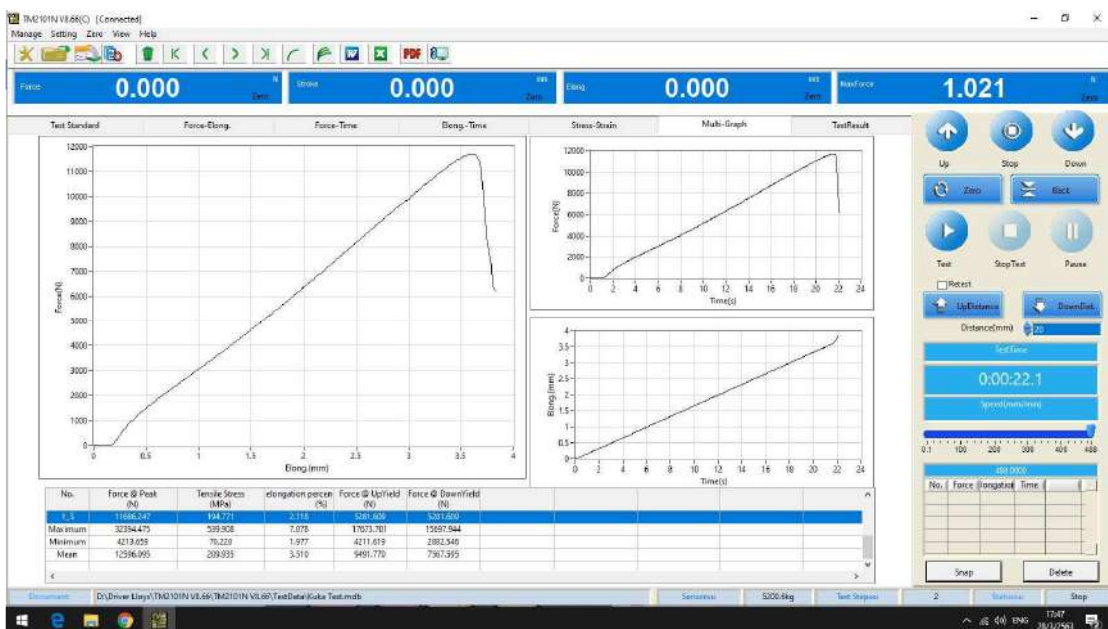
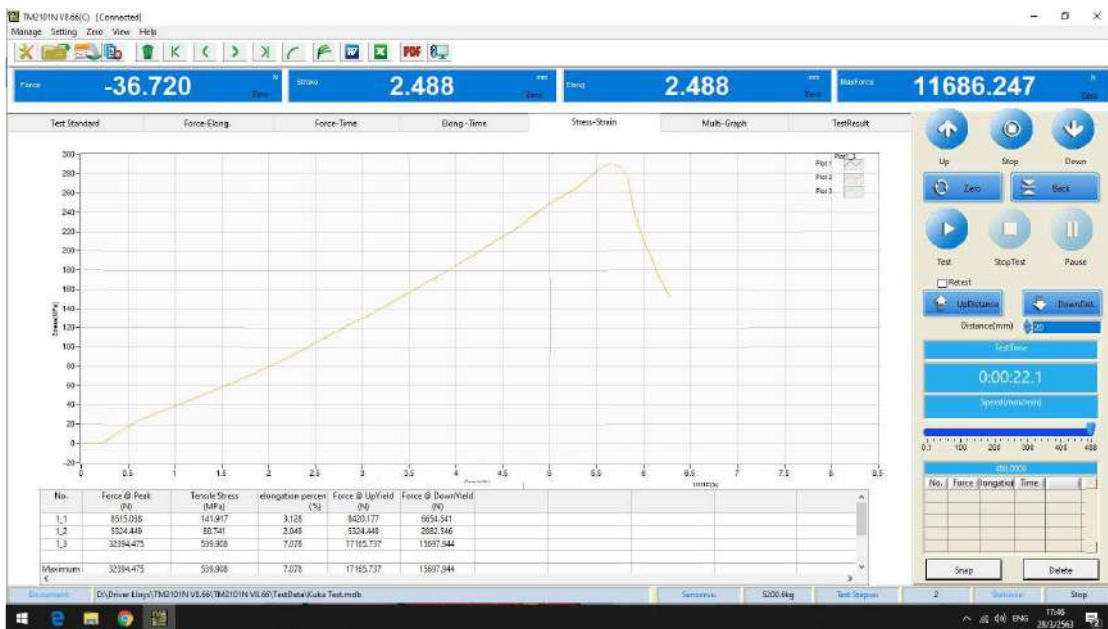
- ผลการทดสอบแรงดึงชิ้นงานที่ 1
- ผลการทดสอบแรงดึงชิ้นงานที่ 2
- ผลการทดสอบแรงดึงชิ้นงานที่ 3
- ผลการทดสอบแรงดึงชิ้นงานที่ 4
- ผลการทดสอบแรงดึงชิ้นงานที่ 5
- ผลการทดสอบแรงดึงชิ้นงานที่ 6
- ผลการทดสอบแรงดึงชิ้นงานที่ 7
- ผลการทดสอบแรงดึงชิ้นงานที่ 8
- ผลการทดสอบแรงดึงชิ้นงานที่ 9
- ผลการทดสอบแรงดึงชิ้นงานที่ 10
- ผลการทดสอบแรงดึงชิ้นงานที่ 11
- ผลการทดสอบแรงดึงชิ้นงานที่ 12
- ผลการทดสอบแรงดึงชิ้นงานที่ 13
- ผลการทดสอบแรงดึงชิ้นงานที่ 14
- ผลการทดสอบแรงดึงชิ้นงานที่ 15
- ผลการทดสอบแรงดึงชิ้นงานที่ 16



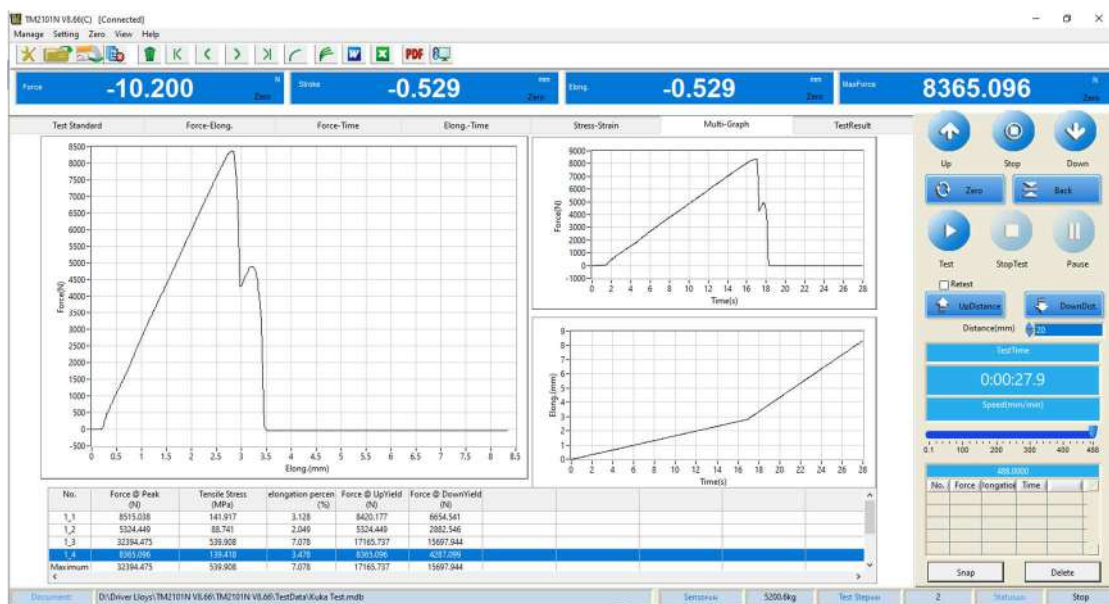
ผลการทดสอบแรงดึงชิ้นงานที่ 1



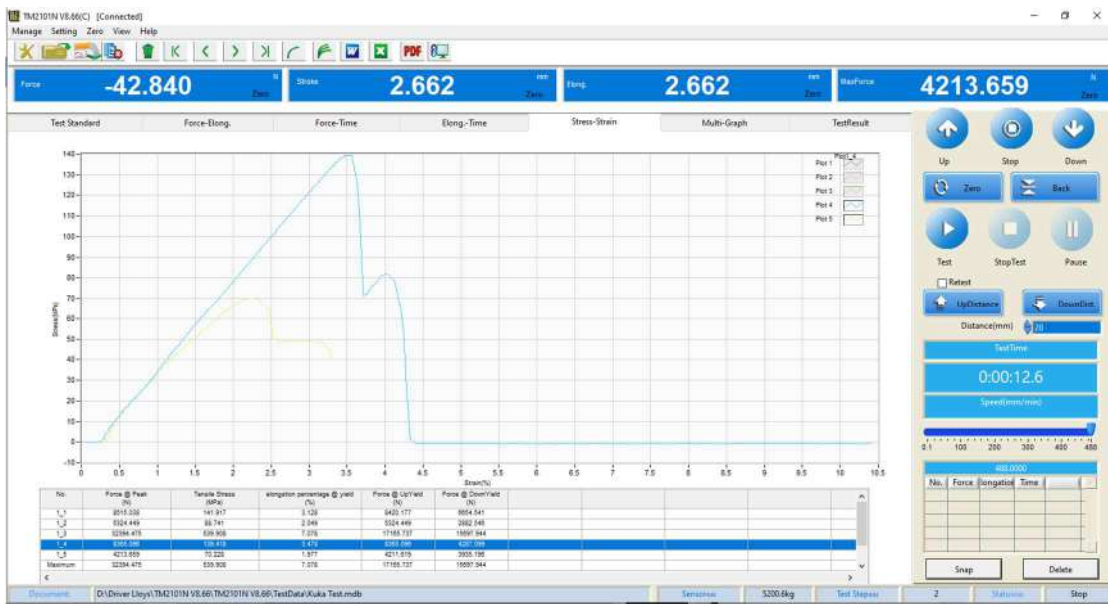
ผลการทดสอบแรงดึงขึ้นงานที่ 2



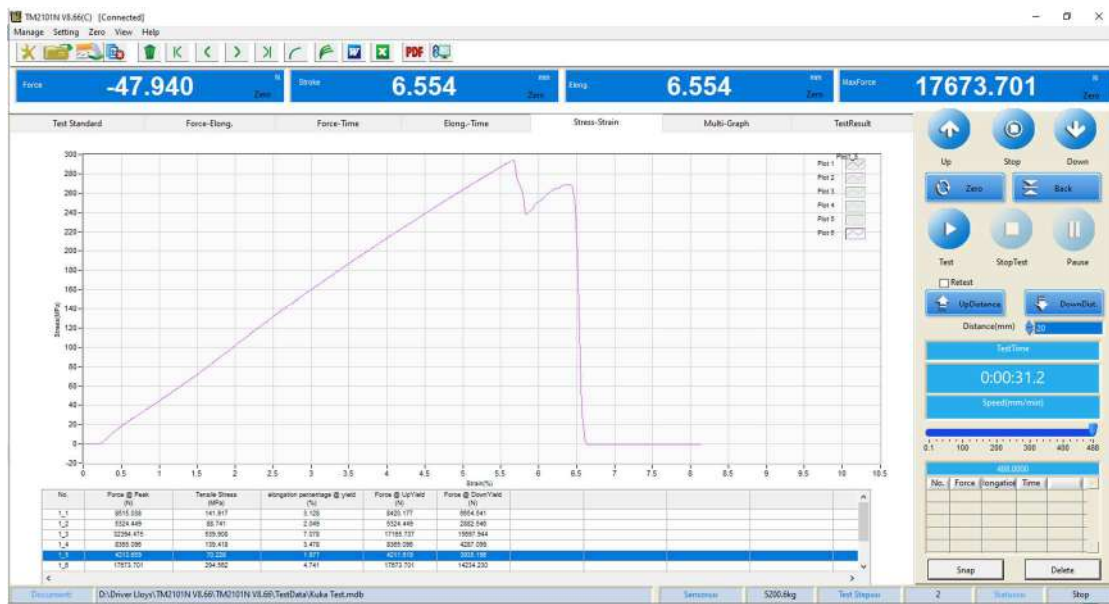
ผลการทดสอบแรงดึงขึ้นงานที่ 3



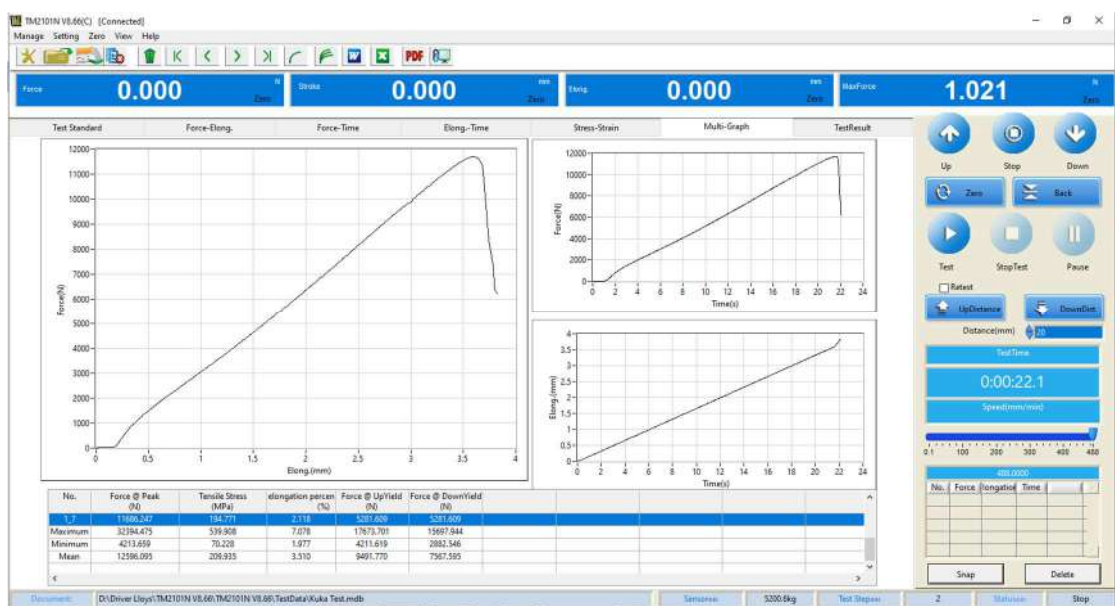
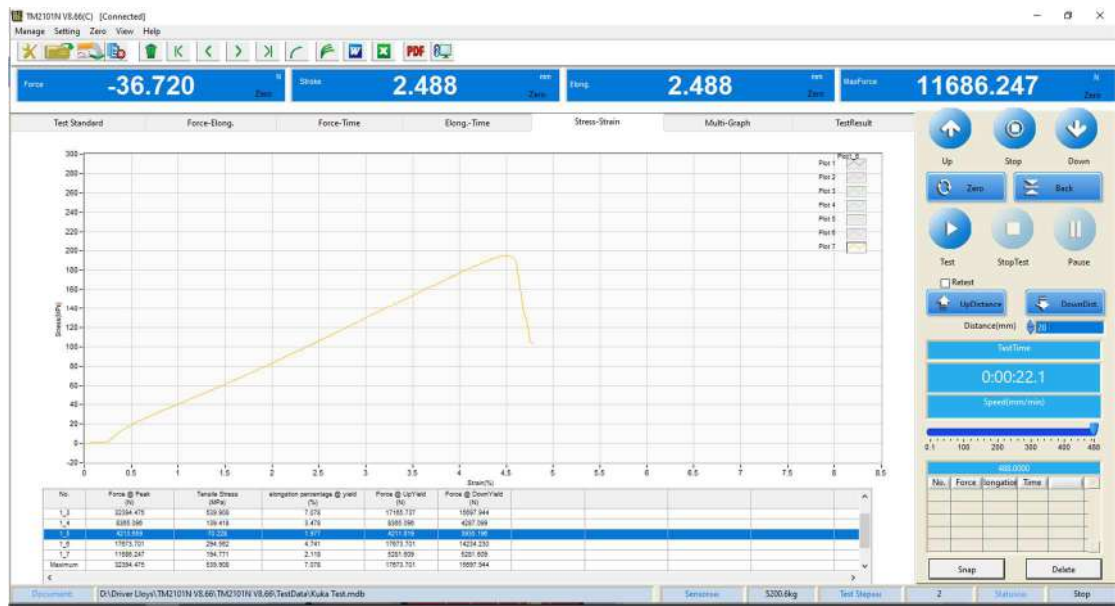
#### ผลการทดสอบแรงดึงขึ้นงานที่ 4



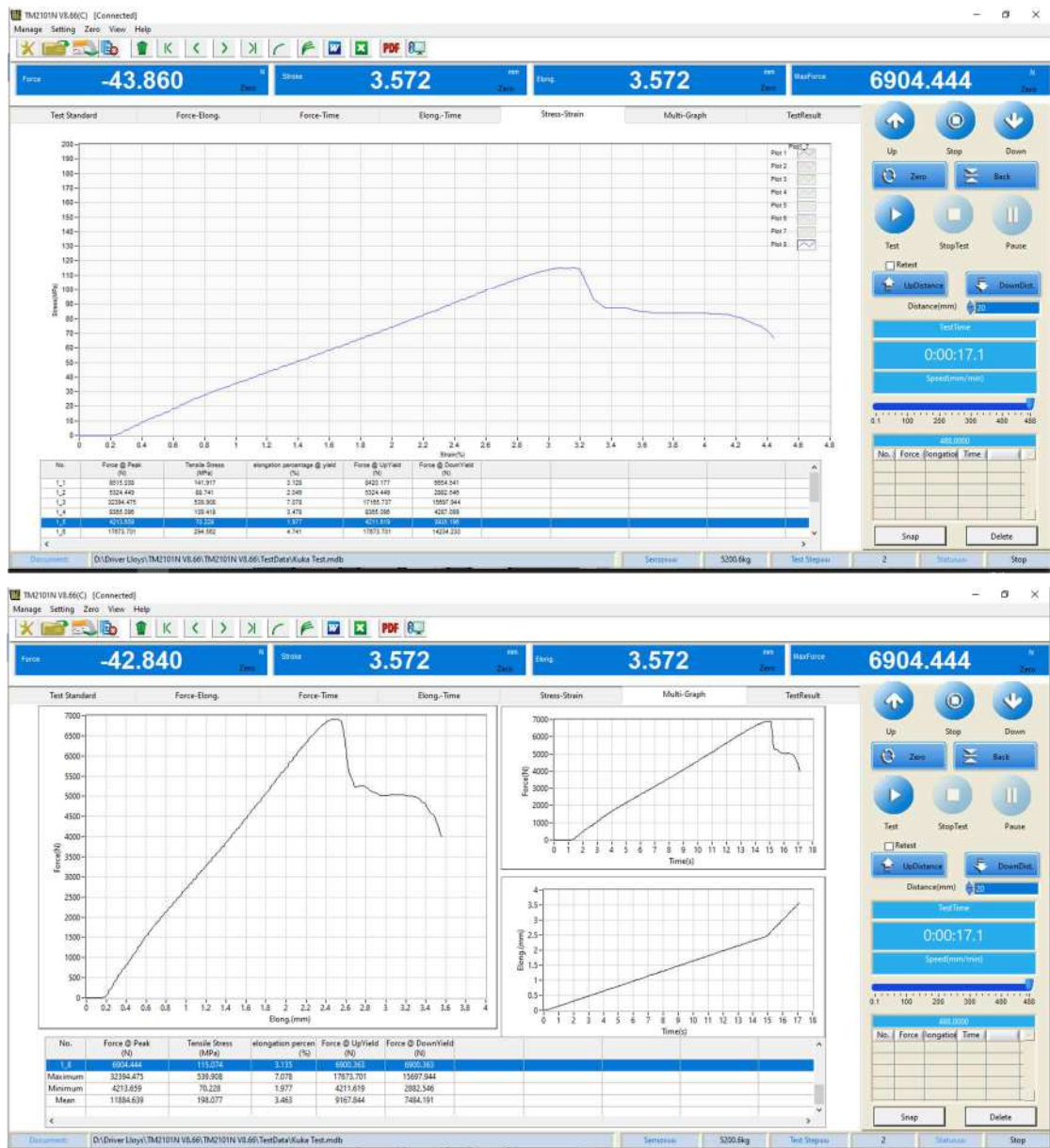
ผลการทดสอบแรงดึงชิ้นงานที่ 5



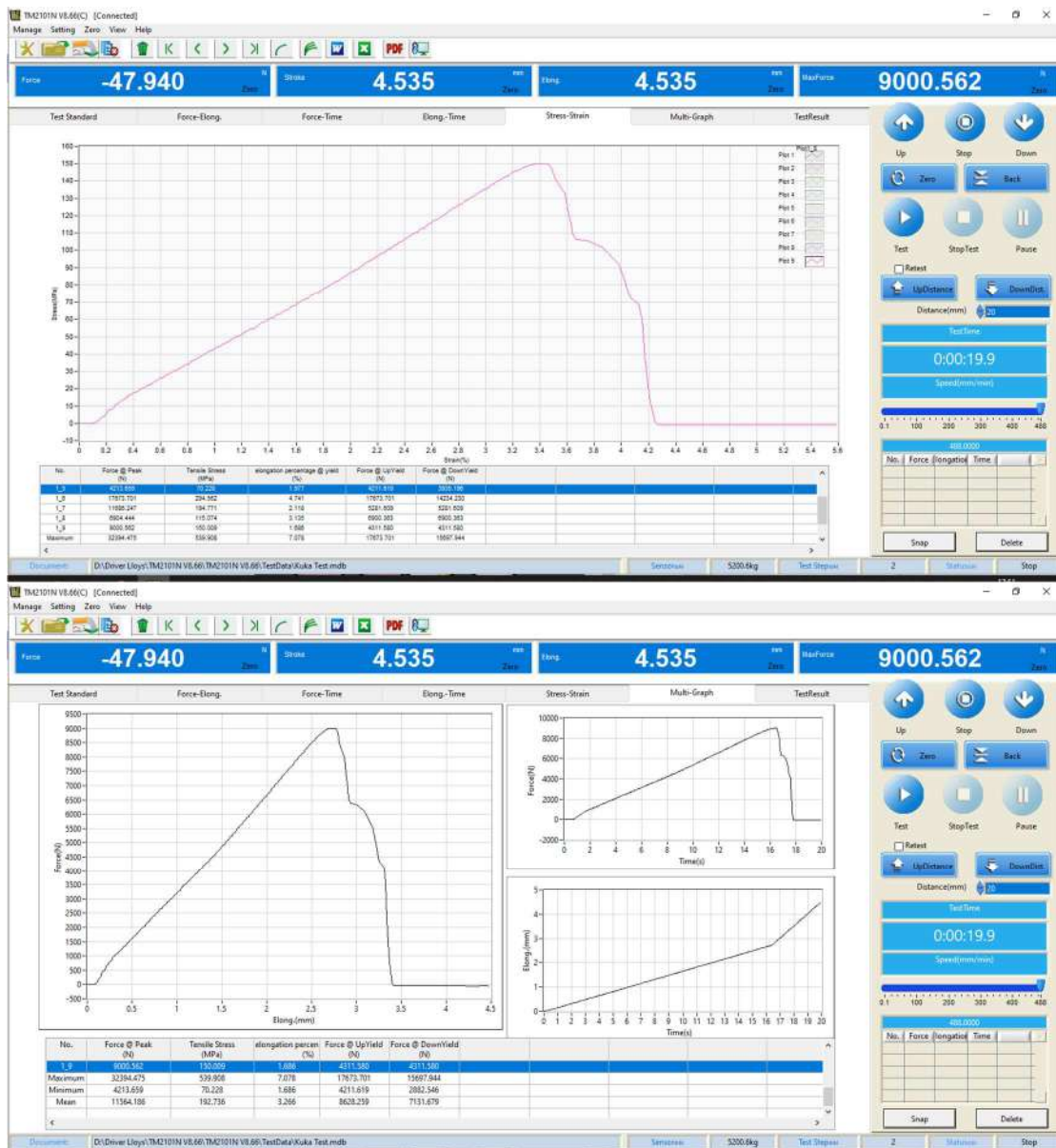
ผลการทดสอบแรงดึงขึ้นงานที่ 6



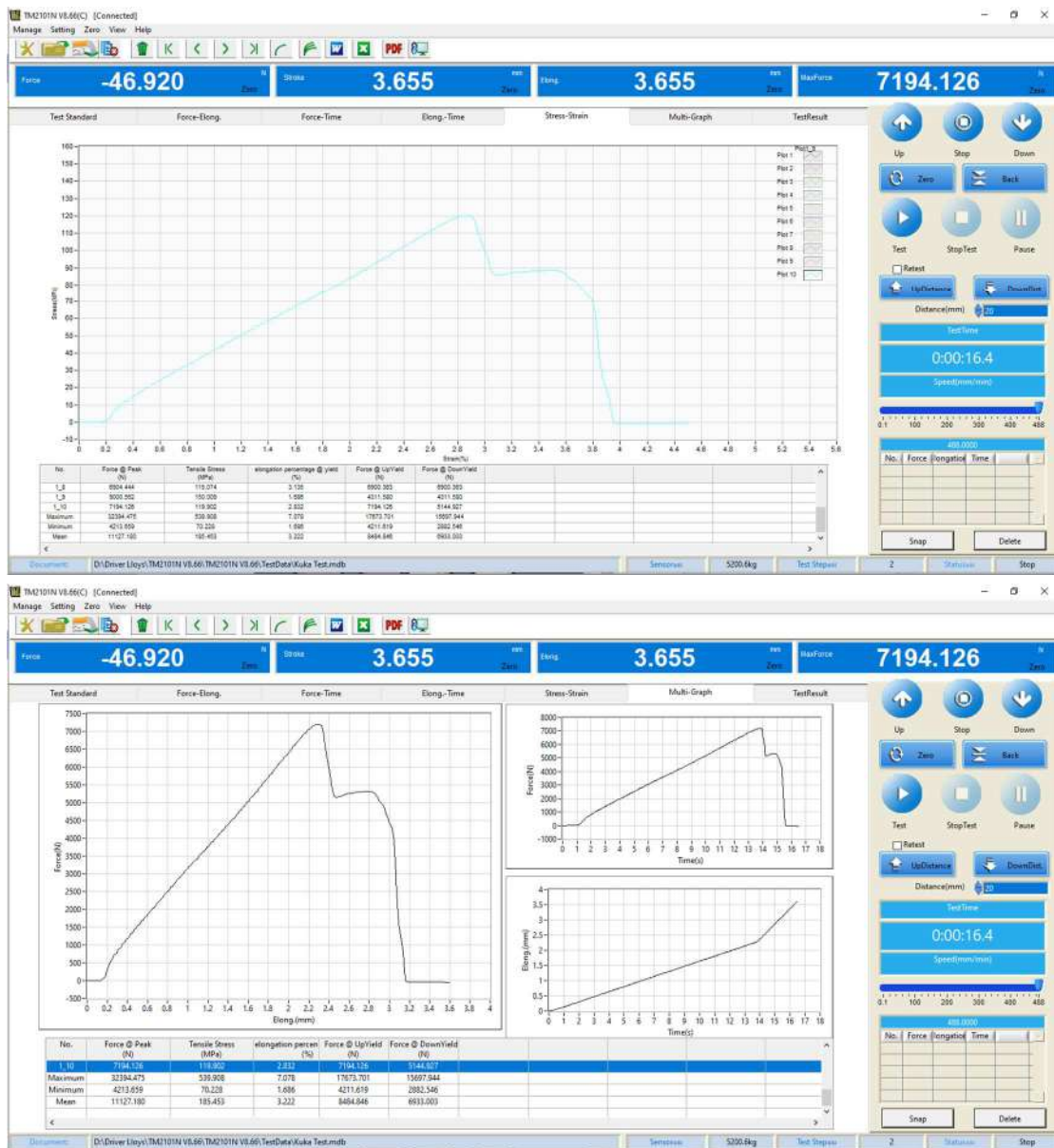
ผลการทดสอบแรงดึงชิ้นงานที่ 7



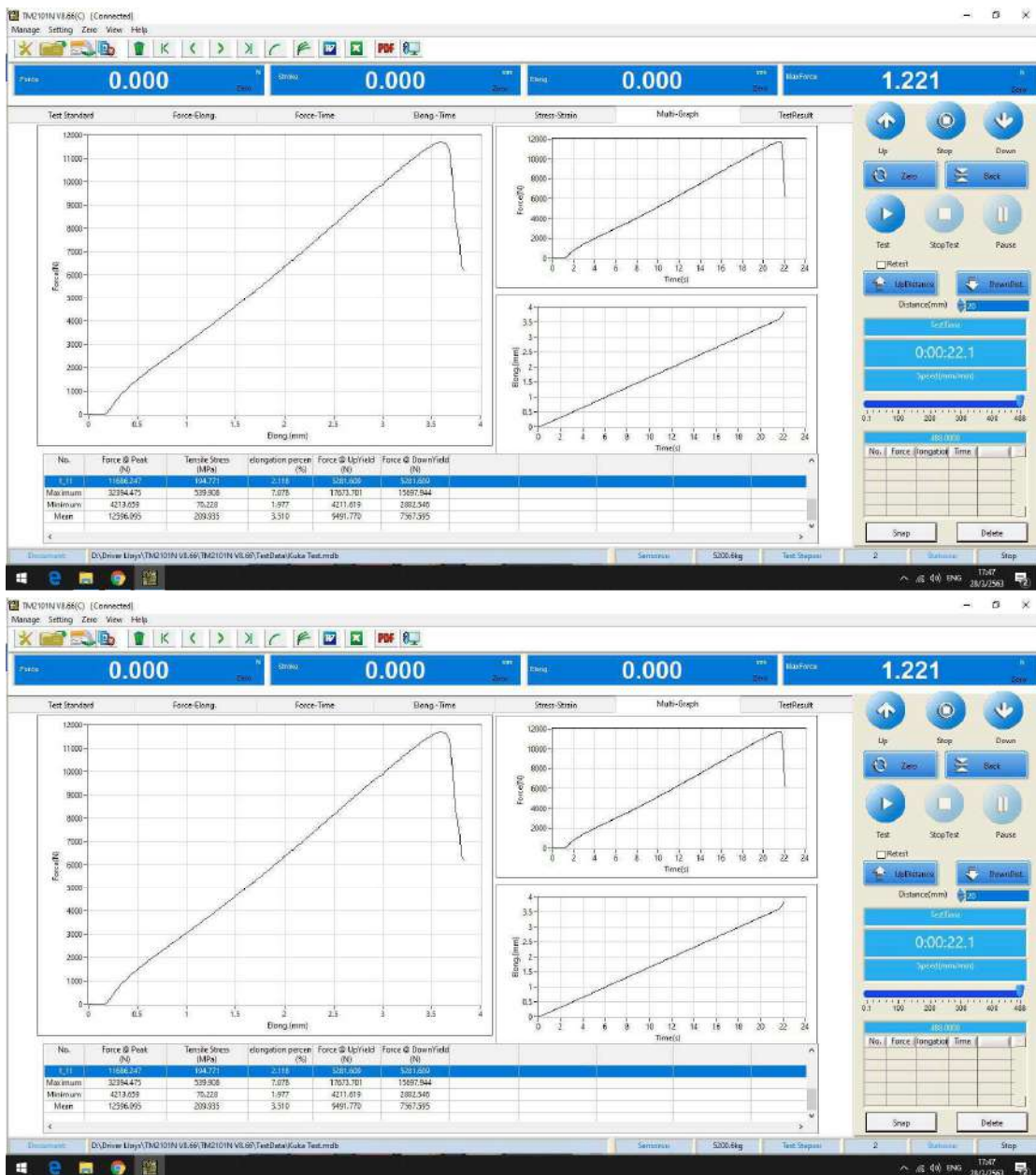
ผลการทดสอบแรงดึงชิ้นงานที่ 8



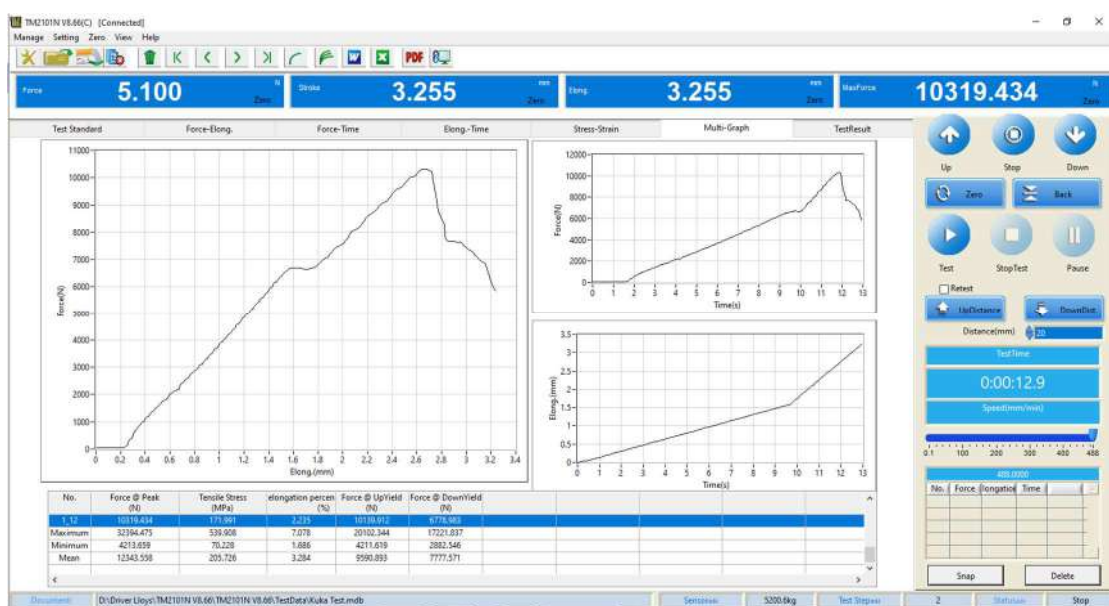
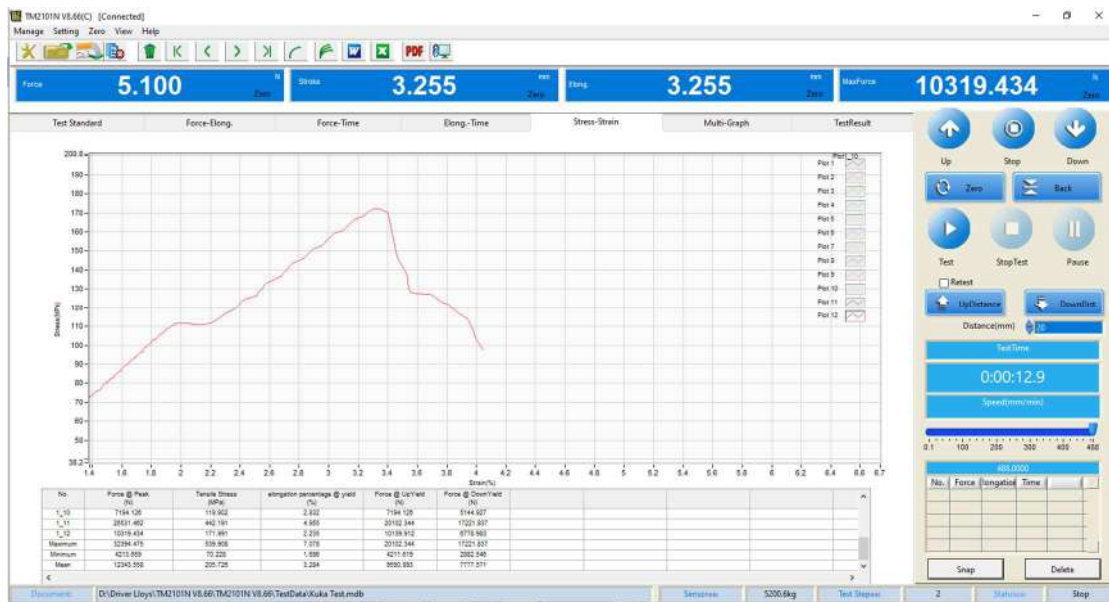
ผลการทดสอบแรงดึงชิ้นงานที่ 9



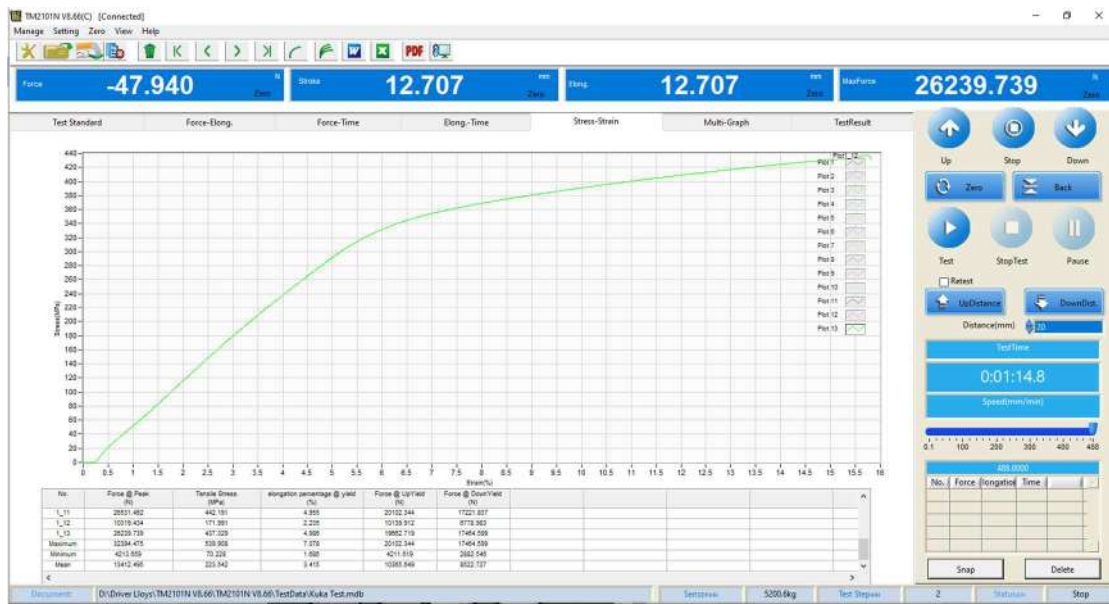
ผลการทดสอบแรงดึงชิ้นงานที่ 10



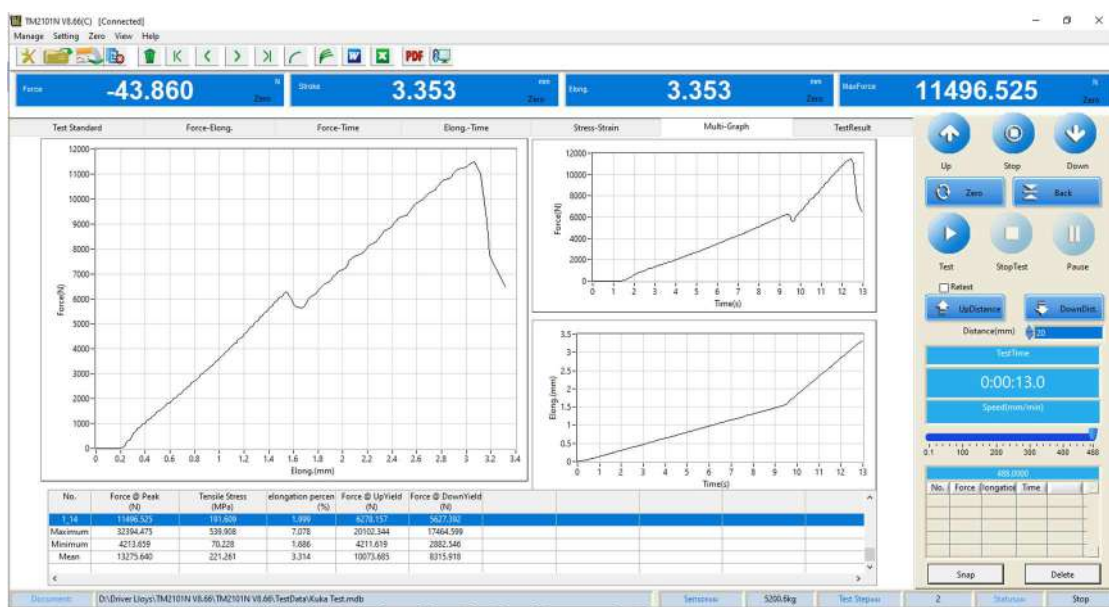
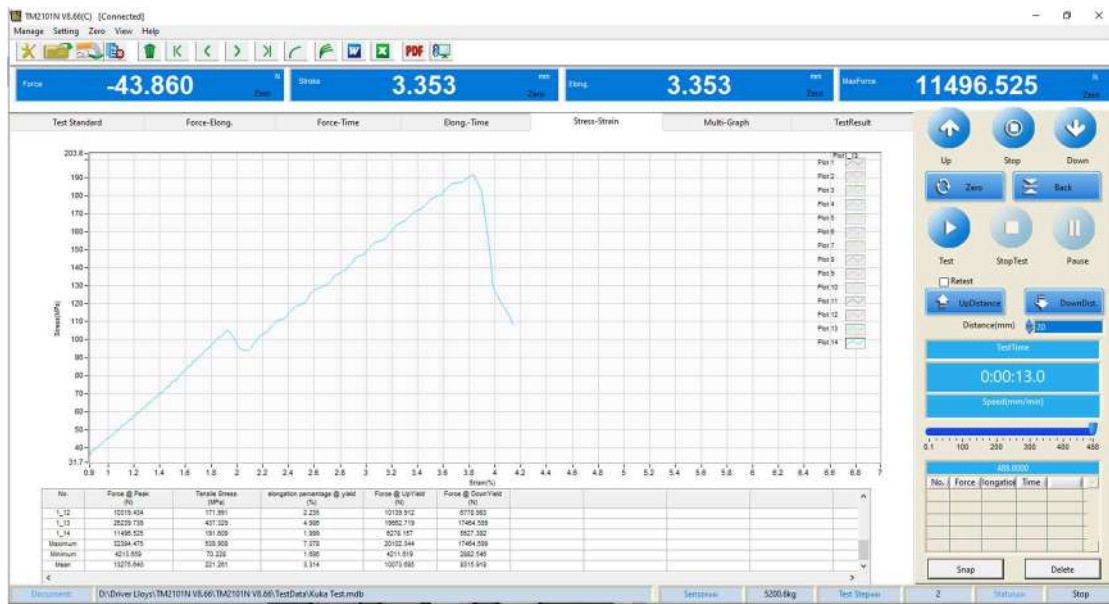
ผลการทดสอบแรงดึงขึ้นงานที่ 11



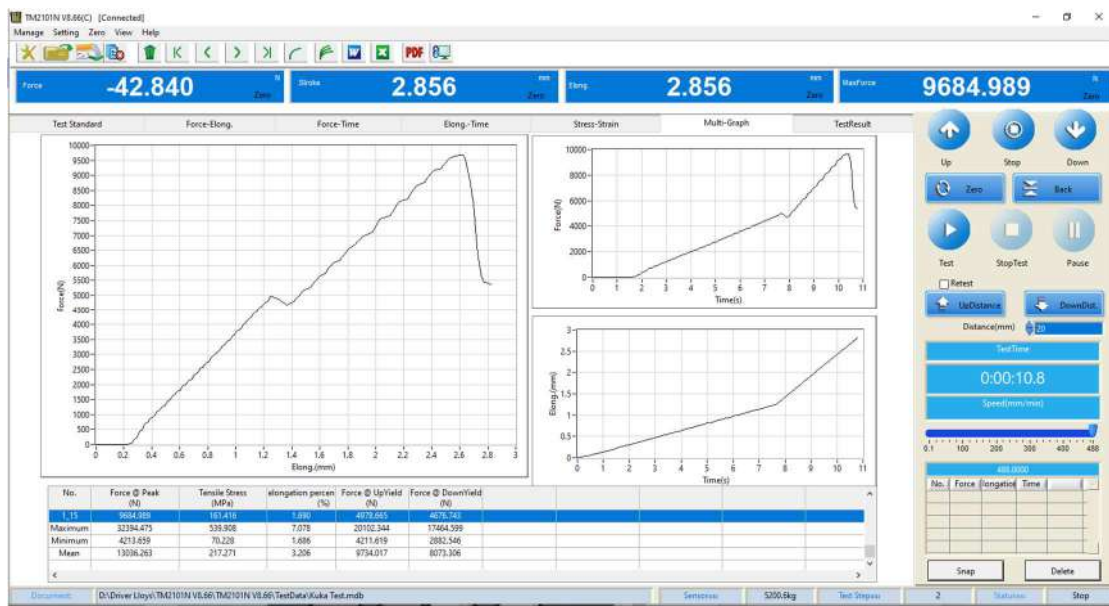
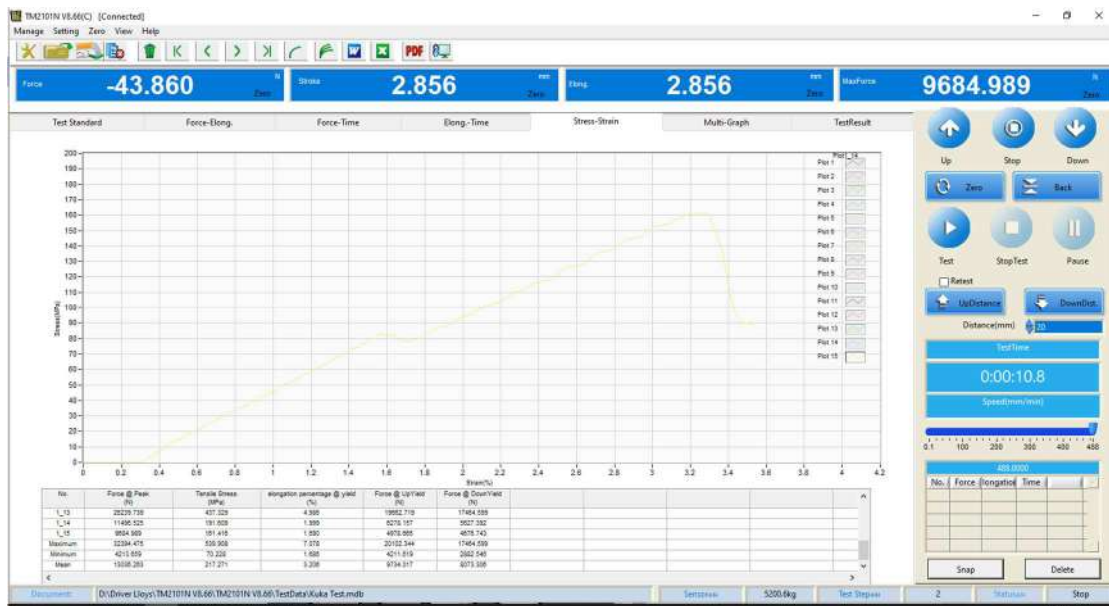
ผลการทดสอบแรงดึงขั้นงานที่ 12



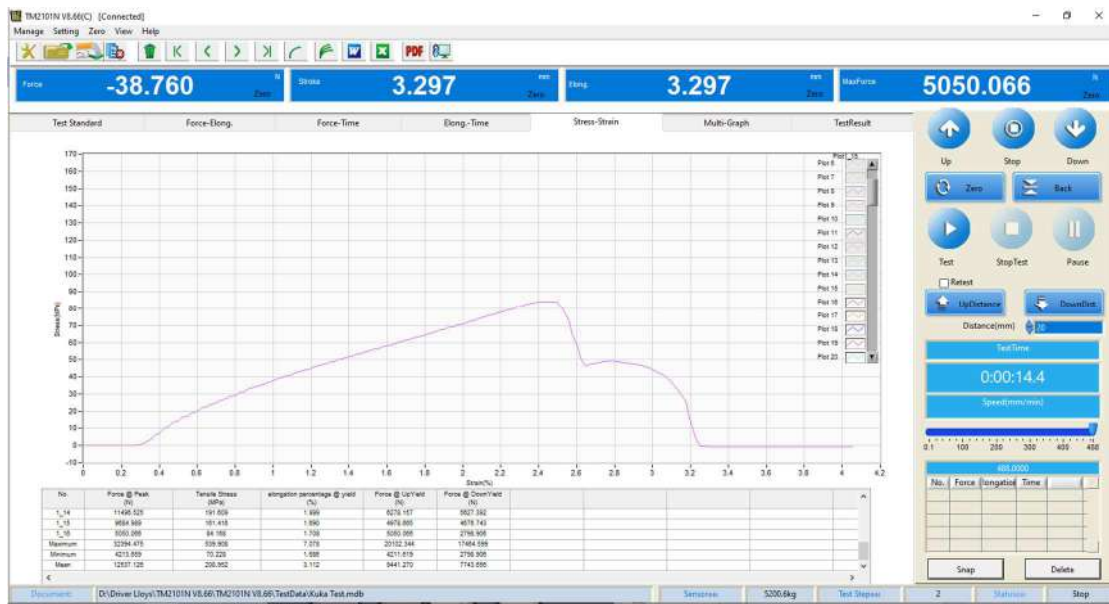
ผลการทดสอบแรงดึงขึ้นงานที่ 13



ผลการทดสอบแรงดึงขึ้นงานที่ 14



ผลการทดสอบแรงดึงขึ้นงานที่ 15



ผลการทดสอบแรงดึงชิ้นงานที่ 16

## ประวัติผู้เขียน

ชื่อ นาย กัญจน์สิทธิ์ โภคัย รหัสนักศึกษา 590610254

วัน เดือน ปี เกิด 12 กันยายน 2540

ภูมิลำเนา 13 หมู่ที่ 14 ต.เวียง อ.เทิง จ.เชียงราย 57160

ประวัติการศึกษา

- สำเร็จการศึกษาจากชั้นมัธยมตอนต้นจากโรงเรียน

เทิงวิทยาคม

- สำเร็จการศึกษาจากชั้นมัธยมตอนปลายจากโรงเรียน

สามัคคีวิทยาคม

- ปัจจุบันกำลังศึกษาอยู่ที่ภาควิชาศิลปกรรมอุตสาหการ

คณะวิศวกรรมศาสตร์ มหาวิทยาลัยเชียงใหม่



ชื่อ นาย ณัฐรัตน์ อယุ่อ่อน รหัสนักศึกษา 590610276

วัน เดือน ปี เกิด 12 กันยายน 2540

ภูมิลำเนา 187/78 ถนนภูมิ ม.4 ต.บ้านดู่ อ.เมือง จ.เชียงราย 57100

ประวัติการศึกษา

- สำเร็จการศึกษาจากชั้นมัธยมตอนต้นจากโรงสามัคคีวิทยาคม

- สำเร็จการศึกษาจากชั้นมัธยมตอนปลายจากโรงเรียน

สามัคคีวิทยาคม

- ปัจจุบันกำลังศึกษาอยู่ที่ภาควิชาศิลปกรรมอุตสาหการ

คณะวิศวกรรมศาสตร์ มหาวิทยาลัยเชียงใหม่

